الجمهورية الجزائرية الديمقر اطية الشعبية

République Algérienne Démocratique et Populaire وزارة التعليم العالى والبحث العلمي

Ministère de l'Enseignement Supérieur et de la Recherche Scientifique

Centre Universitaire Abdelhafid Boussouf -Mila

Institut des Sciences et de Technologie Département de Génie Civil et Hydraulique



Nº Ref :.....

Projet de Fin d'Etude préparé en vue de l'obtention du diplôme de Master

Spécialité : Structure

Etude d'un bâtiment R +4 à usage multiple

Réalisé par :

AYMEN ALI MOUSSA CHEKIROU AMEUR

Soutenu Devant le jury:

Dr. BRAHIMI Abdelkader Président

Dr. RABEHI Moustefa Examinateur

Dr. ABADA Rofia Examinatrice

Dr. TIOUA Tahar Promoteur

Année universitaire: 2021/2022

Remerciement

On remercie Allah le tout puissant de nous avoir donné la santé et la volontéd'entamer et de terminer ce mémoire.

Tout d'abord, ce travail ne serait pas aussi riche et n'aurait pas pu avoir le jour sans l'aide et l'encadrement de Mr TIOUA., on le remercie pourla qualité de son encadrement exceptionnel, pour sa patience, sa rigueur et sa disponibilité durant notre préparation de ce mémoire.

Nos remerciements s'adressent à Mr TIOUA. Pour leurs soutiens, leurs conseils judicieux et leurs grandes bienveillances.

Nous remercions tous les membres pour avoir bien voulu examiner et juger ce travail.

Nos remerciements s'adressent également à tous nos professeurs du département de génie civil pour leurs générosités à la grande patience malgréleurs charges académique et professionnelles

Nous devons un grand merci à tous nos amis, amies et tous ceux qui nous sontchers pour leur soutien moral, et tous ceux qui nous sont chers.

Enfin, à tous ceux qui nous ont aidés de près ou de loin pour la réalisation de ce projet de fin d'étude.

Dédicace

Je dédie ce travail à celle qui m'a donné à la vie, qui s'est sacrifié pour mon bonheur et ma réussite, à ma chère mère.

A mon père qui m'a été mon ombre durant toutes les années desétudes, qui a veillé à me donner l'aide, à m'encourager à ta me protéger, que Dieu les gardes et les protèges.

Au mémoire de mon cher oncle, que Dieu ait son âmeA mes adorables sœurs

A mes très chers amis Ahmed, Yahia et Adem.

A mon cher binôme AYMEN qui a contribué à la réalisation de cetravail.

A tous les gens que j'aime, qui ont cru en moi et m'ont soutenu.

CHEKIROU AMEUR

Dédicace

A mes très chers parents qui m'ont guidé durant les moments lesplus pénibles de ce long chemin, ma mère qui a été à mes côtés et masoutenu durant toute ma vie, et mon père qui a sacrifié toute sa vie afin de me voir devenir ce que je suis, merci mes parents.

A toutes personnes qui ma aider à poursuivre mes études A mes très chers frères, CHAMSO, AHMED, et CHOUAIB mes très chères sœurs NIHAD, WASILA, et FAYROUZ

A toute ma famille sans exception.

A mon cher binôme AMEUR qui a contribué à la réalisation de cetravail

Enfin à tous ceux qui nous sont très chers.

ALI MOUSSA AYMEN

Résumé:

Le contenu de ce projet est l'étude d'un bâtiment (R+4) en béton armé, à usages multiples

(Habitation, commerce) situé à la Wilaya de Mila, au Daïra de GRAREM Gouga précisément

quiest classé en zone sismique II a selon le règlement parasismique Algérien (RPA99v2003).

Un système de contreventement (voiles porteurs) assure la résistance de la

structure aux charges horizontales et verticales.

Le dimensionnement et le calcul du ferraillage de tous les éléments résistants ont été

établis conformément au règlement algérien en vigueur (RPA version 2003) et le document

technique CBA93.

L'étude sismique a été menée suivant la méthode numérique basée sur la

méthode des éléments finis par le logiciel (ROBOT).

Dernièrement, nous avons étudié l'infrastructure en faisant le calcul des fondations

après avoir recueilli les résultats de l'étude géotechnique du site auprès du laboratoire

charge de l'étude.

Mots clés: Bâtiment, béton armée, système portique, voiles, la méthode numérique.

Abstract:

The purpose of this project is a study of a bloc (ground for dealing+ 4stories), for multiple use (commerce, habitation), realized in the city of Mila, classified in the Zone II according to the Algerian seismic regulations (RPA99v2003).

The resistance of the structure elements to the horizontal and vertical loads assuredby a(frame Wall) system.

The measurements and the design of reinforcement of all elements were prepared in accordance with regulatory and technical documents CBA93; RPA99 Version 2003;BAEL99.

The seismic analysis has been realized by the numerical method through the analysis. Software « ROBOT».

Finally, we have studied the infrastructure by calculating the foundations after taking theresults of the geotechnical study of the site from the laboratory responsible for the study.

Key Word: conception, system frame, shear, walls, the numerical method.

ملخص:

الهدف من هذه المذكرة هو دراسة بناية متكونة من طابق أرضي + 4 طوابق متعددة الإستخدامات تقع هذه البناية في ولايه ميلة، تحديدا دائرة القرارم قوقة المصنفة في المنطقة الزلزالية الثانية قسم 2أ حسب القواعد الجزائرية المقاومة للزلازل (v2003 99 RPA) استقرار البناية يعتمد على الأعمدة والعارضات والجدران المشكلة من الخرسانة المسلحة تم تحديد الأبعاد وحساب التعزيزات لجميع العناصر المقاومة وفقًا للوائح المعمول بها في الجزائر:(RPA99 v 2003; CBA93; BAEL 99)أجريت الدراسة الزلزالية باستخدام الطريقة الرقمية المعتمدة على طريقة العناصر المحدودة باستخدام برنامج (ROBOT)البنية التحتية من، قمنا بدراسة الدراسة الجيوتقنية للموقع من المخبر المسؤول عن الدراسة في الأخير بعد أخد النتائج خلال حساب أساسات الكلمات المفتاحية: البناء، الخرسانة المسلحة، الجدران، الطريقة الرقمية.

Sommaire

CHAPITRE I : PRESENTATION DE L'OUVRAGE

I.1	Introduction	1
1.2	Description de l'ouvrage	1
I.2.1	Caractéristique géométrique	1
I.3	Règlements utilisés et normes de conception	3
I.4	Les logiciels utilisés dans l'étude de cet ouvrage	3
1.5	Conception de la structure	3
I.6	Notion sur les règles de calcul des structures	4
1.7	Actions	5
I.8	Caractéristique des matériaux	6
	PITRE II : PRE-DIMENSIONNEMENT DES ELEMENTS STRUCTURAUX	
II.1 II.2	Introduction Pré dimensionnement des poutres	
II.2.1	Les poutres principales	
II.2.2	Poutres secondaires	
II.3	Pré dimensionnement des dalles	
II.3.1	Dalle en corps creux	14
II.3.2	Pré dimensionnement de la poutrelle	
II.4	Pré dimensionnement des escaliers	16
II.4.1 II.4.2	Définition Escalier d'étage courant	
II.4.3	Escalier d'étage RDC	17
II.5.	Pré dimensionnement de l'acrotère	18
II.6	Pré dimensionnement de Poteaux	19
II.6.1	Evaluation des charges et surcharges	19
II.6.2 II.7	Calcul des charges et surcharges revenant aux poteaux. Pré dimensionnement des voiles	
CHA	PITRE III : CALCUL DES ELEMENTS SECONDAIRES	
III.1.	INTRODUCTION	28
III.2.	L'acrotère	28
III.2.1	Évaluation des charges	28
III.2.2		
III.2.3		
	Moments est efforts normaux	29

III.2.5	Ferraillages	29
III.3	Calcul des balcons	31
III.3.1	Dimensionnement du balcon	32
III.3.2	Evaluation des charges de balcon	32
III.3.3	Calcul de ferraillage	33
III.3.4	Les armatures de répartition	33
III.4	La poutre palière	36
III.5	Calcul des escaliers	44
III.6	Etude des planchers	53
III.7	Dalle de compression.	68
CHAP	ITRE IV : ETUDE SISMIQUE	
IV.1	Introduction	69
IV.2	Objectif de l'étude dynamique	69
IV.3	Présentation du logiciel ROBOT	
IV.4	Choix de la méthode de calcul	70
IV.5	Classification de l'ouvrage selon les RPA99 / Version 2003	71
IV.6	Modélisation	72
IV.6.1.	La structure sans voiles	73
IV.6.2.	La structure avec les voiles	75
IV.7 IV.7.1	Calcul de la force sismique totale	
IV.7.2	Facteur d'amplification dynamique moyen	87
IV.7.3	Calcul facteur d'Amplification D	90
IV.7.4	Coefficient de Comportement Global de la Structure	90
IV.7.5	Facteur de qualité	91
IV.7.6	Poids totale de la structure	92
IV.7.7	Vérification de l'effort tranchant à la base	92
IV.8	Vérification des déplacements latéraux inter étages	94
IV.9	Justification vis-à-vis de l'effet P- Δ .	94
IV.10	Vérification au renversement	95
CHAP	ITRE V : FERRAILLAGE DES ELEMENTS PORTEUS	
V.1	Introduction	98
V.3	Ferraillage des poteaux	98
V.3.1	Méthode de ferraillage	98
V.4	Ferraillage des poutres	. 114
V.4.1	Ferraillage des poutres principales	. 115

V.4.2	Ferraillage des poutres secondaire	120
V.5	Ferraillage des voiles	124
CHAPI	TRE VI : ETUDES DES FONDATIONS	
VI.1	Introduction	134
VI.2	Stabilité des fondations	134
VI.3	Choix du type de fondation	134
VI.4	Calcul des surfaces des semelles isolées	135
VI.4.1	Calcul de ferraillage	138
	Les semelles filantes (sous voile)	
VI.5.1	Ferraillage des semelles filantes	141

LISTE DES TABLEAUX

Tableau 1.1 : Analyse du diagramme de déformation d'une section
Tableau II.1. Les charges permanentes de plancher terrasse 20
Tableau II.2 : évaluations des charges de plancher étage courant
Tableau II.3: Les Charges permanentes Mur extérieur 20
Tableau II.4 : Les Charges permanentes Mur intérieur 21
Tableau II.5 : Les Charges permanentes Palier 21
Tableau II.6 : Les Charges permanentes Paillasse 21
Tableau II.7 : charge et surcharges revenant aux poteaux
Tableau III.1 : Les Combinaison des charges d'escaliers 44
Tableau III .2 : Coupe 1—1 des Escaliers
Tableau III.3 : Coupe 2—2 des Escaliers 46
Tableau III.4 :Ferraillage En appui D'escaliers 49
Tableau III.5: Les valeurs des moments en travée et sur appuis à l'ELU
Tableau III.6: Les valeurs de l'effort tranchant sur appuis à l'ELU
Tableau III.7 : Les valeurs des moments en travée et sur appuis à l'ELS
Tableau III.8 : Les valeurs de l'effort tranchant sur appuis à l'ELS
Tableau III.9 : Récapitulatif des résultats. 61
Tableau. IV.1: les périodes et les factures de participation massique modale 73
Tableau IV.2: les périodes et les factures de participation massique modale 75
Tableau IV.3 : les périodes et les factures de participation massique modale 78
Tableau IV.4 : Centre de gravité est centre de rigidité 80
Tableau IV.5: la distribution des efforts tranchant et normaux sur les voiles 81
Tableau IV.6 : la distribution des efforts tranchant et normaux sur les poteaux 81
Tableau IV.7: les périodes et les factures de participation massique modale 83
Tableau IV.8 Centre de gravité est centre de rigidité 85
Tableau IV.9 : : Coefficient d'Accélération de Zone A
Tableau IV.10 : Valeurs de ξ (%).
Tableau. IV.11: Valeurs du coefficient C _T

Tableau IV.12 : valeurs du coefficient de comportement R
Tableau IV.13 : Valeurs des pénalités Pq
Tableau IV.14 : Valeurs du coefficient de pondérationβ
Tableau IV.15 : Vérification de l'effort tranchant à la base
Tableau IV.16 : Vérification des déplacements inter étages du bloc
Tableau IV.17 : Vérification de l'effet $P-\Delta$ au sens $x-x$
Tableau IV.18 : Vérification de l'effet P-Δ au sens Y-Y95
Tableau IV.19: Valeurs des moments de renversement et moment stabilisant selon xx
Tableau IV. 20: Valeurs des moments de renversement et moment stabilisant selon y-y 97
Tableau V.1 : Vérification des nouveaux poteaux sous les sollicitations normales
Tableau V.2 : Les Sollicitations des poteaux (40x40) trouvées par le ROBOT. 102
Tableau V.3 : Les résultats de calcul du ferraillage longitudinal des poteaux (40×40). 106
Tableau V.4 : Les résultats de calcul du ferraillage transversal des poteaux(40x40) 108
Tableau V.5 : Les Sollicitations des poteaux (35x35) trouvées par le ROBOT 109
Tableau V.6 : Les résultats de calcul du ferraillage longitudinal des poteaux (35x35). 109
Tableau V.7 : Les résultats de calcul du ferraillage transversal des poteaux(35x35) 111
Tableau V.8 : Les Résultats de ferraillage en travée des poutres principales à ELS
Tableau V.9 : Les Résultats du ferraillage en appui des poutres principales à ELS
Tableau V.10 : Vérification des contraintes à ELS
Tableau V.11 : La vérification de la flèche 119
Tableau V.12 : Les Résultats de ferraillage en travée des poutres principales à ELS 123
Tableau V.13 : Les Résultats du ferraillage en appui des poutres principales à ELS 123
Tableau V.14 : Vérification des contraintes à ELS
Tableau V.15 : La vérification de la flèche 124
Tableau V.16 : Sollicitations des voiles dans les deux sens 127
Tableau V.17 : les résultats de calcul des armatures verticales et horizontales des différents voiles
Tableau VI.1 : Les combinaisons

Tableau VI.2 : Vérification de la condition de résistance	. 137
Tableau VI.3: Les conditions de la méthode des bielles	. 137
Tableau VI.4: Dimensions des semelles filantes	. 139
Tableau VI.5: Vérification des semelles filantes au poinçonnement	. 140
Tableau. VI.6: Vérification des semelles filantes à l'ELS	. 140
Tableau. VI.7: Vérification des semelles filantes à l'ELU	. 141
Tableau VI.8 : Vérification des semelles filantes sous G + Q ± E	. 141

LISTE DES FIGURES

3

Figure I.1: Vue En Plan Etage Courant et RDC	02
Figure I.2: Vue En Plan Terrasse inaccessible	02
Figure I.3 : Diagramme de contrainte de déformation L'ELU	08
Figure I.4 : Diagramme de contrainte de déformation à l'ELS	08
Figure I .5: Diagramme contraintes- déformations de calcul	10
Figure I .6: Diagramme des déformations limite de la section d'acier	11
Figure II.1: Les Caractéristiques géométriques De Poutrelle	16
Figure II.2: Les principes composant d'escaliers	16
Figure II.3: Les Caractéristiques Géométriques D'acrotère	19
Figure II.4 : schéma de Plancher terrasse inaccessible	19
Figure II.5 : Schéma d'un plancher d'étage courant	20
Figure II.6: Poteau central	22
Figure II.7 : Coupe du voile en élévation	26
Figure II.8 : Coupes de voiles en plan	26
Figure III.1: Les caractéristiques géométriques d'acrotère	29
Figure. III.2. Schéma de ferraillage de l'acrotère	31
Figure III.3. Schéma statique de balcon	32
Figure III.4. Coupe 1-1 de balcon.	33
Figure III.5 : Schéma de ferraillage de balcon	36
Figure III.6. Schéma de poutre palière	36
Figure III.7 : Schéma statique de la poutre	37
Figure III.8: La section de torsion	41
Figure III .9: Schéma de ferraillage de la poutre palier	43
Figure III.10: Les comptants des escaliers	44
Figure III.11 : Schéma statique des escaliers	45
Figure III.12 : Diagramme des efforts tranchants et moment fléchissant	47
Figure III.13 : Diagramme des efforts tranchants et moment fléchissant	47
Figure III.14: Les dimensions de ferraillage pour 1 bande	48
Figure. III.15. Schéma de ferraillage des escaliers	53
Figure III.16. Dimensionnement des poutrelles	54
Figure III.17. Diagramme les moments en travée et sur appuis à l'ELU	58
Figure III.18: Diagramme des efforts tranchants a ELU	
Figure III.19. Diagramme les moments en travée et sur appuis à l'ELS	00

Figure III.20: Diagramme des efforts tranchants a ELS	61
Figure III.21 : Coffrage de la poutrelle	61
Figure III 22 : Ferraillages des poutrelles	67
Figure III 23 : Disposition constructive des armatures de la dalle de compression	on 68
Figure IV.1 : Modèle en 3D	72
Figure IV.2 : vue de la structure avec voile	80
Figure IV.3 : Classification du système de contreventements selon RPA	87
Figure IV.4. Histogramme de distribution d'efforts normaux	82
Figure. IV .5. Choix de méthode de calcul de période T selon le cas	88
Figure IV.6: distribution des forces sismiques et efforts tranchants sur la constr	ruction.96
Figure V.1: vu en 3D d'une section de poteau avec différentes sollicitations	99
Figure V.2 : Zone nodale	100
Figure V.3 : Schéma de ferraillage des poteaux (40×40) cm	108
Figure V.4 : Schéma de ferraillage des poteaux (35×35) cm	111
Figure V.5 : Schéma de ferraillage de La poutre principal	120
Figure V.6 : Schéma de ferraillage de la poutre secondaire	124
Figure V.7: la disposition des voiles en 3D	127
Figure V.8 : Section entièrement comprimée	128
Figure V.9 : Section entièrement tendue.	129
Figure V.10 : Section partiellement comprimée	129
Figure V.11 : Schéma des contraintes	132
Figure V.12 : Schéma de ferraillage de voile V1y	133
Figure VI.1: les dimensions des semelles	135
Figure VI.2 : Schéma de ferraillage semelles isoles	138
Figure VI.3: Vue en plan d'une semelle filante	139
Figure VI.4 : Schéma de ferraillage semelles filante	142

LISTE DES NOTATIONS ET ABREVIATIONS

- ❖ As : Section d'armatures tendues.
- ❖ As ': Section d'armatures comprimées.
- At: Somme des aires des sections droites d'un cours d'armatures transversales.
- ❖ Ar : Section d'armature de répartition.
- Φ : Diamètre des armatures.
- ❖ B ou A: Aire d'une section de béton.
- ❖ Br : Section réduite du béton.
- E : module d'élasticité longitudinal, actions accidentelles.
- **Es**: Module de Young de l'acier.
- ❖ Eij : Module de Young instantané a l'âge de j jours.
- * Evj: Module de Young diffère à l'âge de j jours.
- F: Force ou action en généra.
- ❖ P : Charge concentrée appliquée (ELS ou ELU).
- q : chargement.
- ❖ I : Moment d'inertie de la section homogénéisé par rapport au béton (ELS).
- ❖ M: Moment en général.
- ❖ Mu : Moment fléchissant de calcul ultime.
- ❖ M0 : Moment isostatique.
- Mser : Moment fléchissant de calcul de service.
- Nu : Effort normal de calcul ultime.
- Nser: Effort normal de calcul service.
- ❖ Vu : Tu : Effort tranchant de calcul ultime.
- fe : Limite d'élasticité de l'acier.
- ❖ fcj : Résistance caractéristique à la compression du béton âge de j jours.
- ftj: Résistance caractéristique à la traction du béton âge de j jours.
- ❖ j : Nombre de jours de maturité du béton.
- fc28 et ft28: grandeurs précédemment calculé a' 28 jours.
- ❖ St : Espacement des armatures transversales.
- * γs : Coefficient partiel de sécurité sur l'acier.
- * γb : Coefficient partiel de sécurité sur le béton.
- L : Portée d'une poutre ou d'une dalle.
- Lf : Longueur de flambement. v : Coefficient de poisson.
- * σbc : Contrainte maximale du béton comprime.
- \bullet σ s: Contrainte dans les aciers.
- \bullet σ : Contrainte admissible.
- : Contrainte tangente conventionnelle.
- \star ru Contrainte tangente admissible.
- * η: Coefficient de fissuration relative a une armature.
- ρ: rapport de deux dimensions.

- **G**: charge permanente.
- **Q**: surcharge d'exploitation.
- \bullet h t : Épaisseur du plancher.
- h c : La hauteur des poutrelles.
- ❖ h 0 : Épaisseur de la dalle de compression.
- \bullet h e : Hauteur d'étage.
- ❖ h r : Hauteur du radier.
- Lc: La longueur du corps creux.
- e : excentricité d'un résultante ou d'un effort par apport au centre de gravité de lasection, épaisseur d'une dalle.
- ❖ Z : Coordonnée, bras de levier.
- y: Coordonnée, Profondeur de l'axe neutre.
- ❖ a : Largeur d'un poteau ou épaisseur d'un voile.
- ❖ b : Largeur d'une poutre, d'un poteau.
- ❖ b0 : Largeur de l'âme d'une poutre (largeur de la nervure).
- $\diamond d : Position des armatures tendues.$
- ❖ d': Distance entre les armatures et la fibre neutre (armature inf).
- \star εbc : Déformations du béton comprime.
- \bullet εs : Déformations des armatures.
- * α : Angle en général, coefficient.
- \bullet 0: Coefficient sans dimension.
- λ : Elancement.
- $\Delta ft :$ La flèche totale.
- \bullet \overline{f} : La flèche admissible.
- ❖ 1': longueur fictive.
- ψ μl : Moment réduit limite.
- ψ μ : Moment ultime réduit.
- **ELS**: Etat limite de service.
- **ELU:** Etat limite ultime.
- CV : condition vérifié

Présentation de Pouvrage

I.1 Introduction:

Toute étude de projet d'un bâtiment dont la structure est en béton armé, a pour but d'assurer la stabilité et la résistance des bâtiments afin d'assurer la sécurité du bâtiment. On sait que le développement économique dans les pays industrialisés privilégie la construction verticale dans un souci d'économie de l'espace.

Cependant, il existe un danger représenté par ce choix, à cause des dégâts qui peuvent lui occasionner les séismes et le vent. Pour cela, il y a lieu de respecter les normes et les recommandations parasismiques qui rigidifient convenablement la structure.

Quels que soient les types des bâtiments en béton armé, leurs études rencontrent des nombreuses difficultés dans le choix du modèle de comportement.

Les règlements parasismiques Algériens définissent des modèles et des approches spécifiques à chaque type de bâtiment.

La stabilité de l'ouvrage est en fonction de la résistance des différents éléments structuraux (poteaux, poutres, voiles...) aux différentes sollicitations (compression, flexion...) dont la résistance de ces éléments est en fonction du type des matériaux utilisés et de leurs dimensions et caractéristiques.

Donc ; pour le calcul des éléments constituants un ouvrage, on va suivre des règlementset des méthodes connues (BAEL91modifié99, RPA99V2003, CBA 93) qui se basent sur la connaissance des matériaux (béton et acier) et le dimensionnement et ferraillage des éléments résistants de la structure.

I.2 Description de l'ouvrage :

Le projet que nous avons en train d'étudier consiste à un bâtiment à usage commerciale et d'habitation, implanté à MILA (GRAREM GOUGA), Qui est une Zone de moyenne sismicité (zone II) d'après les règles parasismiques algériennes (RPA 99 version 2003). Cet ouvrage compose de :

- ❖ Un Rez-de-chaussée à usage commercial
- ❖ 04Niveaux à usage d'habitation
- ❖ Une terrasse inaccessible

I.2.1-Caractéristique géométrique :

Les dimensions de bâtiment sont :

En élévation :

❖ Hauteur de bloc : H= 15.98 m (sans l'acrotère).

❖ Hauteur de l'étage courant : He=3.06 m

❖ Hauteur de rez-de-chaussée : h RDC= 3.74 m

❖ Hauteur de l'acrotère : ha=0.60 m

En plan:

❖ Longueur de bâtiment : L = 23.40 m
❖ Largueur de bâtiment : L=08.90 m

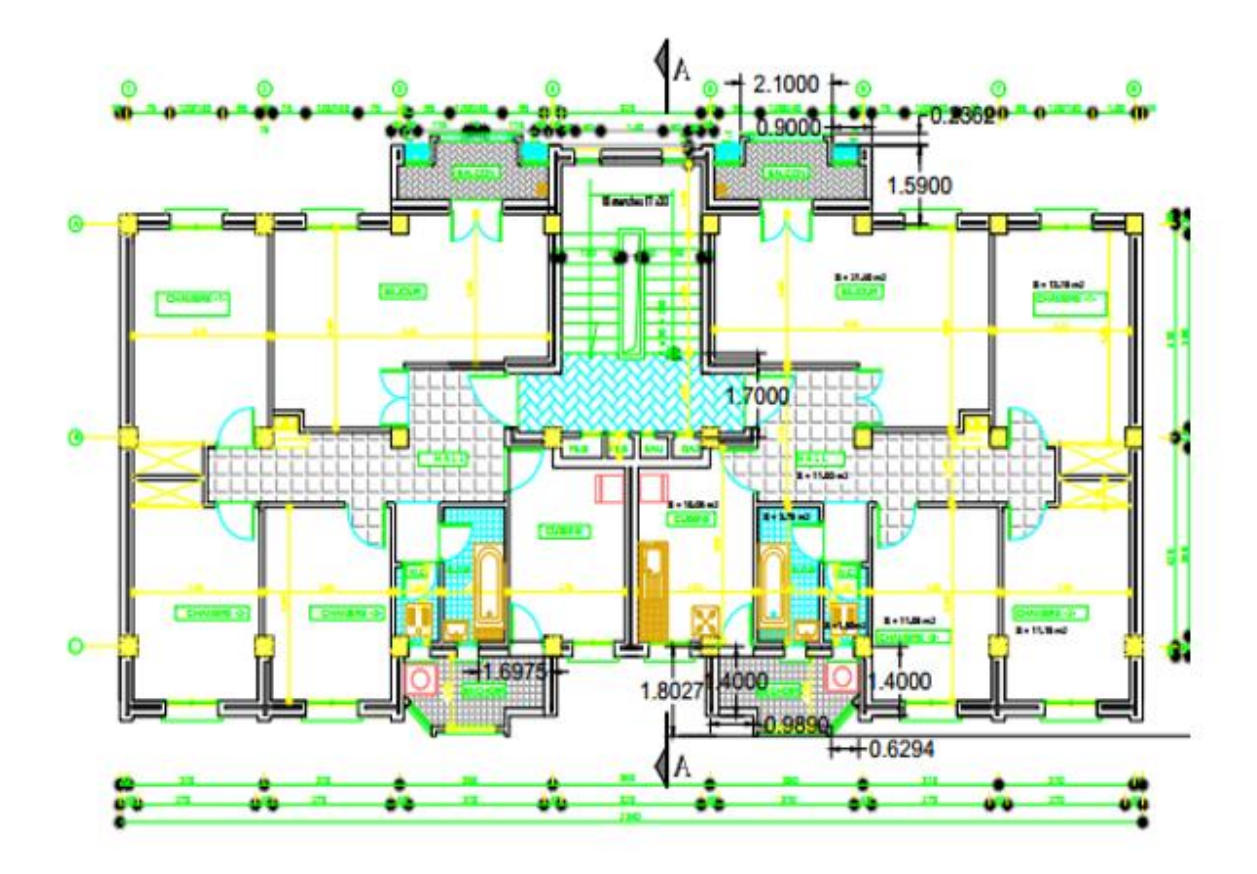


Figure I.1: Vue En Plan Etage Courant et RDC

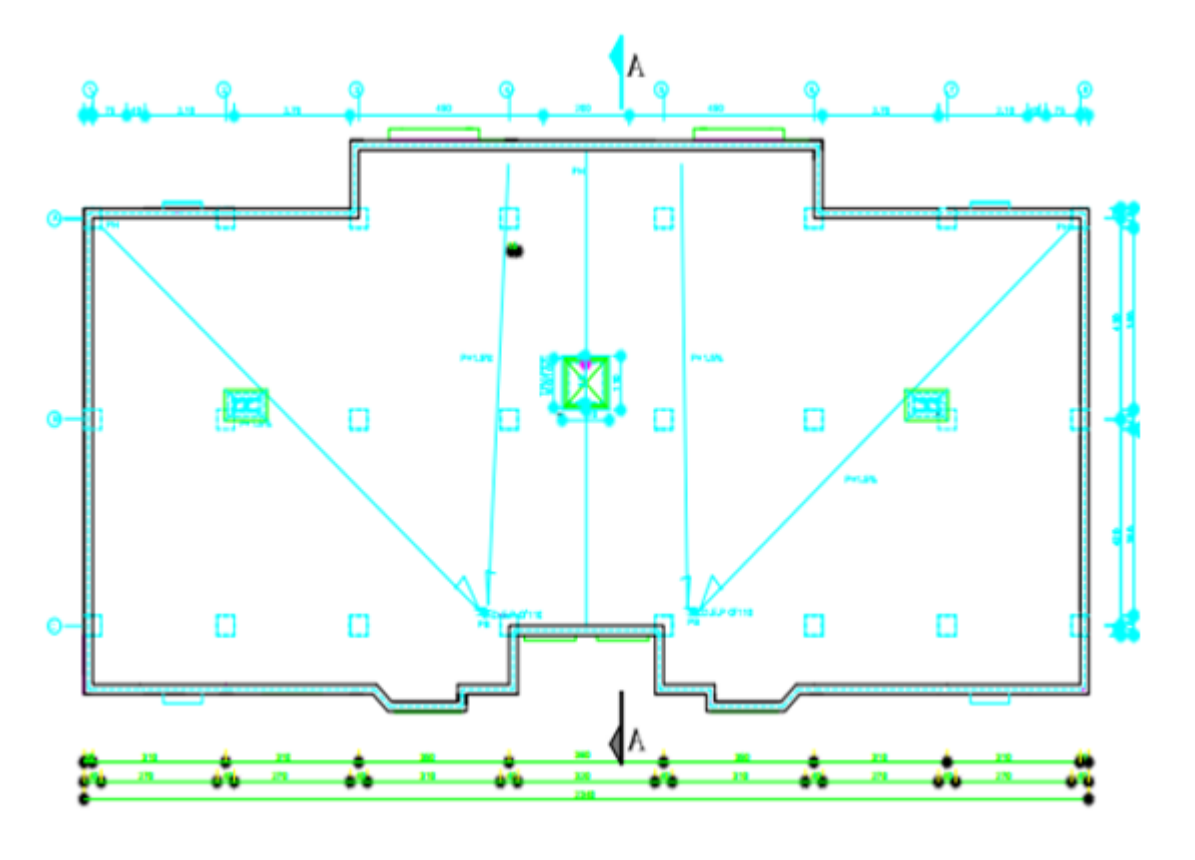


Figure I.2: Vue En Plan Terrasse inaccessible

I.3 Règlements utilisés et normes de conception :

L'étude de bâtiment sera menée en utilisant les codes suivants :

- * Règlement Parasismique Algérien « RPA99/Version 2003 ».
- * Règles de conception et de calcul aux états limites des structures en béton arme «
- ❖ BAEL91/modifié99 ».
- ❖ Document Technique Règlementaire « DTR-B.C.2.2 » : charges permanent et charges d'explantation.

I.4 Les logiciel utilise dans l'étude de cet ouvrage :

- * ROBOT Pour la modélisation de la structure.
- ❖ SOCOTEC : Pour le calcul et la vérification de ferraillage.
- ❖ AUTOCAD 2016 : Pour les dessins des plans.

I.5 Conception de la structure :

a) Plancher:

Nous avons utilisé un seul type de plancher ; plancher corps creux et un dalle de compression (16+4) cm, pour tous les niveaux avec un plancher terrasse d'une forme de pente pour permettre l'écoulement des eaux pluviales vers les conduites d'évacuation.

b) Contreventement:

Notre ouvrage rentre dans le cadre de l'application du RPA 99 (version 2003). Et puisqu'il répond aux conditions de l'article 1-b du RPA99/version 2003, et qu'il dépasse deux niveaux (8m), le contreventement sera assuré par un contreventement mixte portique-voile.

Le contreventement est assuré par les éléments structuraux qui concourent à :

- ❖ La résistance et la stabilité de construction contre les actions horizontales telle que le séisme et le vent.
- ❖ Assurer une transmission directe des forces aux fondations.
- Minimiser les effets de torsion.

En utilisant pour cela:

- ❖ Des voiles intérieurs et dans les deux sens longitudinal et transversal (voiles avec ouverture et voiles plain).
- ❖ Des portiques constituent par des poteaux et des poutres.

c) Escaliers:

Sont des éléments en gradins, ils permettent la circulation verticale des personnes entre les étages. Ils sont construits en B.A. (volée ; pallier ; volée).

d) L'acrotère:

Elément coulé sur place encastré dans le plancher terrasse ayant pour rôle la protection de la ligne de conjoncture entre lui-même et la forme de pente contre l'infiltration des eaux pluviales, il joue le rôle de garde-

e) Maçonnerie:

Les murs extérieurs sont réalisés en doubles parois en briques creuses de (15 cm; 10 cm) séparées par un vide de 5 cm (pour assurer la sécurité d'incendie et l'étanchéité de la pluie et de la neige).

Les murs intérieurs sont réalisés en simple cloison en brique creuse de 10 cm d'épaisseur (pour la séparation entre les chambres).

f) Revêtement:

- Carrelage pour les planchers et les escaliers.
- * Enduit en ciment pour les murs extérieurs et les cages d'escalier.
- ❖ Enduit en plâtre pour les cloisons et les plafonds.

g) Fondation:

L'infrastructure, constitué des éléments structuraux des sous-sols éventuels et le système de fondation doivent former un ensemble résistant et rigide, cet ensemble devra être capable de transmettre les charges sismiques horizontales en plus des charges verticales, de limiter les tassements différentiels. Le système de fondation doit être homogène.

Le choix de type de fondation dépend essentiellement de deux facteurs qui sont :

- ❖ La nature du sol d'implantation.
- ❖ L'importance de l'ouvrage.

h) Type de coffrage utilisé :

Les éléments structuraux « Poteaux, Poutres et les Voiles » sont réalisés par le coffrage métallique ou coffrage en bois.

Pour les planchers corps creux et les escaliers, on utilise les coffrages en bois.

I.6 Notion sur les règles de calcul des structures

✓ État limite

Un état limite est un état pour lequel une condition requise d'une construction (ou d'unde ses éléments) est strictement satisfaite et cesserait de l'être en cas de variation défavorable d'une des actions appliquées. Théorie des états limites considère 2 états limites :

a) Les états limite ultime (ELU)

Correspondant à la limite :

- ➤ Soit de l'équilibre statique de la construction (pas de renversement).
- ➤ Soit de la résistance de l'un des matériaux (pas de rupture).
- > Soit de la stabilité de forme (non flambement).

b) L'état limite de service (ELS)

Définissant les conditions que doit satisfaire l'ouvrage pour que son usage normal et sa durabilité soient assurés.

- ➤ Etat limite de compression du béton (contrainte de compression limitée).
- ➤ Etat limite d'ouverture des fissures (pas de flèche excessive).
- Etat limite de déformation (durabilité et sécurité des ouvrages).

I.7 Actions

Les actions sont l'ensemble des charges (force, couple, etc. permanant, climatique et d'exploitation) appliqué à la structure.

Les actions sont classées en trois catégories en fonction de leur fréquence d'apparition :

a) Actions permanant (G)

Elles sont appliquées pratiquement avec la même intensité pendant tout la durée de la vie d'ouvrage et comportant :

- Le poids propre de la section.
- Le poids des équipements fixes.
- Le poids de poussées de terre.

b) Actions variables (Qi)

Ce sont des actions dont l'intensité est plus ou moins constante, mais qui sont appliqué pendant un temps court par rapport aux actions permanentes on distingue :

- Les charges d'exploitation.
- Les charges climatiques (neige).
- Les charges mobiles.
- Les actions dues à la température.

c) Actions accidentelles (Fa)

Comme (séisme, action du feu, chocs des véhicules routiers, effet d'exploitation...).

I.8 Caractéristique des matériaux

a) Le béton:

Définition:

Le béton est un matériau de construction hétérogène, constitué artificiellement par un mélange intime de matériaux inertes appelés « granulats » (sable, graviers, pierres cassées, ...) avec du ciment et de l'eau et éventuellement d'adjuvants pour en modifier les propriétés. C'est le matériau de construction le plus utilisé au monde dans le domaine de la construction.

Le principe est de créer un béton compact à partir d'un squelette granulaire et d'un dosage en ciment et en eau au minimum compatible avec la résistance et l'ouvrabilité.

Les matériaux constituants le béton doivent satisfaire à certaines exigences pour donner un béton de bonne qualité.

b. Compositions:

Le dosage est en fonction des composants et de la résistance caractéristique souhaitée.

Pour obtenir une résistance à 28 jours de 25 MPa, on utilisera pour 1 m³ de béton :

• Ciment Portland artificiel (CPA): 350kg.

• Sable : $400 \, l$ (dimension : $\emptyset \leq 5 \, mm$).

• Gravier : 800 l (diamètre : $5 \le \emptyset \le 20$ mm).

• Eau: 175litres.

* Résistance caractéristique du béton à la compression :

Elle sera prise à 28 jours de temps de durcissement du béton notée fc28, dans notre projet on prend fc28=25 MPA pour $j \le 28$. La résistance caractéristique à la compression est définie comme suit :

$$fcj = \frac{j}{4.76 + 083j} fc28 Pour \ fcj \le 40 MPa.$$
 (BAEL91, art A.2.1, 11)
$$fcj = \frac{j}{1.4 + 0.95} fc28 Pour \ fcj \ge 40 MPa.$$

La résistance à la compression à 28 jours $fc_{28} = 25$ MPA.

❖ La résistance à la traction

La mesure directe de la résistance à la traction par un essai de traction axiale étant délicate on a recours à deux modes opératoires différents :

- Flexion d'éprouvettes prismatique non armé
- Fendage diamétrale d'une éprouvette cylindrique (essai brésilien).

La résistance à la traction du béton à j jour notée f_{tj} est définie par la relation

$$F_{tj} = 0.6 + 0.06 f c j a v e c f c j \le 60 Mpa$$
 $F_{ci} = 25 mpa => F_{t28} = 0.6 + 0.06 \times 25 = 2.1 Mpa$

❖ Déformation longitudinale du béton

• Déformations instantanées

Sous des contraintes normales d'une durée d'application inferieur a 24 heur on admet adéfaut de mesures qu'a l'âge de « j » jour le module de déformation longitudinale instantanée du béton « E_{ij} » est égale E_{ij} =11000 $\sqrt[8]{fcj}$

Dans notre projet on a:

$$F_{c28} = 25 Mpa = \rightarrow E_{ij} = 32164.2 Mpa$$

• Déformations différées

Les Déformations différées du béton comprennent le retrait et le fluage, Le module dedéformation longitudinale différée $E_{\nu j}$ est donné par :

$$E_{vi} = E_{ij}/3 = 3700 \sqrt[8]{f_{ci}}$$

Dans notre projet on a:

$$F_{c28} = 25Mpa = \rightarrow E_{vi} = 10818.9Mpa$$

***** Coefficient de poisson :

Coefficient de poisson v est le rapport de la déformation transversale relative à ladéformation longitudinale (BAEL91, art A1.1.3) :

Il est pris égal :

 ν =0 (ELU) pour le calcul des sollicitations ν =0.2 (ELS) pour le calcul des déformations

! Les Contraintes Limites de calcul :

• Etat limite ultime « E.L.U » :

La contrainte ultime du béton en compression est donnée par

$$fbu = \frac{_{0.85 \times fc28}}{_{\theta \times \gamma b}} \dots \begin{cases} & 1 \dots siladur\acute{e}eetsuperieur\grave{a}\ 24\ h \\ & 0.9 \dots siladur\acute{e}eestcompriseentre\ 1h\ et\ 24h \\ & 0.85 \dots siladur\acute{e}eetinferieur\ 1h \\ & \gamma b \dots \begin{cases} 1.5 \dots combinaisonsfondamentales \\ 1.15 \dots combinaisonsAccidentelle \end{cases}$$

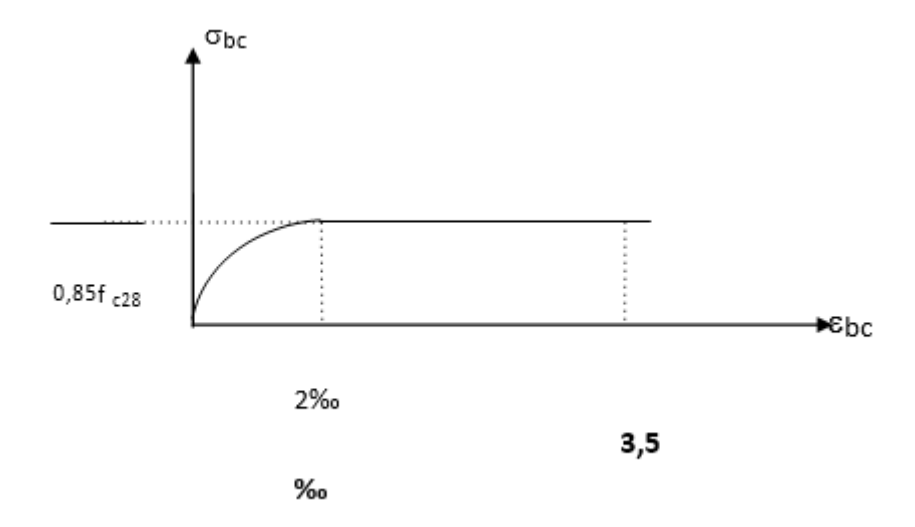


Figure I.3 : Diagramme de contrainte de déformation L'ELU

> A L'ELS:

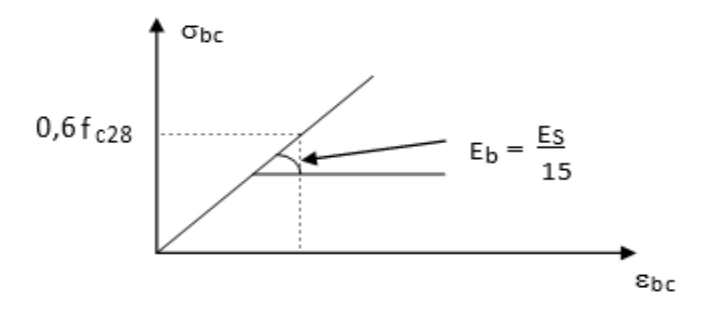


Figure I.4 : Diagramme de contrainte de déformation à l'ELS

$$\overline{\sigma_{bc}} = 0.6 fcj$$

La valeur de la contrainte normale de compression du béton est :

Dans notre projet on a:

$$Fc28 = 25Mpa = \rightarrow \overline{\sigma_{bc}} = 15Mpa$$

• Contrainte limite de cisaillement :

La contrainte de cisaillement à L'ELS est définie par :

$$\tau_{\rm u} = \frac{V_{\rm u}}{b d} [MPa]$$

V_u=Effort tranchant à L'ELU dans la section.

b = Largeur de la section cisaillée.

d= Hauteur utile (0.9h position d'aciers tendus).

La contrainte limite de cisaillement est limitée par $\tau < \bar{\tau}$

 $\overline{\tau_u} = min(0.2f_{ci}; 5MPA) \rightarrow Fissurationpréjudiciable$

 $\overline{\tau_u} = \min(0.15f_{ci}; 4MPA) \rightarrow Fissurationtrèspréjudiciable$

Dans notre cas et pour $F_{c28} = 25 Mpa$

 $au_u^-=3.33 \mathrm{Mpa} o \mathrm{fissuration}$ préjudiciable

 $\tau_u^- = 2.5 \, o \, {
m fissuration} \; {
m très} \; {
m pr\'ejudiciable}$

b) L'acier

L'acier présente une très bonne résistance à la traction, et une bonne résistance à la Compression dans le cas d'élancements faibles. Si aucune précaution n'est prise il peut subir des effets de corrosion. C'est un matériau très ductile, qui attend des déformations très Importantes avant rupture.

Les aciers utilisés pour constituer les pièces en béton armé sont :

Ronds lisses (R.L): FeE240

Barres à haute adhérences(HA): FeE400

Treillis soudés (TS) : TLE52 \square = 6 mm pour les dalles.

• Les limites élastiques :

Les ronds lisses (R.L): F_e=235 MPA

Barres à haute adhérence (HA) : F_e =400 MPA.

Treillis soudés (TS): Fe= 520MPa.

❖ Module d'élasticité des aciers :

Les aciers sont aussi caractérisés par le module d'élasticité longitudinale. Les expériences ont montré que sa valeur est fixée quel que soit la nuance de l'acier.

$$Es = 2.1.10^5 MPa$$

* Contraintes limite d'élasticité de l'acier

Contrainte limite ultime à l'ELU

La contrainte limite ultime notée f_{su} avec $f_{su} = \frac{fe}{vs}$

fe: Limite d'élasticité garantie.

 γs : Coefficient de sécurité avec : $\begin{cases} \gamma s = 1.15 \text{ pour les situations durables.} \\ \gamma s = 1 \text{ pour les situations accidentelles.} \end{cases}$

Pour un acier a haute adhérence ayant fe = 400 MPa :

$$f_{\text{su}} = \frac{fe}{\gamma s} \Rightarrow \begin{cases} 348\text{MPa} \dots \dots \dots \text{situations durables.} \\ 400\text{MPa} \dots \dots \text{situations accidentelles} \end{cases}$$

$$S_{u} = \frac{f}{r} = \begin{cases} 348MPa \dots \dots \dots situations durables. \\ 400MPa \dots \dots situations accidentelles \end{cases}$$

Diagramme contraintes- déformations

Pour le calcul on utilise le diagramme contrainte- déformation suivant

On ne limite pas de la contrainte de l'acier sauf en état d'ouverture des fissures :

• Contrainte limite de service à l'ELS

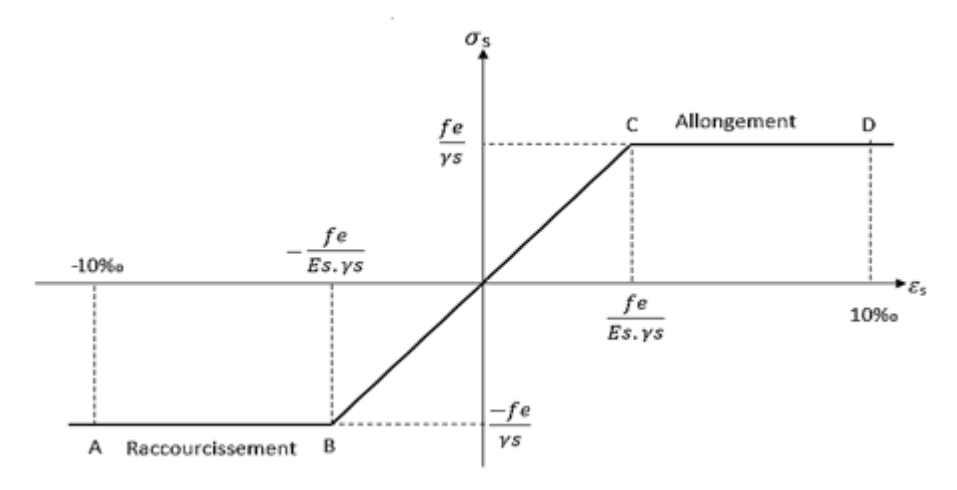


Figure I.5 : Diagramme contraintes- déformations de calcul

- Fissuration peu nuisible : pas de limitation.
- Fissuration préjudiciable : $\sigma_{st} \le \sigma_{st} = \min(\frac{2}{3}fe; 110\sqrt{\eta \cdot ft})$
- Fissuration très préjudiciable : $\sigma_{st} \le \sigma_{st} = \min(\frac{1}{2}fe, 90\sqrt{\eta.ftj})$.

Avec:

 η : coefficient de fissuration ayant pour valeur :

$$\begin{cases} \eta = 1.3 \text{: coefficient de fissuration(HA)de }\emptyset < 6 \text{mm} \\ \eta = 1.6 \text{ pour les aciers a hautes adhérences de }\emptyset \geq 6 \text{mm} \\ \eta = 1 \text{ pour les aciers ronds lisses} \end{cases}$$

❖ Coefficient d'équivalence :

Le coefficient d'équivalence noté «
$$\eta$$
 » est le rapport de : $\frac{E_z}{E_h} = 15$

η : Coefficient d'équivalence.

Es: Module de déformation de l'acier.

Eb.: Module de déformation du béton

❖ Diagramme des déformations de la section :

On distingue trois domaines 1, 2,3, à l'aide de trois pivots A, B, C et des droites représentatives de la déformation qui passent par l'un des trois pivots pour matérialiser les diagrammes de déformation de la section du béton.

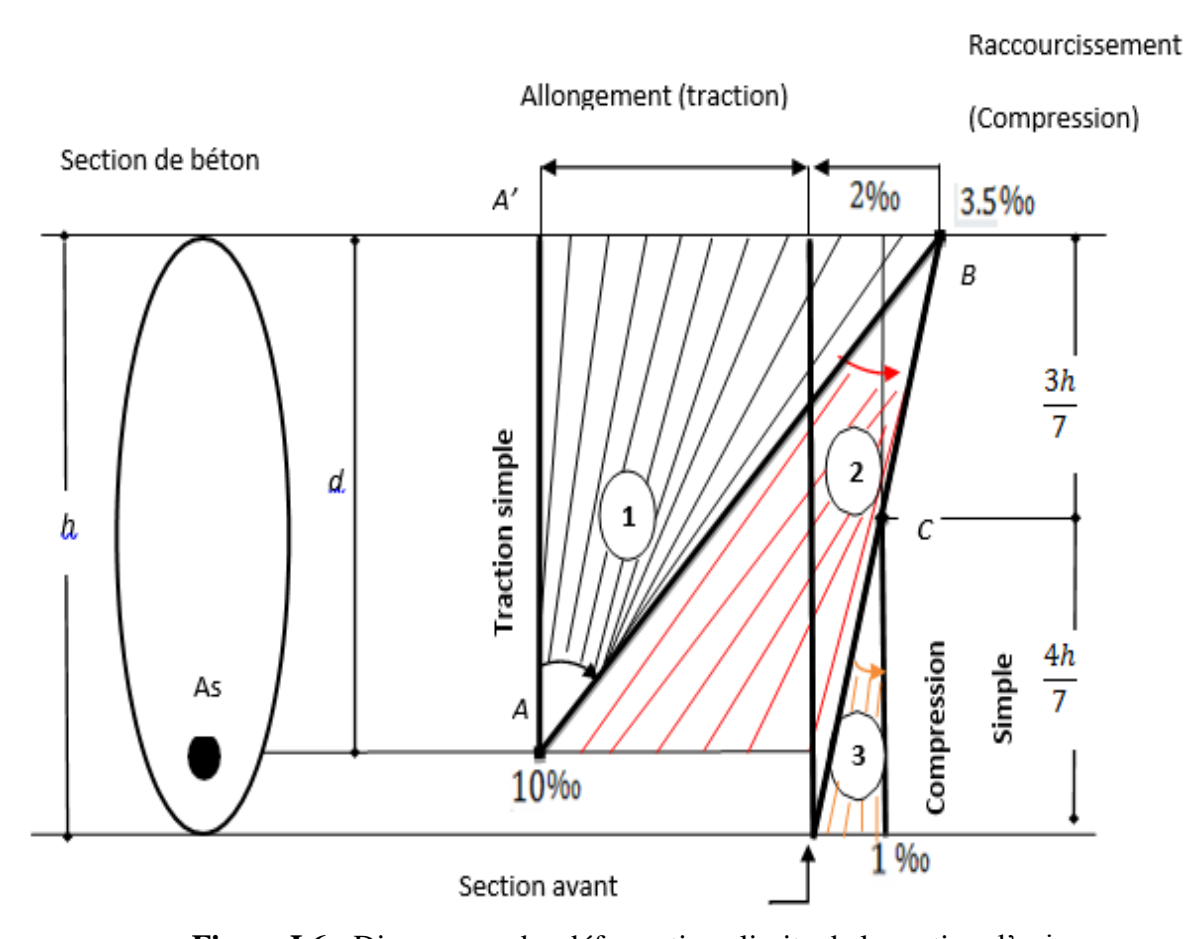


Figure I.6 : Diagramme des déformations limite de la section d'acier

Tableau I. 1 : Analyse du diagramme de déformation d'une section

Pivot A	Pivot B	Pivot C
Domaine 1	Domaine 2	Domaine 3
Allongement de l'acier s :	Raccourcissement du béton comprimé $\varepsilon bc = 3.5 \%0$	Raccourcissement du béton comprimé pour
Traction simple :	Flexion simple ou composée :	Compression simple :
Limite AA'Béton entièrement tendu	acier tendu béton partiellement comprimé	Si la droite de déformation est parallèle à la droite représentative de la section
Flexion simple ou composée		avant déformation, sinon flexion composée
• Acier tendu $\varepsilon_s = 10\%$		
béton partiellement comprimé $0 \le arepsilon_{bc} \le 3.5\%$		

Combinaisons d'action

Pour les planchers

Elles sont soumises uniquement aux actions des charges permanentes et d'exploitations

Pour cela les combinaisons considérées sont :

A l'E.L.U: 1,35 G + 1,5 Q

A l'E.L.S : G + Q

Dons le cas des actions sismiques les combinaisons à pour

fournir une meilleurerésistance sont :

D'après RPA99 V. 2003 : on a :

Pour les poutres : $-G + Q \pm E - 1,35 G + 1,5 Q$

 $-0.8 G \pm E$ -G + Q

E : Effort sismique.

Pour les poteaux :

-G + Q
$$\pm$$
 1.2 E

-0.8G
$$\pm$$
 E

Pour les voiles :

-G + Q
$$\pm$$
 E

-0.8G
$$\pm$$
 E

CHAPITRE II Predimensionnement des Aléments structuraux

II.1 Introduction:

Le but du pré dimensionnement est de définir les dimensions des différents éléments de la structure. Ces dimensions sont choisies selon les préconisations du RPA99 V 2003, BAEL91 et du CBA93. Les résultats obtenus ne sont pas définitifs, ils peuvent être augmentés après vérifications dans la phase du dimensionnement.

II.2 Pré dimensionnement des poutres :

Ce sont des éléments structuraux horizontaux en béton armé dont deux dimensions sont très petits par rapport à la troisième dimension donc c'est un élément bidimensionnelle. Elles transmettent les charges aux poteaux ou aux murs sur lesquels elle s'appuie.

Le pré dimensionnement doit respecter la condition de la flèche. Selon le BAEL

$$\frac{L}{15} \leq h \leq \frac{L}{10} \quad et \ 0.3h \leq b \leq 0.6h$$

❖ h : hauteur de la poutre.

❖ **b** : largeur de la poutre.

❖ L : est la grande portée de la poutre, mesurée entre axes des appuis.

II.2.1 Les poutres principales :

La longueur de plus grande portée est égale à L = 3.90m

La hauteur de la poutre

$$\frac{390}{15} \le h \le \frac{390}{10}$$
 donc $26 \le h \le 39$ on adopte $h = 40$

La largeur de la poutre :

$$12 \le b \le 24 \ cm$$
 On adopte b=30cm

Donc notre poutre a la section suivante : $(b \times h) = (30 \times 40) \text{ cm}^2$.

❖ Vérification des dimensions de la section de la poutre vis-à-vis les règles RPA99v2003 :

Suivant l'article 7.5.1 des règles RPA99 v2003, les conditions suivantes doivent êtrevérifiées :

♦
$$b \ge 20 b = 30 \ge 20 \rightarrow vérifié$$

♦
$$h \ge 20 h = 40 \ge 30$$
 → $v\acute{e}rifi\acute{e}$

♦
$$h/b \le 41.33 \le 4 \rightarrow v \notin rifi \notin$$

Donc la section adoptée s'accorde vis-à-vis les conditions imposées par les RPA.

II.2.2 Poutres secondaires:

La longueur de plus grande portée est égale à L = 3.20m. La hauteur de la poutre :

$$21.33 \le h \le 32$$
 on adopte $h = 30$ cm

La largeur de la poutre :

$$9 \le b \le 18cm$$
 On adopte b=30cm

Donc notre poutre a la section suivante : $(b \times h) = (30 \times 30) \text{ cm}^2$.

❖ Vérification des dimensions de la section de la poutre vis-à-vis les règles RPA99v2003 :

Suivant l'article 7.5.1 des règles RPA99 v2003, les conditions suivantes doivent êtrevérifiées :

♦
$$b \ge 20$$
 $b = 30 \ge 20$ • vérifié

♦
$$h \ge 20$$
 $h = 30 \ge 30$ → vérifié

♦
$$h/b \le 4$$
 $1 \le 4 \rightarrow v\acute{e}rifi\acute{e}$

Donc la section adoptée s'accorde vis-à-vis les conditions imposées par les RPA.

II.3 Pré dimensionnement des dalles :

Les dalles déterminent les niveaux ou les étages d'un bâtiment, elles s'appuient et transmettent aux éléments porteurs (voiles, murs, poteaux, poutres) les charges permanentes et les surcharges d'exploitation. Ce type d'élément travail essentiellement en flexion. Elles servent aussi à la distribution des efforts horizontaux. Leur épaisseur dépend, le plus souvent des conditions d'utilisations et par conséquent déterminée selon les conditions ci-dessous :

II.3.1 Dalle en corps creux :

On détermine l'épaisseur du plancher par la condition de flèche suivante : $e \ge Lx / 22.5$

Lx : longueur de la portée maximale de la grande travée dans le sens des poutrelles.

On a
$$Lx = 3.20 \text{ m}$$

 $e \ge 3.20 / 22.5 => e = 14.22$ cm. Donc on optera une épaisseur e = 20cm, (dalle encorpscreux (16+4) cm), cette épaisseur vérifie les conditions ci-dessous :

* Résistance au feu :

Selon le niveau de sécurité à l'incendie recherché, l'épaisseur de la dalle donné par lesvaleurs suivantes :

★ e = 7 cm,

e = 11 cm

e = 17.5 cm

❖ Pour **une** heure de coup feu,

❖ Pour deux heures de coup feu.

❖ Pour quatre heures de coup feu. C. V

❖ Isolation acoustique:

La loi de masse exige pour un bon confort acoustique une épaisseur telle que : ϕ : masse volumique de béton.

On la loi suivante e : épaisseur de la dalle. M : masse surfacique =350 $\varphi x e \ge m$ avec kg/m^2 .

e > 350/2500 = 0.14 m = 14 cmCondition vérifiée

Aussi, selon les règles technique « CBA93 » en vigueur en l'Algérie l'épaisseur du plancher doit être supérieure ou égale à 13 cm pour obtenir une bonne isolation acoustique.C.V.

II.3.2 Pré dimensionnement de la poutrelle :

Selon les règles BAEL: 0.3 ht < 60.8 ht

e : épaisseur totale de la dalle.

Donc $6\text{cm} \le b0 \le 16\text{cm}$. Pour des raisons constructives on prend b0 = 10cm.

Le corps creux commercialisé à une hauteur de 16cm et une longueur de 55 cm.

Détermination la largeur de la table de compression :

Cette largeur définit la dimension de la zone de compression.

Avec : $b = 2b_1 + b_0$

Selon le BAEL 91:

$$b1 = \min \begin{cases} b1 \le (L0/2) = (b - b0)/2 = 27.5 \text{ cm} \\ b1 \le (L/10) = 320/10 = 37 \text{ cm} \\ 6h0 \le b1 \le 8h0 => 24 \le b1 \le 32 \end{cases}$$

Donc on prend $b_1=27.5$ cmDonc : b=10+55=65cm

Notre poutrelle a les Caractéristiques géométriques suivantes : h0 = 4cm.

- **♦** h0 =4cm.
- **♦** ht=16c
- **♦** b=65cm.
- **♦** b0=10cm.



Figure II.1: Les Caractéristiques géométriques De Poutrelle

II.4 Pré dimensionnement des escaliers :

II.4.1 Définition:

C'est un ouvrage constitué de gradins successifs permettant de changer de niveau. Il est réservé à l'usage exclusif du piéton et doit pouvoir s'utiliser dans le sens de la marche en montant ou en descendant.

Les principes composant d'escalier sont montrés dans la figure 11

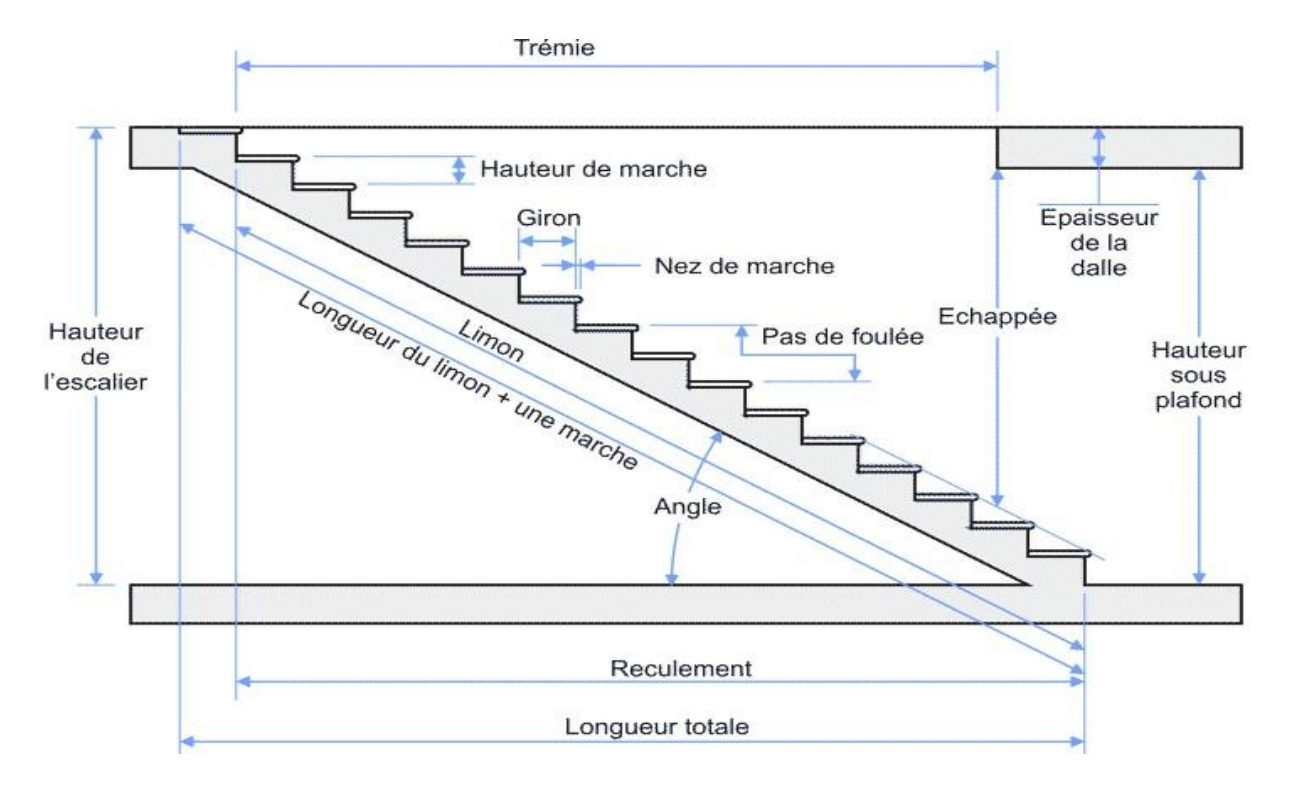


Figure II.2: Les principes composant d'escaliers

II.4.2 Escalier d'étage courant :

Dans notre cas l'escalier à des marches droites et ceci surtout pour leur facilité d'exécution. En utilisant la formule de Blondel, pour déterminer la hauteur de la marche

$$0.6 \text{ m} \le 2h + g \le 0.65 \text{ m}$$

Nous appelons g la mesure du giron (largeur de la marche), h la hauteur de la marche. La valeur de g égale à 30cm.

Pour des escaliers confortable.

 $0.6 \le (30+2*17) \le 64 \le 65$ cm condition vérifié.

Les marches et les contre marchent :

H: la hauteur d'étage, L= 3.06 m.

Où

Le nombre de contre marche est : $\frac{\frac{H}{2}}{h} = 9$

Le nombre de marche est : n'-1N'=9-1 =8 marches.

Le nombre de marches dans chaque volée est : 8 marches.

\Limits L'inclination de la pente paillasse :

$$\tan \alpha = \frac{\frac{H}{2}}{L}$$
; $L = g(n'-1) = > L = 30(9-1) = 240 \text{ cm}$

Donc:
$$\tan \alpha = \frac{\frac{3.06}{2}}{l} = 32.51'$$

\$\displaystyle Epaisseur de la paillasse :
$$l = \sqrt{h^2 + L^2}$$
 ; $h = \frac{h}{2} = 1.53 m$

on
$$a: L = 2.40 \ m$$
 ; $l = \sqrt{1.53^2 + 2.40^2} = 2.85 \ m$

$$\frac{285}{30} \le e \le \frac{285}{20} = > 9.5 \le e \le 14.25 \ cm$$

On adopte : donc l'épaisseur de palier et de volée est égale 15 cm.

II.4.3 Escalier d'étage RDC :

Dans notre cas l'escalier à des marches droites et ceci surtout pour leur facilité d'exécution.En utilisant la formule de Blondel, pour déterminer la hauteur de la marche

$$0.6 \text{ m} \le 2h + g \le 0.65 \text{ m}$$

Nous appelons g la mesure du giron (largeur de la marche), h la hauteur de la marche. La valeur de g égale à 30 cm.

Pour des escaliers confortables

 $0.6 \le (30+2*17) \le 64 \le 65$ cm condition vérifié.

Les marches et les contre marchent :

H: la hauteur d'étage, L= 3.74 m.

Οù

Le nombre de contre marche est : $\frac{\frac{H}{2}}{h} = 11$

Le nombre de marche est : n'-1N'=11-1 =10 marches.

Le nombre de marches dans chaque volée est : 8 marches.

\Langle L'inclination de la pente paillasse :

$$\tan \alpha = \frac{\frac{H}{2}}{L}$$
 ; $L = g(n'-1) = > L = 30(10-1) = 240 cm$

Donc:
$$\tan \alpha = \frac{\frac{3.06}{2}}{L} = 37.92'$$

***** Epaisseur de la paillasse :
$$l = \sqrt{h^2 + L^2}$$
 ; $h = \frac{h}{2} = 1.87m$

on
$$a: L = 2.40 \ m$$
; $l = \sqrt{1.53^2 + 2.40^2} = 3.04 \ m$

$$\frac{304}{30} \le e \le \frac{304}{20} = > 9.5 \le e \le 14.25 \ cm$$

On adopte : donc l'épaisseur de palier et de volée est égale 15 cm.

II.5. Pré dimensionnement de l'acrotère :

Les acrotères désignent les ornements eux-mêmes ; il peut s'agir de statues, de statuettes en pierre, de vases en terre cuite.

Dans l'architecture moderne, on appelle mur acrotère, en abrégé acrotère (Dans l'architecture classique, grecque et romaine antique, les acrotères sont des socles (piédestaux) soutenant des ornements, disposés au sommet ou sur les deux extrémités d'un fronton.), un muret situé en bordure de toitures terrasses pour permettre le relevé d'étanchéité. Cette appellation a largement remplacé celle, originale, de mur besquaire qu'on ne semble retrouver qu'au Québecet en Belgique.

L'acrotère de notre projet a les dimensions suivantes :

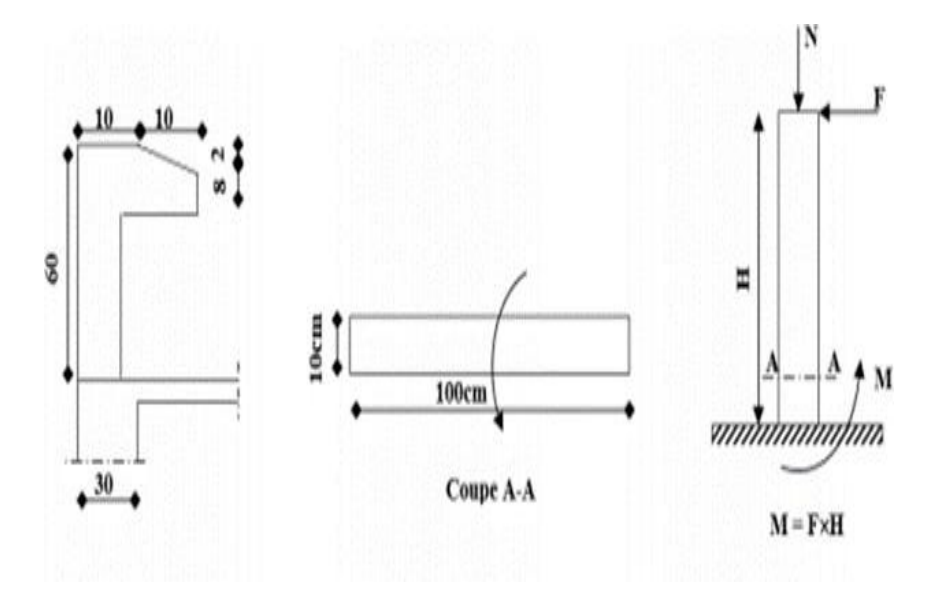


Figure II.3: Les Caractéristiques Géométriques D'acrotère

II.6 Pré dimensionnement de Poteaux

II.6.1 Evaluation des charges et surcharges

L'évaluation des charges et surcharges consiste à calculer successivement pour chaque élément porteur de la structure, la charge qui lui revient à chaque plancher et ce jusqu'à la fondation. Les différents charges et surcharges existantes sont :

- > Les charges permanentes (G).
- > Les surcharges d'exploitation (Q)

Plancher terrasse inaccessible

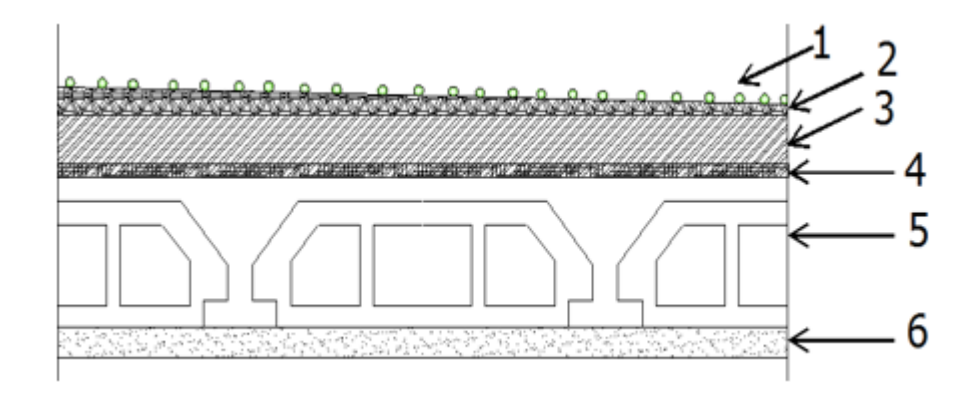


Figure II.4 : schéma de Plancher terrasse inaccessible

Tableau II.1 : Les charges permanentes de plancher terrasse

№	Constituants	Epaisseur (cm)	Charge unitaire	G (KN/m ²)
1	Gravillon roulé de protection	2	0.20 KN/m²/cm	0.40
2	Etanchéité multicouches	-	-	0.12
3	Forme de pente	10	22 KN/m^3	2.20
4	Isolant thermique (liège)	4	4 KN/m ³	0.16
5	Par vapeur	4	2.4 KN/m^3	0.096
6	Plancher corps-creux	(16+4)	-	2.80
7	Enduit plâtre	2	0.1 KN/m ² /cm	0.20
	Total			5.976

Plancher étage courant et RDC

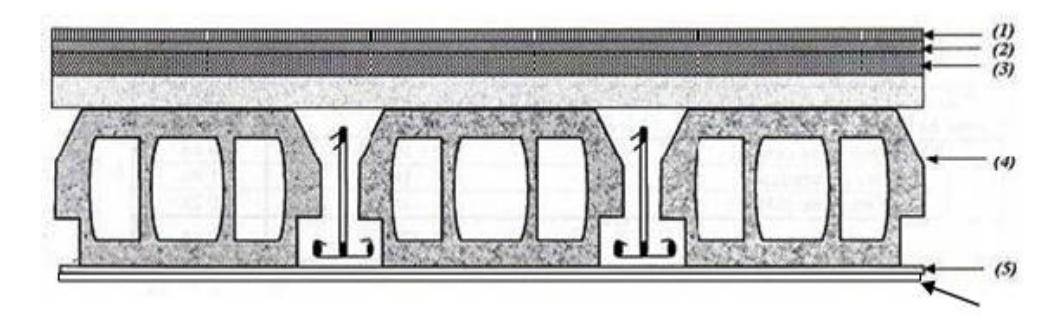


Figure II.5 : Schéma d'un plancher d'étage courant

Tableau II.2 : évaluations des charges de plancher étage courant.

Nº	Constituants	Epaisseur (cm)	Charge unitaire	G (KN/m²)
1	Cloisons de séparation	-	-	1
2	Revêtement en carrelage	2	0.20	0.40
3	Mortier de pose	0.04	20	0.8
4	Plancher à corps creux	(16+4)	-	2.80
5	Enduit plâtre	0.10	2	0.20
6	Lit de sable	0.04	15	0.6
	Total			5.8

Mur extérieur

Tableau II.3: Les Charges permanentes Mur extérieur

No	Constituant s	Epaisseur (cm)	Charge unitaire	G (KN/m²)
1	Enduit ciment	2	20 KN/m ² /cm	0.4
2	Maçonnerie en brique creuse (15+10) cm.	25	9 KN/m ³	2.25
3	Enduit plâtre	2	10 KN/m ³	0.20
	Total			2.85

❖ Mur intérieur

Tableau II.4: Les Charges permanentes Mur intérieur

Nº	Constituant s	Epaisseur (cm)	Charge unitaire	G (KN/m²)
1	Maçonnerie en brique creuse	10	9 KN/m²	0.9
2	Enduit plâtre (2 cotés)	2 * 2	10 KN/m ³ /cm	0.4
	Total			1.30

❖ Les Escalier :

> Palier

Tableau II.5: Les Charges permanentes Palier

		Etage courante	RDC
Pp de palier	0.15*25	3.75	3.75
Revêtement de carllage	0.20*0.20	0.4	0.4
Mortier de ciment		0.4	0.4
Enduit de plâtre	0.20*10	0.2	0.2
Total		4.75	4.75

> Paillasse

Tableau II.6: Les Charges permanentes Paillasse

		Etage courante	RDC
Pp de paillasse	0.15 * 25	4.45	4.75
	cos32.85		
Pp de marche	0.17 * 22	1.87	1.87
	2		
Revêtement de carrelage	0.20*0.20	0.4	0.4
Mortier de ciment		0.4	0.4
Enduit de plâtre	0.20*10	0.2	0.2
Gard corps		1	1
Total		8.32	8.62

Le poteau le plus sollicité est le poteau central

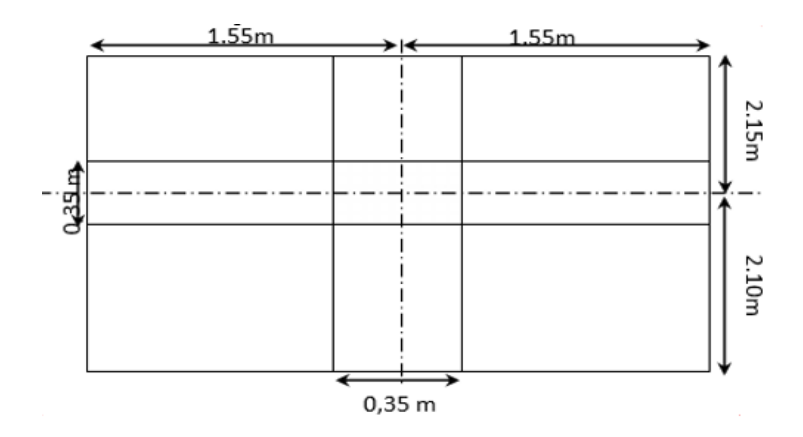


Figure II.6: Poteau central

II.6.2 Calcul des charges et surcharges revenant aux poteaux

Tableau II.7: charge et surcharges revenant aux poteaux

Niveaux	Elément	G(KN)		
4-4	Plancher terrasse	$13.175 \times 5.976 = 78.73$		
	Poutre principale	$(0.30 \times 0.40) \times 4.25 \times 25 = 12.75$		
	Poutre secondaire	$(0.30 \times 0.30) \times 3.1 \times 25 = 6.975$		
Totale	·	G=98.45 KN		
3-3	Plancher étage courant	13.175×5.8 =76.415		
	Poutre principale	$(0.30\times0.40)\times4.20\times25=12.75$		
	Poutre secondaire	$(0.30 \times 0.35) \times 3.55 \times 25 = 6.975$		
	Poteau	$(0.35 \times 0.35) \times 3.06 \times 25 = 9.371$		
		G=105.511 KN		
Totale		G=203.961 KN		
2-2	Plancher étage courant	13.175×5.8= 76.415		
	Poutre principale	$(0.30\times0.40)\times4.20\times25=12.75$		
	Poutre secondaire	$(0.30 \times 0.35) \times 3.55 \times 25 = 6.975$		
	Poteau	$(0.35 \times 0.35) \times 3.06 \times 25 = 9.371$		
		G= 105.511 KN		
Totale	<u>'</u>	G= 309.472 KN		
1-1	Plancher étage courant	$13.175 \times 5.8 = 76.415$		
	Poutre principale	$(0.30 \times 0.40) \times 4.20 \times 25 = 12.75$		
	Poutre secondaire	$(0.30 \times 0.35) \times 3.55 \times 25 = 6.975$		
	Poteau	$(0.35 \times 0.35) \times 3.06 \times 25 = 9.371$		
		G=96.552.KN		
Totale	·	G= 414.983 KN		
RDC	Plancher étage courant	$13.175 \times 5.8 = 76.415$		
	Poutre principale	$(0.30 \times 0.40) \times 4.20 \times 25 = 12.75$		
	Poutre secondaire	$(0.30 \times 0.35) \times 3.55 \times 25 = 6.975$		
	Poteau	$(0.35 \times 0.35) \times 3.74 \times 25 = 11.453$		
		G = 107.593 KN		
Total	,	G=522.576 KN		

❖ Dégression des Surcharges d'Exploitation

D'après le **DTR B.C.2.2.5** comme il est rare que toutes les charges d'exploitation agissent simultanément, on applique, pour leur détermination, la loi de dégression. Cette loi consiste à réduire les charges identiques à chaque étage de 10% par étage jusqu'à 0.5×Q sauf le dernier et l'avant-dernier niveau.

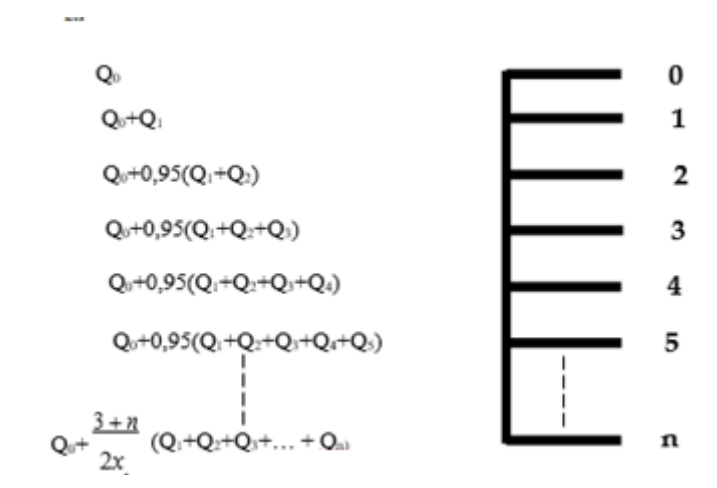
$$Q_0 + \frac{3+n}{2Xn} (Q_1 + Q_2 + Q_3 \dots + Q_n)$$

n: Nombre d'étage on démarre de haut en bas.

Q₀: la charge d'exploitation sur la terrasse.

 Q_1 , Q_2 , Q_3 ... Q_n : les charges d'exploitations des planchers respectifs.

On utilise le partir du cinquième étage.



❖ Dégression des charges :

$$Q_4=13.175+1.5\times13.175=32.93KN$$

$$Q_3=13.175+0.95 (2\times19.75)=50.7 \text{ KN}$$

$$Q_1=13.175+0.85 (4\times19.75)=80.325 KN$$

$$Q_{total} = 243.63$$

$$N_U=1,35\times522.576+1,5\times80.325=825.965~KN$$

Br
$$\geq \frac{1.2 \times 825.965 \times 10^3}{\frac{14.2}{0.9} + \frac{0.8 \times 0.85}{100} 348} 10^{-4} = 5.46 \text{ cm}^2$$

$$Br > 5.46cm^2$$

$$Br = (a \times b) = 5.46 \text{ cm}^2$$

$$B_{r} = (a-2)^{2} \rightarrow a = \sqrt{B_{r}} + 2$$

Vérification spécifique

$$v = \frac{N_u}{B. f_{o28}} \le 0.3$$

B: section brute considérée (art 7.4.3.1 RPA9/2003)

Exemple de calcul pour le poteau

$$V=825.965 \times 10^{-3} / (0.35 \times 0.35 \times 25) \le 0.3.$$
 vérifiée

Selon les règles **BAEL 91, (article B.8.4.1),** l'effort normal ultime Nu agissant dans le poteau.

Doit vérifier que :

$$Nu \le \propto \left(\frac{Br.fc28}{0.9vb}\right) + \left(\frac{As.fe}{vs}\right)$$

A_s: La section d'acier minimale.

F_e: limite d'élasticité de l'acier utilisé f_e=400MPa

B_r: La section réduite du poteau obtenue en déduisant de sa section réelle un centimètre

D'épaisseur sur toute sa périphérie tel que :

$$Br = (a-2) (b-2)... cm^2$$

F_{c28}: résistance à la compression de béton fc28=25MPa

$$\gamma_s = 1.15$$

$$\gamma_b = 1.5$$

Le calcul est basé en premier lieu sur la section du poteau le plus sollicité (central)

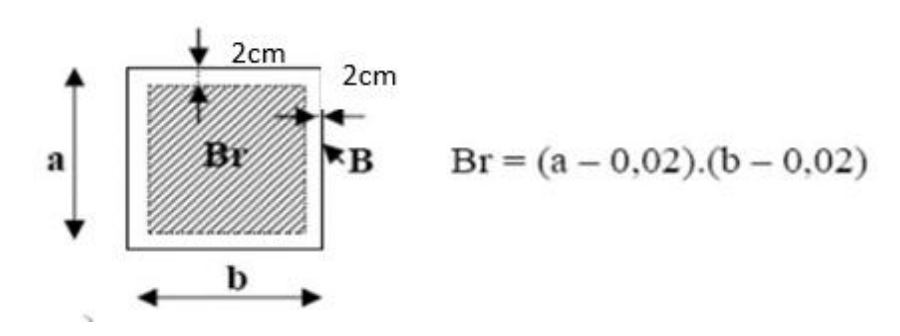
❖ Méthode de calcul :

Leur pré dimensionnement doit respecter les trois conditions suivantes : Condition de résistance, condition de stabilité et condition imposée par le RPA99

a. Condition de résistance :

D'après le BAEL91 :
$$\beta_r \geq \frac{\kappa.\beta.N_u}{\left[\theta.\left(\frac{\sigma_{bc}}{0.9}\right) + 0.85\left(\frac{A}{\beta_r}\right).\sigma_s\right]}.....(*)$$

Br : section réduite obtenue en retirant 2 cm d'épaisseur du béton sur toute la périphérie du Poteau :



$$\begin{split} \text{Tel que}: & \begin{cases} \theta = 1 \\ K = 1 \end{cases} \\ \beta = \begin{cases} 1 + 0.2(\lambda/35)^2 & \text{si } \lambda \leq 50 \\ 0.85\lambda^2/150 & \text{si } 50 \leq \lambda \leq 70 \end{cases} \end{split}$$

Pour que toutes les armatures participent à la résistance on prendra ($\lambda = 35$)

 $\beta = 1,2$

Selon le RPA99 V2003 le pourcentage minimal des armatures est de 0.8 % en zone II.

$$\Rightarrow \frac{A}{Br} = 0.8\% = 0.008$$

$$\begin{cases} \sigma_{bc} = \frac{0.85. f_{c28}}{0.\gamma_b} = \frac{0.85 \times 25}{1 \times 1.5} = 14.2 \text{MPa} \\ \sigma_{s} = \frac{f_{e}}{\gamma_{s}} = \frac{400}{1.15} = 348 \text{MPa} \end{cases}$$

La formule (*) est simplifiée et devient :

Br
$$((1.2 \times \text{Nu} \times 10^3)/[14.20//0.90) + 0.85 (0.8/100).348]10^{-4}$$

Nu=1.35Ng+1.5Nq

Ng: Effort normal du aux charges permanente Nq: Effort normal du aux charges d'exploitations

➤ Le calcul de N_u à partir de la descente de charge.

b. Condition de stabilité:

Pour éviter le flambement il faut qu'il soit λ

 $\leq 35\lambda$

$$\lambda = 3.46 \times 2.14 / 0.35 = 21.16 < 35... \text{ CV}$$

c. Condition imposée par le RPA99 (version2003) [article7.4.1 P60] :

$$\begin{cases} \min\left(h_{1},b_{1}\right) \geq 25cm & \min\left(35,35\right) \geq 25cm \dots \dots CV \\ \min\left(h_{1},b_{1}\right) \geq \frac{h_{e}}{20} & \Longrightarrow \\ \frac{1}{4} \leq \frac{b_{1}}{h_{1}} \leq 4 & \Longrightarrow \\ \end{cases} \\ \min\left(35,35\right) \geq \frac{306}{20} = 15.5 \dots \dots CV \\ \frac{1}{4} \leq \frac{35}{35} = 1 \leq 4 \dots CV \end{cases}$$

II.7 Pré dimensionnement des voiles :

Le Pré dimensionnement des murs en béton armé est justifié par l'article 7.7.1 du **RPA99V2003.** Les voiles servent d'une part à contreventer le bâtiment en reprenant les efforts horizontaux (séisme ou vent) et d'autre part à reprendre les efforts verticaux qu'ils transmettent aux fondations.

- Les charges verticales : charges permanentes et surcharges.
- ❖ Les actions horizontales : effet de séisme ou du vent.
- Les voiles assurant le contreventement sont supposés pleins.

❖ Seuls les efforts de translation seront pris en compte.

D'après le **RPA99 V2003** article 7.7.1« les éléments satisfaisants la condition (**L≥4a**) sont considérés comme des voiles, contrairement aux éléments linéaires. » Où **L** et **a** sont respectivement la portée et l'épaisseur du voile.

L'article 7.7.1 RPA99 V2003 « l'épaisseur minimale est de 15 cm ». De plus l'épaisseur du voile doit être déterminée en fonction de la hauteur libre d'étage he et des conditions de rigidité aux extrémités comme indique la figure ci-après :

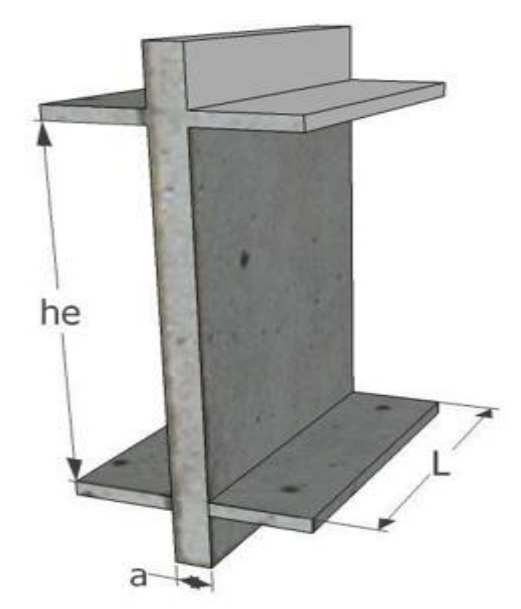
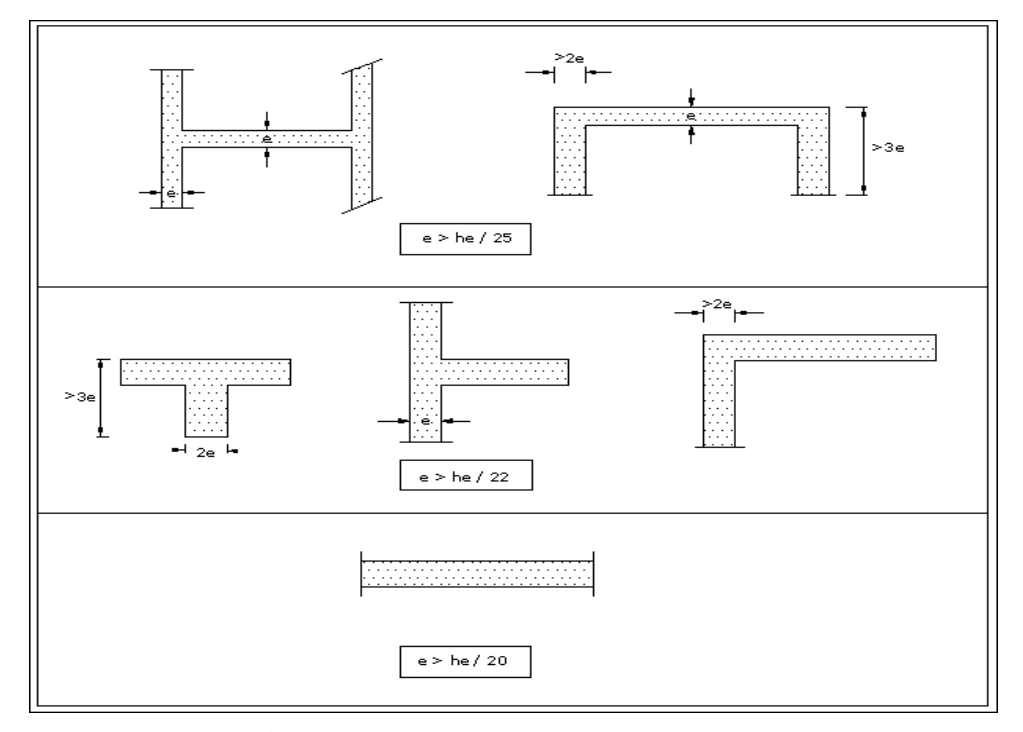


Figure II.7 : Coupe du voile en élévation



Figue II.8 : Coupes de voiles en plan

Pour le cas des voiles encadrés aux extrémités par des poteaux, qui ne se considèrent pascomme des raidisseurs, l'épaisseur « a » doit vérifier la condition des voiles libres suivante :

 $a \ge he/20$

Avec:

he = 374 - 40 = 334 cm

 $a \ge 334/20 = 16.7$ cm

Donc on adopte : a = 20 cm

CHAPITRE IIII Calcul des éléments secondaires

Calcul des éléments secondaires

CHAPITRE III

III.1. INTRODUCTION

Les éléments structuraux n'apportent pas des conditions significatives à la résistance aux

actions sismiques d'ensembles, à leur distribution peuvent être considérés comme éléments

secondaires, à condit ion que leur résistance à ces actions soit effectivement négligée et qu'il

ne soit soumis du fait des déformations imposées qu'a des sollicitations négligeables vis-à-vis

des sollicitations d'autres origines.

Dans le présent chapitre, on va aborder le calcul des éléments suivants :

➤ Planchers

L'escalier et la poutre palière

➤ Balcons

L'acrotère.

III.2. L'acrotère

L'acrotère est un élément de sécurité au niveau de la terrasse. Il forme une paroi contre

toute chute, il est considéré comme une console encastrée à sa base, soumise à son poids propre

et à une surcharge horizontale.

Il est soumis à la flexion composée due à :

❖ Un effort normal dû à son poids propre (G).

❖ Un moment dû à la surcharge (Q)

Il a pour rôle de :

Protection d'étanchéité.

❖ Servant comme garde-corps.

***** Entretient des façades.

Le calcul se fera en flexion composée dans la section d'encastrement pour une bande de

1m linéaire. L'acrotère est exposé aux intempéries, donc la fissuration est préjudiciable, dans

ce cas le calcul se fera à l'ELU, et à l'ELS.

III.2.1 Évaluation des charges :

❖ Charge permanente : G= 2.20 KN/ml

❖ Surcharge d'exploitation : Q= 1 KN/ml

28

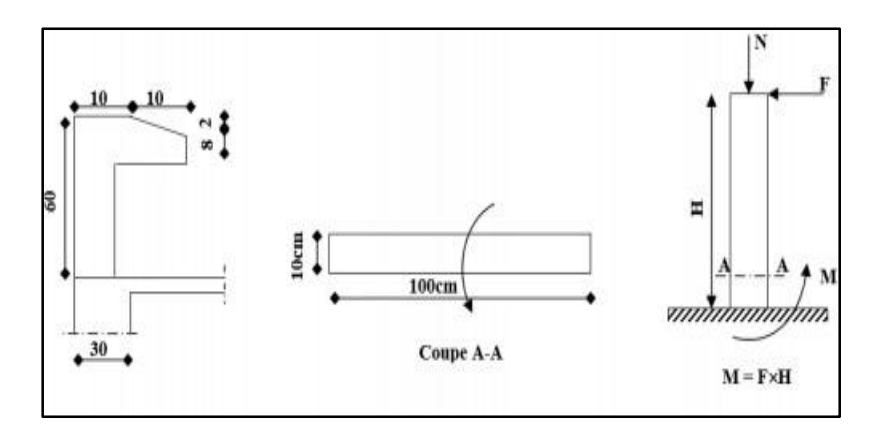


Figure III.1 Les caractéristiques géométriques d'acrotère

III.2.2 Détermination de l'effort due au séisme

F = max (Fp, Fq) Avec : Fp = 4*A*Cp*WP (R.P.A 99 versions 2003 P-43).

A : coefficient d'accélération de zone.

Cp : facteur de force horizontale.

Fq: la poussée horizontale Fq = 1 KN/ml.

Le calcul est effectué sur une bande de 1m de largeur, la console sera calculée enflexion composée.

III.2.3 Calcul des sollicitations

Poids propre : Wp = 2.20 kn/ml

La surcharge d'exploitation : Q = max (Fp, Fq) :

❖ Fq = 1 KN/ml : poussée de la main courante.

• Fp = $4A \times Cp \times Wp$: la force sismique.

A=0.15 zone II et groupe d'usage 2, Suivant le (tableau 4-1 de RPA99V2003).

Cp=0.8 élément de console (tableau 6.1 de RPA 99). Fp = 4*0.15*0.8*2.20 = 1.056KN/ml.

Q=max (1; 1.056)

Donc : Q=1.056KN/m

III.2.4 Moments est efforts normaux

❖ Calcul a E.L.U : $N_u = 1.35 *W_p$ $M_u = 1.5 *F_p * h$

❖ Calcul a E.L.S : Ns = Wp Ms = Fp* h

III.2.5 Ferraillages

a) Calcul d'excentricité

 $Mu = Nu*eu \implies eu = Mu/Nu = 0.95/2.97 = 0.32 m$

 $Mu = Nu*es \implies es = Ms/Ns = 0.63 / 2.2 = 0.28 m$

 $e_0 = h/6 = 0.1/6 = 0.017 \text{ m (eu,s)} > e_0$

Le centre de pression se trouve de la zone l'extrémité de la section, et l'effort normale étant un effort de compression.

Donc la section est partiellement comprimée.

Tout le problème de flexion composée, lorsque la section est partiellement comprimée se ramener à un calcul de flexion simple en prenant comme moment fictif Mau = Nu*ea avec (ea) la distance entre le point d'application du centre de pression (c) et le centre de gravité des armatures tendues.

ea=eu + (d -
$$\frac{h}{2}$$
) avec : d=.09*ht = 0.09 m

ea =
$$0.32 + (0.09 - \frac{0.1}{2}) = 0.33 m$$

On obtient une section fictive d'acier Alu puis on déduit la section d'acier tendue de flexion composée :

$$Au = Alu - \frac{Nu}{100.\sigma} = cm^2$$

Moment réduit fictif:

$$M_{bu} = \frac{Mua}{bd^2fbu} = \frac{0.9510^3}{100.6^2.14,17} = 0.018$$

$$\gamma = \frac{Mua}{Mser} = \frac{0.95}{0.63} = 1.5$$

$$104uul = 3440 *\gamma *\theta + ((49 fc28)/\theta) - 3050 \rightarrow ulu = 0.3340$$

ubu < (Pas d'armature comprimée A' = 0).

$$\Rightarrow \alpha u = 1.25 (1 - \sqrt{1 - 2Ubu}) = 0.023 \text{ Zb} = d (1-0.4 \ \alpha) = 0.09 \text{m}$$

$$Au = \frac{Mu}{Zb.\sigma s} = 0.44 \ cm^2$$

b) Condition de non-fragilité

$$A_{min = 0.23} \frac{\text{b.d ftj}}{\text{fe}} = 0.23 \frac{10 \text{x} 6 \text{x} 2.1}{400} = {}_{1.086 \text{ cm}}^2$$

Alors en prend : Arél = Amin = 5HA8 = 2.51cm². L'espacement des armatures principales sera de 20 cm.

c) Armature de répartition : Selon (article A.8.2.4.1 du BAEL91modifié99) :

$$A_{rep} = \frac{Areal}{4} = 0.63 \text{ cm}^2$$

Vérification à l'E.L. S:

État limite de compression du béton :

Position de l'axe neutre : (A'=0)

$$b + y^2 + 30 *A*y - 30 *d*A = 0 \Longrightarrow y = 2.05 \text{ cm}$$

Le moment d'inertie de la section homogène par rapport à l'axe neutre s'écrit :

$$I_{AN} = \frac{b}{3} \cdot y^3 + 15(A(d-y)^2) = 1743.49 \text{ cm}^4$$

$$\sigma_{\rm bc} = \frac{{\it Mser}}{{\it I}}$$
. $y = 0.75$ MPa $< \overline{\sigma}_{\rm bc = 0.6x}$ $f_{\rm c28 = 15}$ MPa

État limite d'ouverture des fissures :

$$\sigma_{s} = \frac{15.Mser}{I}(d - y) = 34.78 MPa < \overline{\sigma} = 250 MPa$$
 C.V

d) Vérification au cisaillement : art A.6.1.1, 3 BAEL91

$$\tau_{u} = \frac{vu}{b.d} = \frac{1.5*Q}{100*60} = \frac{1.5*1.056*10^{3}}{60000} = 0.0264 \text{ MPa}$$

$$\bar{\tau} = \min\left(\frac{15*fc28}{\gamma s} = 2.5 MPa; 4MPa\right)$$

L'action sismique est renversable, donc on dispose le même ferraillage pour les deux fæs (extérieure et intérieure).

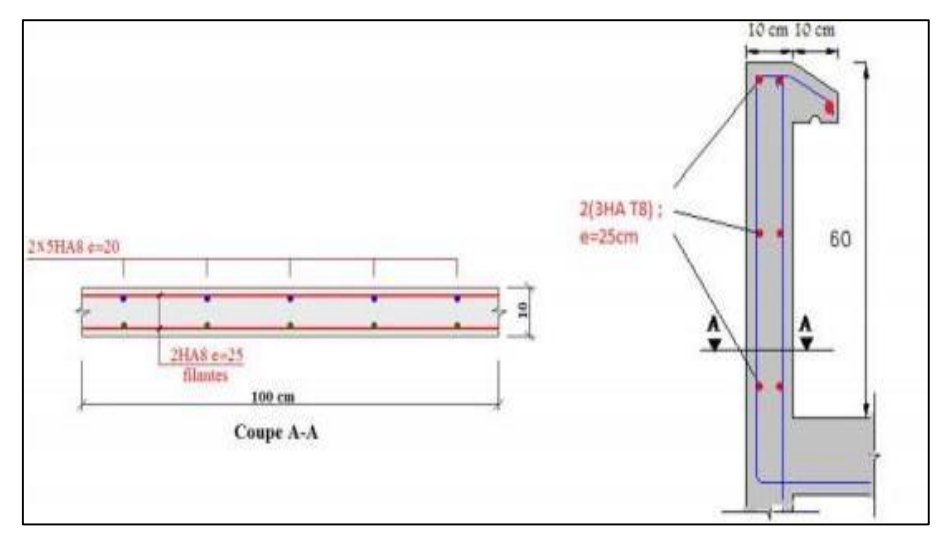


Figure III.2 : Ferraillage d'acrotère

III.3 Calcul des balcons

Notre balcon est considéré comme une porte à faux (consol), on fait son calcul comme une poutre encastrée d'une seule extrémité. Le calcul se fait pour une bande de 1m. Schéma statique :

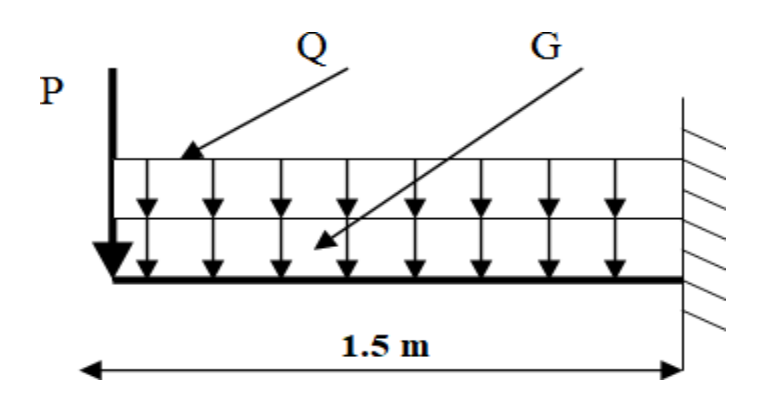


Figure III.3 : Schéma statique de balcon

III.3.1 Dimensionnement du balcon

L'épaisseur du balcon est donnée par la formule suivante :

$$ep \ge \frac{L}{10} = \frac{150}{10} = 15cm \text{ on prend} : ep = 20 cm$$

L=largeur de balcon.

III.3.2 Evaluation des charges de balcon :

- a) Poids propre de balcon:
- Dalle pleine $e = 20 \text{ cm } 25 \text{ x } 0,20 = 5 \text{ KN/m}^2.$
- Carrelage $e = 02cm\ 20x0,\ 02 = 0.40KN/m^2$.
- Mortier de pose e = 02 cm 20 x 0, $02 = 0.40 \text{KN/m}^2$.
- Enduit en plâtre e = $01 \text{cm} \ 14 \times 0,01 = 0,14 \text{KN/m}^2$.

$G_{total} = 5.94 \text{ KN/m}^2 \text{ x1m} = 5.94 \text{ KN/ml}.$

Poids propre de mur extérieur :

Brique e= 15 cm 9 x 0, 15 x 1 = 1.35 KN/ml

Enduis en plâtre 0,2 KN/m

Enduit ciment0.4 KN/m

$G_{total} = 1.9 \text{ KN/m}$

b) Combinaison de charges :

E.L.U:

$$Qu = 1,35G+1,5Q = 1,35(5.94) +1,5(3,50)=13.27$$
 KN/ml.

$$Pu = 1,35G = 1,35(1.95) = 2.63 \text{ KN/m}.$$

E.L.S:

c) Calcul des moments :

Section : 1-1 $0 \le x \le 1,50 \text{ m}$

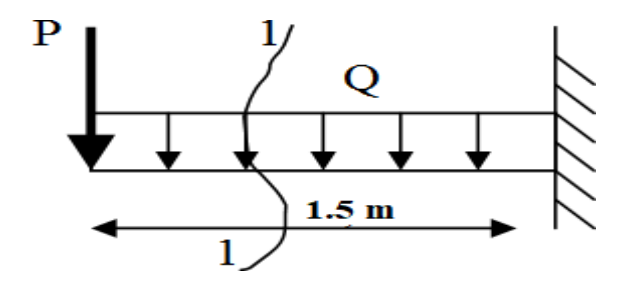


Figure III.4: Coupe 1-1 de balcon

ELU:

$$x = 0 \qquad ===> Mu = 0$$

$$x = 1.5 = = > Mu = \frac{Qu * x^2}{2} + Pu * x$$

$$Mu = 18.87 \ kNm$$

ELS:

$$x = 0$$
 ===> $Mu = 0$

$$x = 1.5 = = > Mu = \frac{Qs * x^2}{2} + Ps * x$$

$$Mser = 13.54 kNm$$

III.3.3 Calcul de ferraillage:

On a: b=100 cm d=18 cm.

$$\mu = \frac{18.87*10^{6}}{1000*180^{2}*14.2} = 0.041 \le 0.392 \ \textit{A's} = 0$$

$$\alpha = 1.25(1 - \sqrt{1 - 2\mu}) = 0.052$$

$$B=1-0.4\alpha = 0.97$$

$$As = \frac{18.87 \times 10^6}{0.97 \times 348 \times 180} = 3.10 \text{ cm}^2$$

On adopte **4HA12** dont As $=4.52 \text{ cm}^2$

Espacement : St = 100 / 4 = 25 cm

III.3.4 Les armatures de répartition

 $Ar \ge \frac{As}{4} = = = > \frac{4.52}{4} = 0.94 \text{ cm}^2$ On adopte 4HA8 (As=2.01). Avec un espacement de 25 cm

a) Condition de non-fragilité

Selon l'article (B.6.4) de BAEL 91:

Amin
$$\geq \max\left(\frac{bh}{1000}; 0.23bd\frac{ft28}{fe}\right) = = = > Amin \geq 2.17cm^2$$

Et As > Amin condition vérifiée; aussi on a As > Amin condition vérifiée

b) Vérification à L'ELS

On doit vérifier que :

$$\sigma_{bc} \leq \sigma_{bar\ bc}$$

$$\sigma_{\mathcal{S}} \leq \sigma_{m{bar} \ m{s}}$$

Avec:

$$\boldsymbol{\sigma}_{\text{bars}} = \min\left(\frac{2fe}{3} : max(0.5fe; 110\sqrt{\eta ft28})\right)$$
$$\boldsymbol{\sigma}_{\text{bar bc}} = 0.6\text{fc}28 = 15\text{MPa}$$

c) Calcul des contraintes

La section étant soumise à un moment Mser, la contrainte à une distance x de l'axe neutre est :

$$\boldsymbol{\sigma} = \frac{Mser}{I} y$$

Contrainte maximale dans le béton comprimé : $(x=y)_{(x)} = Ky$.

Contrainte maximale dans l'acier tendu : $(x=d-y)_{(x)} = (d-y)$.

On a Mser = 13.54KN m/ml, et As=4.52 cm²

d) Position de l'axe neutre (y) :

$$B*y^{2}/2 + 15(As + A's) - 15'Asd + A'sd') = 0$$
$$50y^{2} + 58.35y1 - 1050.3 = 0.....1$$

Apres résolution de l'équation (1) on a trouvé que ===> y= 3.65 cm

e) Le moment d'inertie :

$$I = \frac{by^3}{3} + 15(d - y)^2 + A's(y - d)^2 = 7022.21 \text{cm}^2$$

Et par conséquent :

$$\sigma_{bc} = \frac{Mser}{I} \ y = 7.03 MPa \le \sigma_{bar\ bc} = 15 \ MPa \ condition \ verif$$

$$\sigma_{s=15^*} \frac{Mser}{I} (d-y) = 415.03 MPa \le \sigma bar bs = 202 MPa condition non verifie$$

Donc, nous cherchons la section d'armature qui satisfait l'état limite de serviceà partir du

moment de l'ELS:

$$\mu = \frac{13.04*10^6}{1000*202*180^2} = 0.001 \le 0.392$$

En calculant : $Z_1 = 1 - \frac{\alpha}{3} = 0.97$

$$As = \frac{13.04 * 10^6}{0.97 * 202 * 180} = 3.69 cm^2$$

On adopte 5HA12 dont (As= 5.65 cm²)

L'espacement St=100/5 =20 cm

❖ Vérification de la flèche :

$$h \le \frac{L}{16}$$
: $10 \ge \frac{150}{16}$ 9.38 *C.V*

As =
$$5.65 \le 4.2 * b \frac{d}{fe} = 18.9 \ \textbf{C.V}$$

Vérification de l'effort tranchant :

$$x = 1.5$$
; $Vu = Qu*x + Pu = 13.04*1.5+2.63 = 22.19$

Vu=22.19 KN

$$\tau_{\rm u} = \frac{Vu}{bd} = \frac{22.19*10^{-3}}{1*0.18} = 0.123MPa$$

$$\tau_{bar \ u = min}(\frac{0.15 fc28}{\gamma b}; 4MPa) = 2.5 \ MPA$$

 $r_u = 0.123 \; MPa \leq r_{bar \; lim} = 2.50 \; MPa \; donc \; r_u \leq r_{bar \; lim} \;$ condition verifie

❖ Vérification au séisme :

Après le RPA 99 (Article 6.2.3) les éléments non structuraux doivent être calculés sous l'action des forces horizontales suivant la formule suivante :

$$FP = 4 A CP Wp$$

A: coefficient d'accélération de zone, obtenu à partir du tableau 4.1 du RPA99

v2003; A=0.15Cp: facteur de force horizontale, donné par le tableau 6.1; CP = 0.8

Wp : c'est le poids propre de balcon. Wp=25*1.5*0.15=

5.63 KN/ml

Application numérique:

$$Fp = 4*0.15*0.8*5.63 = 2.70 \text{ KN/ml}$$

$$Me = 1.35 * 2.70 * 1.5 = 5.47 \ KNm/ml$$
 sous Fp :

$$Ve = 1.35 * 2.70 = 3.64 \ KN/ml$$

Remarque: nous voyons que:

$$Me = 5.47 \le Mu = 13.04$$
 c. v

$$Ve = 3.64 \le Vu = 18.87 c. v$$

❖ Schéma de ferraillage :

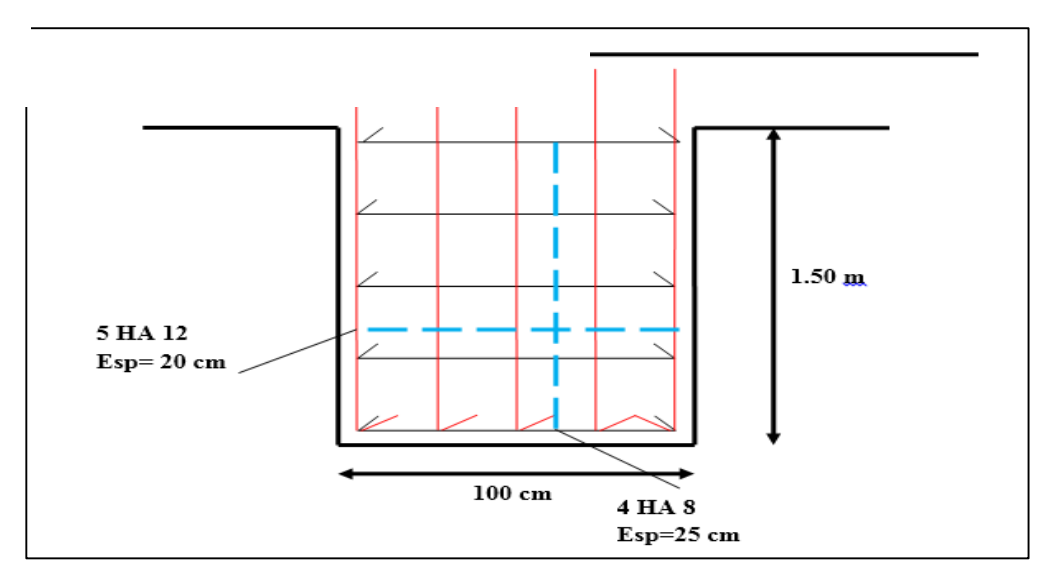


Figure III.5 : Schéma de ferraillage de balcon

III.4 La poutre palière

La poutre palière, c'est une poutre partiellement encastrée à ses extrémités dans les poteaux et soumise à la flexion et à la torsion. La poutre palière prévue pour être un support d'escalier. Dans notre cas, elle est normalement noyée dans l'épaisseur de la volée.



Figure III.6 : Schéma de poutre palière

Pré dimensionnement :

L : la portée entre axes des appuis ; L=360 cm

$$\frac{Lmax}{15} \le hp \le \frac{Lmax}{10} = > \frac{360}{15} \le hp \le \frac{360}{10}$$

$$24 \le hp \le 36$$

Selon RPA99 /V2003 on adopte hp = 30cm

$$0.4h_p \le b \le 0.8h_p \implies 0.4 \times 30 \le b \le 0.8 \times 30$$

 $\implies 12 \le b \le 24 \dots On adopte b = 20cm$

Vérification selon le RPA:

- b = 20cm ≥ 20cm CV
- h = 30cm ≥ 30cm CV
- h/b = 30/20 = 1,5 < 4 CV

Donc les dimensions de la poutre de palier sont de (30x20) cm2

Schéma statique :

Le modèle réduit de calcul de poutre palière est présenté dans la figure

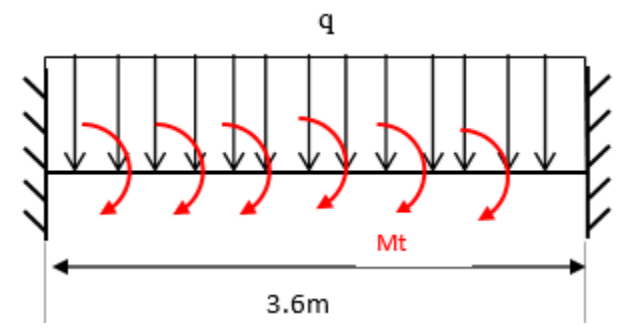


Figure III.7 : schéma statique de la poutre

Evaluation des charges:

Poids propre de la poutre : $0.30 \times 0.20 \times 25 = 1.5$ KN/ml

Poids propre du mur :(mur extérieure) : 2.85×1,53= 4.36kn/ml

Le poids de palier : Gp = 5.86 K

Donc G= 1.5+4.36+5.86 =11.72 KN/ml.

Q=2.5KN/ml.

Combinaison d'action :

à l'ELU : Pu=1,35G+1,5Q=1,35 ×11.72 +1,5 ×2,5 = 19.57 KN/m

à l'ELS : Pser=G+Q=11.72+2,5= 14.22 KN/m

Le moment isostatique à L'ELU:

$$M_0 = \frac{Pu*l^2}{8} = \frac{19.57*3.6^2}{8} = 31.7$$
KN. m

Le moment sur appuis :

 $Mua = 0.3M0 = 0.3 \times 31.7 = 9.51 \text{ KN.m}$

Le moment sur travée :

 $Mut = 0.85M0 = 0.85 \times 31.7 = 26.945 \text{ KN.m.}$

Le moment isostatique à L'ELS:

$$M_0 = \frac{\textit{Pser*}l^2}{8} = \frac{14.22*3.6^2}{8} = 23.04 \text{ KN.m}$$

Le moment sur appuis :

 $Mua = 0.3M0 = 0.3 \times 23.04 = 6.912 \text{ KN.m.}$

Le moment sur travée :

 $Mut = 0.85M0 = 0.85 \times 23.04 = 19.584 \text{ KN.m}$

❖ Ferraillage:

$$b = 20 \text{ cm}$$

h = 30 cm

d = 27 cm

c = 3 cm

En travée:

$$Mu = 26.945 \text{ KN.m/ml}; \quad Mser = 19.584 \text{ KN.m/ml}$$

$$\gamma = \frac{M_u}{M_{ser}} = 1.37$$

$$\begin{cases} f_{\text{c28}} = 25 \text{ MPa,} \\ \text{acierFeE400.} \end{cases} \rightarrow \mu_{\text{lu}} = 0.341 \gamma - 0.1776$$

$$\mu_{lu} = 0.341\gamma - 0.1776 = 0.289$$

$$\mu bu = \frac{Mu}{b*fbc*d^2} = \frac{26.945}{0.2*14.2*10^3*0.27^2} = 0.13$$

$$\mu_{bu} < \mu_{lu} \rightarrow (As' = 0, sectiond'aciercomprimée)$$

 $\alpha u = 1.25 (1 - \sqrt{1 - 2ubu}) = 0.174$

$$Zu = d(1 - 0.4\alpha u) = 27(1 - 0.4 * 0.174) = 25.12 cm$$

 $\alpha = 0.174 < 0.259$, l'ELU est atteint en pivot A, avec :

$$\begin{cases} \epsilon_{\text{s}} = 10\% \\ \epsilon_{\text{bc}} < 3.5\% \\ \sigma_{\text{s}} = \sigma_{\text{su}} = 348 \text{ MPa} \end{cases}$$

$$AS = \frac{Mu}{Zu.fsu} = \frac{26.945*10}{0.2512*348} = 3.08 \text{ cm}^2$$

❖ Le ferraillage minimal : (BAEL DTU P175 et BAEL A.4.2 P29) :

En plus de la condition de non fragilité on ajoute pour les poutres la section d'acier minimale

$$\begin{split} &A_{Smin} \geq max \left\{0.005bh; \frac{bh}{1000}; 0.23 \ bd \frac{f_{t28}}{f_e} \right\} \\ &A_{Smin} \geq max \left\{0.005 \times 20 \times 30; \frac{20 \times 30}{1000}; 0.23 \times 20 \times 30 \frac{2.1}{400} \right\} \\ &recommandée par les règles (RPA99v2003 .7.5.2.1 P165) \end{split}$$

En Appuis:

$$A_S \ge \max\{A_{Smin}; A_S\} = 3cm^2$$

Onadopte3T12avec $A_s = 3.39$ cm² En Appuis :

$$\begin{split} M_U = 9.51 \ KN.m/ml & Mser = 6.912 \ KN.m/ml \\ \gamma &= \frac{M_u}{M_{\text{ser}}} = 1.37 \\ \begin{cases} f_{c28} = 25 \ MPa, \\ acierFeE400. \end{cases} \rightarrow \mu_{lu} = 0.341 \gamma - 0.1776 \end{split}$$

$$\mu_{l_{11}} = 0.341\gamma - 0.1776 = 0.289$$

$$\mu bu = \frac{Mu}{b*fbc*d^2} = \frac{9.51}{0.2*14.2*10^3*0.27^2} = 0.045$$

$$\mu_{bu} < \mu_{lu} \rightarrow (\text{As'} = \text{ 0,sectiond'aciercomprim\'ee})$$

$$\alpha u = 1.25 (1 - \sqrt{1 - 2\mu bu}) = 0.057$$

$$Zu = d(1 - 0.4\alpha u) = 27(1 - 0.4 * 0.057) = 26.38 cm$$

$$\begin{cases} \epsilon_s = 10\% \\ \epsilon_{bc} < 3.5\% \\ \sigma_s = \sigma_{su} = 348 \text{ MPa} \end{cases}$$

$$AS = \frac{Mu}{Zu.fsu} = \frac{9.51*10}{0.263*348} = 1.03 \text{ cm}^2$$

Le ferraillage minimal:

$$\begin{split} &A_{Smin} \geq max \left\{0.005bh; \frac{bh}{1000}; 0.23 \ bd \frac{f_{tzs}}{f_e} \right\} \\ &A_{smin} \left(RPA\right) = 3cm^2 \quad Onadopte \quad 3T12 \ avec \ A_s = 3.39cm^2 \\ &A_S \geq max \{A_{Smin}; A_S\} = 3cm^2 \end{split}$$

Armatures transversales:

Suivant l'article A.5.1, 22 des règles BAEL91 modifé99 on a :

$$\frac{A_t f_{e_t}}{bs_t} \ge 0.4 MPa$$

St : est l'espacement des cours s'armatures transversales, qui est donné par l'article des règles

RPA comme suit:

Zone nodale:

Avec est le plus petit des diamètres longitudinales c.-à-d. 1.4 cm,

$$S_t \leq min\left\{\!\frac{h}{4}; 12\phi_l; 30cm\right\}$$

DonconadopteS, = 7cm

Hors zone nodale:

$$\begin{split} S_t &\leq 7.5 cm \\ S_t &\leq \frac{h}{2} = 15 \text{ cm,} \\ A_t &\geq \frac{b \times s_t \times 0.4 MPa}{f_{ab}} = \frac{20 \times 15 \times 0.40}{235} = 0.51 \end{split}$$

$$A_{t} = 0.003 \times S \times b = 0.003 \times 15 \times 20 = 0.003 \times 15 \times 10^{-235}$$

 $A_t=0.003\times S\times b=0.003\times 15\times 20=0.9~cm^2$ Condition vérifiée Donc on adopte : et $S_t=15cm$

❖ Vérification de l'effort tranchant à (L'ELU):

$$V_U = \frac{Pu*l}{2} = 19.57 * \frac{3.6}{2} = 35.226 \text{ KN}$$

$$\tau_{u} = \frac{Vu}{bd} = \frac{35.226*10^{3}}{200*270} = 0.652 \text{ MPa}$$

$$\overline{\tau} = min\left\{\frac{0.15\;f_{\texttt{C28}}}{\gamma_{\texttt{b}}}\;; 5\text{MPa}\right\} = 2.5\;\text{MPa}$$

Donc:

$$\tau = 0.652 \text{ MPA} < \tau = 2.5 \text{ MPA}$$
 C.V

❖ Vérification à l'ELS :

Vérification des contraintes :

En travée:

$$\gamma = \frac{Mu}{Ms} = \frac{26.945}{19.584} = 1.37$$

$$\frac{\gamma-1}{2} + \frac{fc28}{100} = \frac{1.37-1}{2} + \frac{25}{100} = 0.435 > \alpha = 0.167$$

$$\gamma = \frac{Mu}{Ms} = \frac{9.51}{6.912} = 1.37$$

$$\frac{\gamma - 1}{2} + \frac{fc28}{100} = \frac{1.37 - 1}{2} + \frac{25}{100} = 0.435 > \alpha = 0.056$$

Donc pas vérification des contraintes à L'ELS.

Vérification de la flèche :

Avant de passer à la vérification de la flèche proprement dit, on doit examiner les conditions de non vérification de la flèche par l'article B.7.5 des règles BAEL comme suit :

$$\begin{cases} h \ge \max\left\{\frac{L}{16}; \frac{M_t L}{10 M_0}\right\} \\ A_s \le \frac{4.2 b d}{f_e} \\ L \le 8.00 m \end{cases}$$

$$\begin{cases} Mt = 26.945 \text{ KNm/ml} \\ M0 = 31.70 \text{ KNm/ml} \\ L = 3.6 \text{ m} \end{cases}$$

$$\begin{cases} h = 30cm > max\left(\frac{L}{16}; \frac{Mt*L}{10M0}\right) = max\left(\frac{360}{16}; \frac{26.945*360}{10*31.70}\right) = max(22.5; 30.6) = 30 \end{cases}$$

$$As = 3.39 \text{ cm}^2 \le \frac{4.2b0*d}{fe} = \frac{4.2*20*27}{400} = 5.67cm^2 \qquad c, v$$

 $L=3.6m \le 8 m c, v$

***** Ferraillage sous sollicitations de torsion :

Calcul de la contrainte tangentiel de torsion :

Selon l'article A.5.4.2 des règles BAEL91 modifiée 99, les contraintes de cisaillement dues à

la torsion pour une section $\tau_{u_T} = \frac{T_u}{2\Omega b_0}$

Avec:

$$b_0 = \frac{a}{6}$$

a : le diamètre du grand cercle inscrit dans le contour extérieur de la section

 Ω : l'aire du contour à mi- épaisseur des parois

 $\mathbf{T_u}$: le moment de torsion ultime, dont 'il est égale à : 6.112KN.m

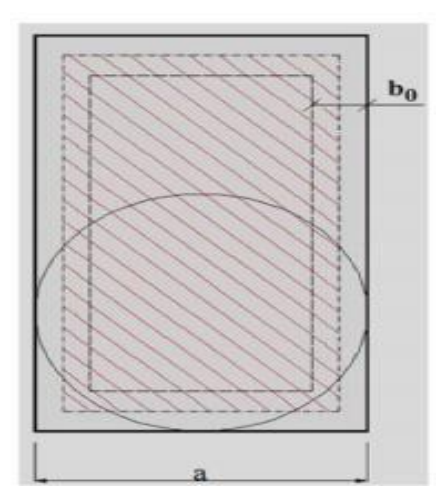


Figure III.8: La section de torsion

Donc:

$$a = 0.20 \text{m} \rightarrow b_0 = \frac{0.20}{6} = 0.033 \text{ m}$$

$$\Omega = (b - b_0)(h - b_0) = (0.20 - 0.033)(0.30 - 0.033) = 0.044 \text{ m}^2$$
 Calcul de moment de torsion à l'E.L.U :

$$c = Vu * 0.1 = 35.226 * 0.1 = 3.522$$

$$M_t = c\frac{1}{2}$$

$$Mt = 3.522 \frac{3.6}{2} = 6.339 \text{ KN. } m$$

$$\tau_{ut} = \frac{6.339*10^3}{2*440*3.3} = 2.18 \text{MPa}$$

Vérification de contraintes tangentielles :

L'article A.5.4.3 des règles BAEL91 recommande de faire la vérification suivante

$$\sqrt{\tau_{u_T}^2 + \tau_{u_V}^2} \le \bar{\tau} = 2.5 \text{ MPa}$$

$$2.27MPa \le 2.5 MPa \qquad \text{c.v}$$

Détermination des armatures de torsion :

Les armatures longitudinales :

Suivant la règle des coutures décrit par l'article A.5.3.1 des règles BAEL91 on à :

$$\frac{\sum A_l}{U} \frac{f_e}{\gamma_s} = \frac{T_u}{2\Omega}$$
Où

 $\Sigma A1$: est la section des armatures longitudinales engendrés par la torsion, et que l'on Note A_s^t

U : le périmètre de l'aire Ω , et qui se calcul comme suit :

$$U = [(b - b_0) + (h - b_0)] \times 2 = [(0.20 - 0.033) + (0.30 - 0.033)] \times 2 = 0.868m$$

Par conséquent on n'aura:

$$A_s^T = \frac{\gamma_s U \, T_u}{2 f_e \Omega} = \frac{1.15 \times 0.868 \times 0.006}{2 \times 400 \times 0.044} = 1.7. \, 10^{-4} \mathrm{m}^2 = 1.7 \, \, \mathrm{cm}^2$$

Description des barres

On adopte pour les armatures longitudinales de torsion : 3T12 avec

$$A_s^T=3.39\ cm^2$$

Les armatures transversales :

Selon la même règle on à :

$$\frac{A_t^T}{s_t}\frac{f_{\theta_t}}{\gamma_g} = \frac{T_u}{2\Omega}$$

$$\rightarrow A_t^T = \frac{\gamma_s \, s_t \, T_u}{2 f_{e_t} \Omega} = \frac{1.15 \times 0.15 \times 0.006}{2 \times 235 \times 0.006} = 5 \, \, 10^{-4} \mathrm{m}^2 = 0.5 \, \, \mathrm{cm}^2$$

❖ Ferraillage totale :

La poutre palier, on doit superposer les deux ferraillages de flexion et de torsion :

Armatures longitudinales:

En travée:

$$A_{\text{S}}^{\text{trav\'ee}} = A_{\text{s}}^{\text{flexion}} + A_{\text{s}}^{\text{torsion}} = 3T12 + 3T12 = 6.78 \text{ cm}^2$$

Sur appuis:

Armatures transversales:

$$\begin{split} A_S^{appuis} &= A_s^{flexion} + A_s^{torsion} = 3T12 + 3T12 = 6.78 \text{ cm}^2 \\ A_t &= A_t^{flexion} + A_t^{torsion} = 0.9 + 0.5 = 1.4 \text{cm}^2 \end{split}$$

On adopte alors pour les armatures transversales 5T8 avec At.= 2.51 cm², un cadre et une épingle de 8.

❖ Vérification au ferraillage minimale (Torsion-flexion)

Sur appuis:

On doit vérifier que :

$$\frac{A_g f_e}{b_0 U} \geq 0.4 MPa$$

En travée:

$$\begin{split} & \rightarrow \frac{A_8 f_e}{b_0 U} = \frac{6.78 \times 10^{-4} \times 400}{0.033 \times 0.868} = 9.46 MPa > 0.4 \ MPa \\ & \rightarrow \frac{A_8 f_e}{b_0 U} = \frac{6.78 \times 10^{-4} \times 400}{0.033 \times 0.868} = 9.46 \ MPa > 0.4 \ MPa \end{split}$$

Armatures transversales:

On doit vérifier que :

$$\begin{split} &\frac{A_t f_{e_t}}{b_0 s_t} \geq 0.4 \text{ MPa,} \\ &\rightarrow \frac{A_t f_{e_t}}{b_0 s_t} = \frac{2.51 \times 10^{-4} \times 235}{0.033 \times 0.15} = 11.916 \text{MPa} \geq 0.4 \text{ MPa} \end{split}$$

❖ Schéma de ferraillage :

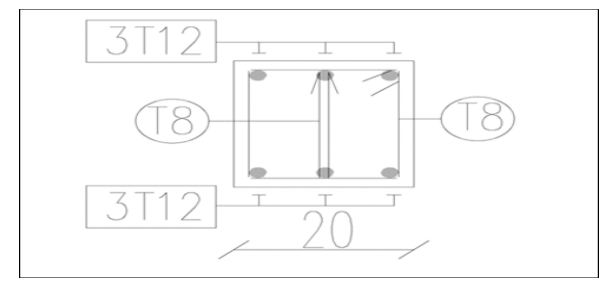


Figure III.9 : Schéma de ferraillage de la poutre palier

III.5 Calcul des escaliers :

Méthode de calcul de l'escalier :

L'escalier est calculé comme une poutre à section rectangulaire travaillant à la flexion Simple. Le calcul des armatures se fait sur une bande de 1 m de longueur.

Hypothèses de calcul:

Les escaliers sont à l'abri des intempéries, donc la fissuration sera considérée comme peu nuisible.

L'ensemble volée-palier sera considéré comme une poutre simplement fléchie de largeur unitaire, et bi-articulée à ses deux extrémités pour le calcul du moment de la travée isostatique. Ce moment sera ventilé en travée et sur appuis par des coefficients de continuité qui tient compte de l'effet d'encastrement aux extrémités de cette poutre.

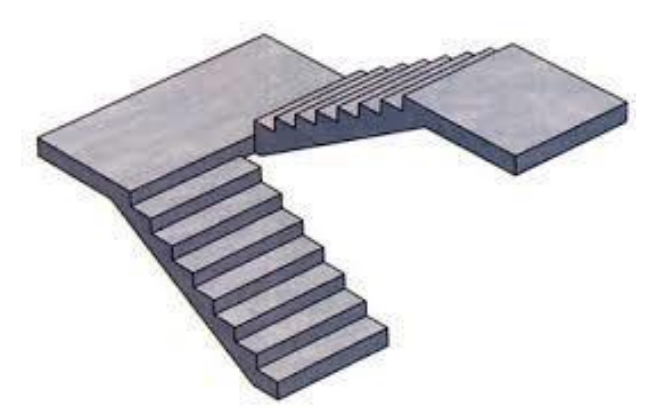


Figure III.10: Les comptants des escaliers

> Combinaison des charges :

Tableau III.1 Les Combinaison des charges d'escaliers

	Volée (KN /m²)	Palier (KN/m ²)
Charge permanent (G)	8.62	4.75
Charge d'explantation(Q)	2.5	2.5

Zone volée:

ELU: $Nu = 1.35G + 1.5Q = 15.39KN/m^2$

ELS: $Ns=G+Q=11.12KN/m^2$

Zone palier:

ELU: $Nu=1.35G+1.5Q=10.16KN/m^2$

ELS: $Ns=G+Q=7.25KN/m^2$

Mur extérieurs:

 $G=1.75KN/m^2$

ELU: $Nu=1.35G=1.35x1.75x (3.74-0.15) = 8.48 \text{ KN/m}^2$

ELS: $Ns=G=1.75x (3.74-0.15) = 6.28 \text{ KN/m}^2$

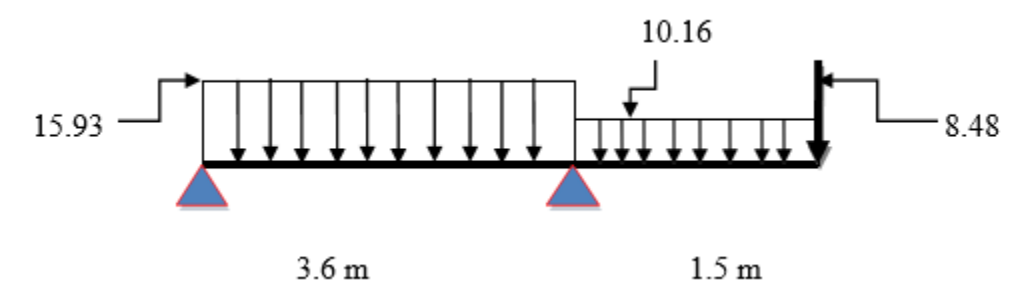


Figure III.11 : Schéma statique des escaliers

> Calcul des sollicitations :

ELU:

En utilisant le formulaire de calcul des poutres de Henry Thonier (conception et calcul des structures de bâtiment tome1). En tenant en considération l'effet de l'encastrement aux extrémités, et selon l'article A.8.2, 32 des règles BAEL91mod99, on aura comme moments :(M travée =0.8M0; M appui =-0.3M0)

Les réactions :

RA+ RB=15.39x3.60+10.16x1.5+8.48

RA+ RB=79.12

$$\sum M/A = 0$$
 ====> $\frac{15.39* 3.6^2}{2}$ - RB 3.60+ (10.16x1.5x4.35) +8.48x5.1 =209.269-RB.3.6

RB=58.13KN

Donc:

RA=79.12-58.13= 20.99 KN

> Calcul les moments fléchissant et les efforts tranchants :

Nous procédons par la méthode des sections, car la poutre est soumise des chargements différents

Effort tranchant:

$$\begin{cases} v(0) = 20.99 \\ M(3.6) = -34.41 \text{ KN. m} \end{cases}$$

Coupe 1-1: $0 \le x \le 3.60$

 $\sum F/y=0$ -15.39x+20.99=0

Coupe 2-2: $0 \le x \le 1.5$

$$\sum \mathbf{F}/\mathbf{y} = \mathbf{0}$$
 10.16x+8.48=0 $\begin{cases} V(0) = 8.48 \text{ KN} \\ V(1.50) = 23.72 \text{KN} \end{cases}$

Moment fléchissant :

Coupe 1-1: $0 \le x \le 3.60$

$$\sum \mathbf{M} = 0$$
 $\frac{-15.39x^2}{2} + 20.99 x = 0$ $\begin{cases} M(0) = 0 \text{ KN. m} \\ M(3.6) = -24.15 \text{ KN. m} \end{cases}$

Coupe 2-2: $0 \le x \le 1.5$

$$\sum \mathbf{M} = 0$$
 $\frac{-10.16X^2}{2} - 8.48X = 0$ $\begin{cases} M(0) = 0 \text{ KN. m} \\ M(1.5) = -24.16 \text{ KN. m} \end{cases}$

On a dans la coupe : $0 \le x \le 3.60$ avec x0=1.35 le moment max :

 M_0 (1.35) =14.31 KN. m = M_{ax}

Selon l'article A.8.2des règles BAEL91mod99, on aura comme moments :

Le moment en travée :

 $M_t = 0.85 \text{ Mo} = 0.85 \text{x} 14.31 = 12.16 \text{ KN}. \text{ M}$

Le moment sur appui Ma = -0.3 Mo = -0.3 x 14.31 = -4.29 KN .m

ELS:

Les réactions :

 $R_A=15.14 \text{ KN}$

 $R_B = 42.05 \text{ KN}$

Coupe 1-1: $0 \le x \le 3.60$

Tableau III.2 Coupe 1—1 des Escaliers

Effort tranchant (KN)	Moment fléchissant(KNm)
V(0)=15.14	M(0)=0
V (3.6)=-24.89	M (3.6)=-17.55

Tableau Coupe 1—1 des Escaliers

Coupe 2-2: $0 \le x \le 1.5$

Tableau III.3 Coupe 2—2 des Escaliers

Effort tranchant(KN)	Moment fléchissant (KNm)
V(0)=6.28	M(0)=0
V (1.5)=17.15	M (1.5)=-17.55

On a dans la coupe : $0 \le x \le 3.60$ avec x0=1.35 le moment max :

 $M_0 = 10.30 \text{ KN .m}$

Selon l'article A.8.2des règles BAEL91mod99, on aura comme moments :

Le moment en travée :

Mt=0.85x10.33=8.76 KN. M

Le moment sur appui:

Ma = -0.3x10.30 = -3.09 KN. M

Les diagrammes :

ELU:

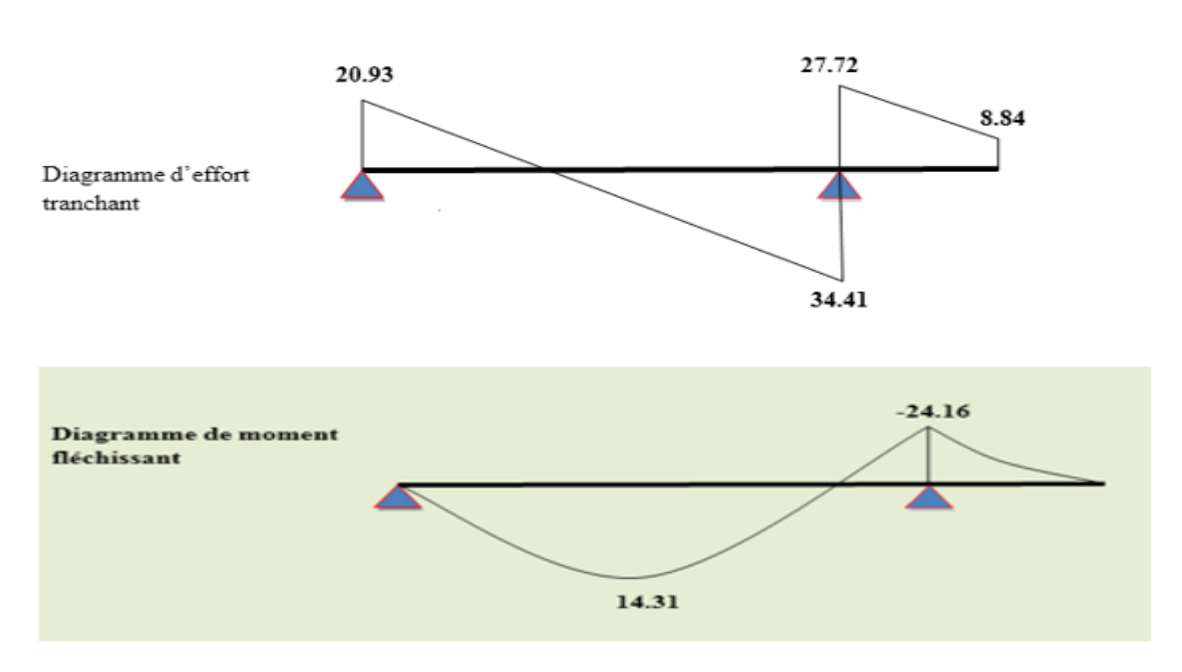


Figure III.12 : Diagramme des efforts tranchants et moment fléchissant

ELS:

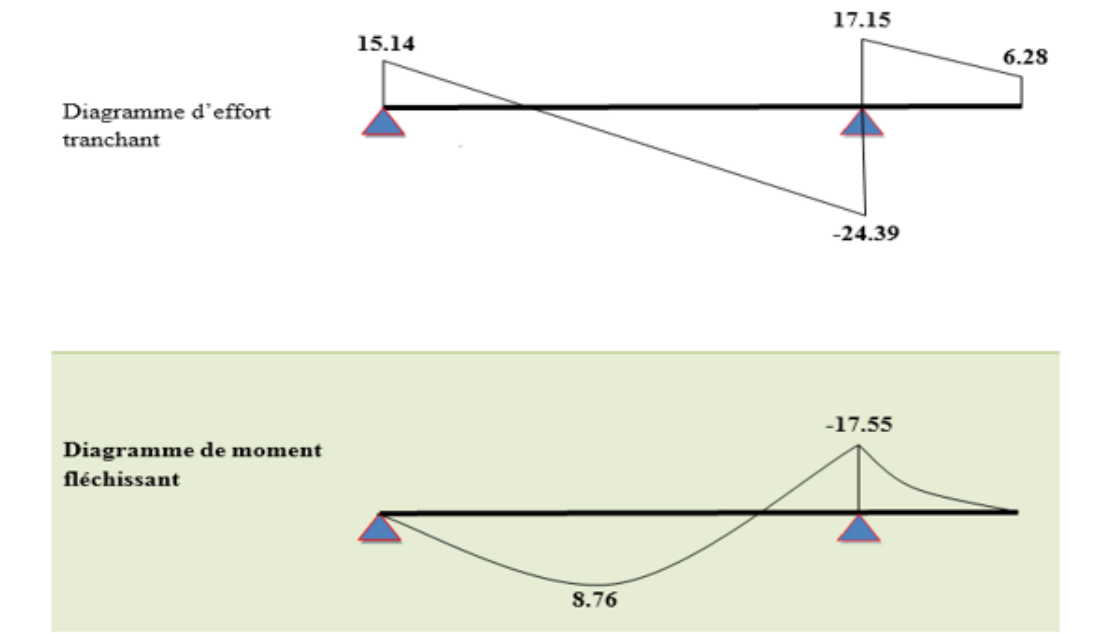


Figure III.13 : Diagramme des efforts tranchants et moment fléchissant

❖ Le Ferraillage a ELU:

Le calcul se fait pour une bande de 1m (voir figure ci-après) :

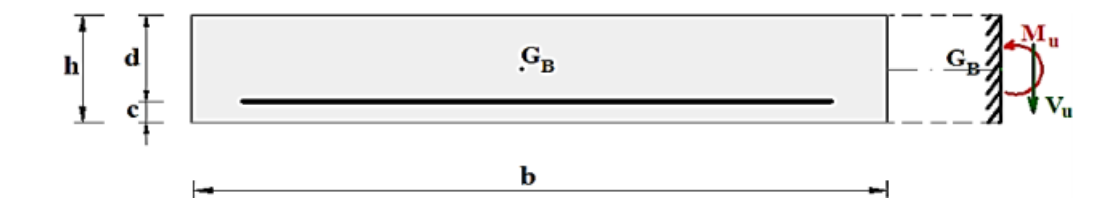


Figure III.14: Les dimensions de ferraillage pour 1 bande

Avec: h = 15cm; b = 100cm; d = 13cm

Ferraillage En travée :

Mtu=12.16kn/ml et Mt.ser = 8.76 KN/ml

Calcul le moment limite :

$$x = \frac{Mu}{Mser} = \frac{12.16}{8.76} = 1.38$$
On a: $f_e E 400$ et $f_{c28} = 25 Mpa$
 $\mu l = 0.341.x - 0.1776 = 0.292$

Calcul le moment réduit (µ) :

$$\mu = \frac{M_t}{b.d^2.\sigma_{bc}} = \frac{12.16x10^6}{1000x130^2x14.2} = 0.051 \le 0.292 \ A'_s=0$$

$$\alpha = 1.25 \ (1 - \sqrt{1 - 2.\mu}) = 0.065$$

$$\beta = 1 - 0.4\alpha = 0.97$$

$$A_s = \frac{12.16x10^6}{0.97x130x348} = 277 \ mm^2 = 2.77cm^2$$

Ferraillage minimal

Le ferraillage minimal imposé par la règle de millième et la règle de condition de non-fragilité :

Amin
$$\geq \max\left(\frac{bh}{1000}; 0.23bd\frac{ft28}{fe}\right) = = = > Amin \geq 1.57cm^2$$

As = max (1.57; 2.77) = 2.77cm²

Ferraillage En appui:

Tableau III.4 Ferraillage En appui D'escaliers

M(KN/ml)	b(cm)	d(cm)	μ	α	β	As (cm2)	As.min(cm2
24.16	100	130	0.101	0.133	0.95	5.62	1.57

Alors après la consultation de l'enseignant on a adopté le ferraillage de appuis et le même on

travée : $As = 5.65cm^2 = 5HA12$.

L'espacement ci :

Selon le BAEL91 mode 99 article 14.II.3 :

 $\mathbf{St} \le \min (3h; 33 \text{ cm}).$

 $St \le min (45; 33) = 33cm$

St=20 cm

Les Armatures de répartition :

Selon le BAEL91 mod99 article 14.II.2 :

$$Ar \ge \frac{As}{4} = \frac{5.65}{4} = 1.41 \text{cm}^2$$

Donc on a adopté : 4HA8 ; **As.a**= 2.01 **cm2**

L'espacement ci : St=25cm

Vérification à l'effort tranchant à ELU :

Selon le BAEL91 modifié99 chapitre 13. III.2.1.

On doit vérifier la condition ci-après :

$$\tau u \leq r$$

La fissuration est considérée comme non préjudiciable :

$$\bar{r}u = \min\left(\frac{0.2fc28}{\gamma b}; 5MPa\right) = \min(3.33 \text{ Mpa}; 5Mpa); \bar{r}u = 3.33 \text{ MPa}$$

$$\tau_u = \frac{Vu}{b.d} = \frac{34.41*10^3}{1*0.13} = 0.264 \text{MPa}$$

$$\tau_{\rm u} < \bar{\tau}_{\rm u}$$
 c.v

Vérification des contraintes à l'ELS:

On doit vérifier que :

$$\sigma_{bc} \le \bar{\sigma}_{bc}$$
 ; $\bar{\sigma}_{bc} = 0.6 fc28 = 15 Mpa$

$$\sigma_{s} \le \bar{\sigma}_{s} : \bar{\sigma}_{s} = Fe = 400 MPA$$

Et on l'a contrainte du béton donne par la relation suivant :

$$\sigma_{bc} = \frac{Mser}{I} y$$

En travée:

On a: Mser= 8.76 KN.m/ml; As = 2.77 cm^2

$$\frac{by^2}{2} - \eta$$
. As. $(d - y) = 0$

Avec:

 $\eta = 15$ (d'après le BAEL).

$$50. y2 + 41.55y1 - 540.15 = 0$$

D'après la résolution d'équation on a trouvé deux solution : y1 < 0 rjt ; y2 = 2.90cm

Le moment d'inertie :

$$I = \frac{by^3}{3} + \eta$$
. As. $(d - y) 2$

$$I = 5051.48 \ cm^4$$

Alors:

$$\sigma_{bc} = \frac{8.76*10^6}{5051.48*10^4} .29 = 5.029 \text{ Mpa} < \overline{\sigma}bc = 15 \text{ MPa}$$
 C. V

$$\sigma s = 15.\frac{Mser}{I}$$
. $(d - y1) = 262.72Mpa < \overline{\sigma} s = 240Mpa$ C.V

En Appuis:

On a: Mser= 3.09 KN.m/ml; As = 5.65cm^2

50.
$$y$$
2 + 84.75. y - 1101.75 = 0

D'après la résolution d'équation on a trouvé deux solution : y1 < 0 rjt ; y2 = 3.92cm

Le moment d'inertie :

$$I = \frac{b \cdot y^3}{3} + \eta$$
. As. $(d - y) 2$

I=8995.21 cm4

Alors:

$$\sigma bc = 1.34 \ MPa < \sigma_{bc} = 15 \ Mpa$$
 C.V
 $\sigma_{S} = 46.78 \ MPa < \overline{\sigma_{S}} = 240 \ Mpa$ C.V

On peut dire que le ferraillage adopté à l'ELU, est valable à l'ELS.

❖ Vérification de la flèche à l'ELS :

Avant de passer directement à la vérification de la flèche, il faut qu'on examine d'abord les conditions qui nous dispensent de cette vérification. Ces conditions sont :

$$\begin{cases} H \geq \max\left(\frac{L}{16}; \frac{MtL}{10M0}\right) \\ L \leq 8 m \\ As \leq \frac{4.2b0d}{fe} \end{cases}$$

Application numérique :

$$\begin{cases} H = 15cm \ge \max\left(\frac{360}{16}; \frac{8.76*360}{10*10.30}\right)(22.5; 30.61) = 30.61 cm & \textbf{c. n. v} \\ L = 3.6 \le 8m & \text{C. V} \\ As = 2.77 \le \frac{4.2*100*15}{400} = 15.75 & \text{C. V} \end{cases}$$

Puisque la première condition est non vérifiée, donc on doit faire une vérification de la flèche comme suit, en examinant la condition suivante :

$$\Delta f = (fgv - fji) + (fpi - fgi) \leq \mathbf{f}$$

Avec:

fgv et fgi: la flèche de l'ensemble des charges permanentes (instantanées ou différées).

fji: La flèche de l'ensemble des charges permanentes avant la mise en œuvre des charges.

fpi : La flèche de l'ensemble des charges permanentes et surcharge d'exploitation. Pour un porté < 5 m, la flèche admissible :

$$f = \frac{L}{500} = \frac{360}{500} = 0.72cm$$

Position de l'axe neutre :

$$\frac{by^2}{2} + 15 \text{As.} y - 15. \text{As.} d = 0$$

Après résolution de cette équation on trouve que : y = 2.90 cm.

Le moment d'inertie de la section :

$$I = \frac{by^3}{3} + 15$$
. As $(d - y)^2$

Après résolution de cette équation on trouve que : I=5051.48 cm2

Calcul du moment d'inertie de la section totale rendue homogène (I₀):

$$I_0 = \frac{bh^2}{12} + 15\left(As.\left(\frac{h}{2} - d\right)^2 + As\left(\frac{h}{2} - d\right)^2\right)$$

$$A's = 0 === > Donc : d'' = 0$$

Donc la solution ci:

I0=29381.89 cm²

Calcul du facteur(λ):

$$\lambda i = \frac{0.005 ft28}{\rho(2+3\frac{b0}{h})}$$
 avec $\rho = \frac{As}{bd}$ Pour les charges a courte durée d'application

 $\lambda v=0.4\lambda i$ Pour les charges a longue durée d'application

Donc:

$$\rho = \frac{As}{bd} = \frac{2.77}{100*13} = 2.13x10-3$$

$$\lambda \mathbf{i} = \frac{0.005*2.1}{2.13*10^{-3}*5} = 9.86$$

$$\lambda v = 0.4*9.86 = 3.94$$

Calcul des moments :

Le moment dû à l'ensemble des charges permanentes (Mg):

$$Mg = \left(\frac{GpL^2}{8}\right) = 8.62 * \frac{3.6^2}{8} = 13.96 \text{ KN. m}$$

Le moment dû aux charges permanentes appliquées à la mise en œuvre des revêtements (Mj) :

$$Mj = \left(\frac{JL^2}{8}\right) = \frac{8.22*3.6^2}{8} = 13.31 \text{ KN. m}$$

Le moment dû à l'ensemble des charges permanentes et d'exploitation : Mp = Mtser = 8.76KN.m

Calcul des contraintes :

$$\sigma sg = \frac{15.Mg}{I}. (d - y) = 41.86Mpa$$

$$\sigma sj = 39.91Mpa$$

$$\sigma sp = 26.27Mpa$$

Calcul des paramètres (µ) :

$$\mu = 1 - \frac{1.75 ft28}{4 \rho \sigma s + ft28}$$

$$\mu g = -0.49 < 0$$

$$\mu j = -0.66 < 0$$

$$\mu p = -0.68 < 0$$

Calcul de l'inertie fissuré:

$$If = \frac{1.1 l0}{1 + \lambda \mu}$$

On a: $\mu=0$

$$If = 3.23x10-4m4$$

Calcul des flèches:

$$f_{gv} = \frac{M_g.\,l^2}{10E_v I_{fgv}} = \frac{13.96\,x\,10^{-3}\,x\,3.6^2}{10\,x\,10818.87\,x\,3.23\,x\,3.23^{-4}} = 0.005 m$$

$$fgi = 0.001 \ m$$

$$fji = 0.002 m$$

$$fpi = 0.001 \ m$$

$$\Delta ft = (fgv - fji) + (fpi - fgi) \le \overline{f}$$

$$\Delta ft = 0.003 \text{m} < \overline{f} = 0.0072 \text{m C.V}$$

Dans la console:

$$\begin{aligned} \text{Mt}_{\text{ser}} &= \frac{qs.L^2}{2} + \textit{qs.mur}. \; \textit{L} = \frac{7.25*1.35^2}{2} + \textit{6}. \; \textit{28 x 1}. \; \textit{35} = \textit{15}. \; \textit{08 KN}. \; \textit{m} \\ \text{H} &= 15 \text{cm} \geq \left(\frac{135}{16}; \; \frac{15.08*1.35}{10*17.55}\right); \; (8.43 \text{cm}; 116 \text{cm}) \quad \text{C.V} \\ \text{AS} &= 2.77 \text{cm} 2 \leq \frac{4.2*100*15}{400} = 15.75 \text{cm}^2 \qquad \qquad \text{C.V} \\ \text{L} &= 1.35 \; \text{m} < 8 \; \text{m} \end{aligned}$$

Les conditions sont vérifiées, le calcul de la flèche n'est pas nécessaire.

Schéma de ferraillage :

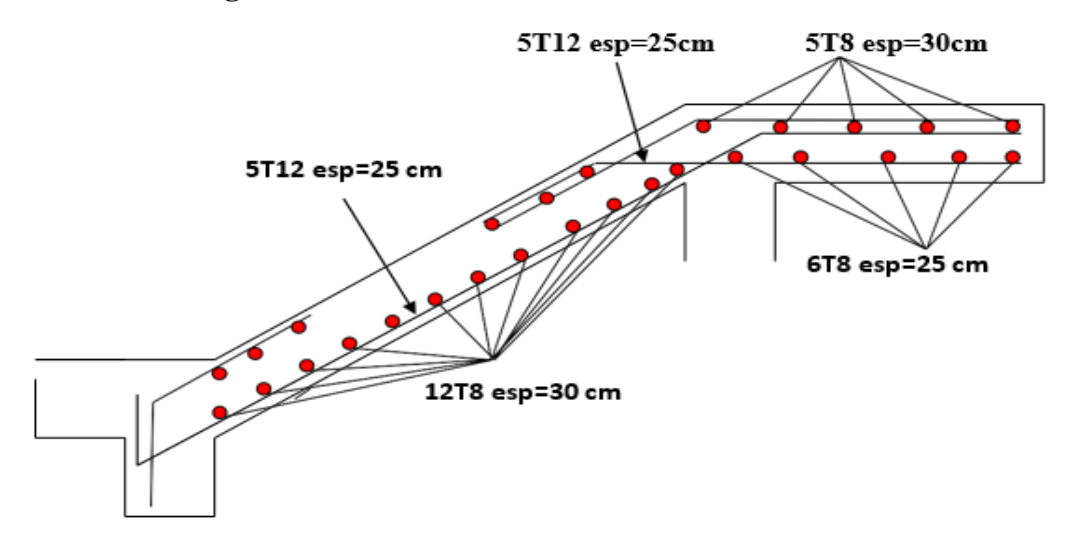


Figure III.15 : Schéma de ferraillage des escaliers

III.6 Etude des planchers :

Un plancher d'habitation est une aire généralement plane (horizontale) séparant deux niveaux, destinée à limitée les revêtements de sol et il assure les fonctions principales suivantes :

Fonction de résistance mécanique où il doit supporter son poids propre et les surcharges.

Fonction d'isolation thermique et phonique qui peut être assurée complémentairement par un faux plafond ou revêtement de sol approprie.

Transmet les charges verticales aux éléments porteurs et repartit les charges horizontales au système de contreventement qui assure la compatibilité des déplacements horizontaux (plancher infiniment rigide).

Le choix du plancher à corps creux est favorable pour les bâtiments à usage d'habitation car il

répond aux conditions suivantes :

Facilité et rapidité d'exécution.

Plus légère que la dalle pleine.

Economie.

Sur le plan sécuritaire, il offre une bonne résistance au feu.

Etude des poutrelles :

Plancher 16+4

Dimensionnement des poutrelles :

Hauteur de là de la poutrelle : h=20cm

L'épaisseur du corps creux : e=16cm

Epaisseur de la dalle de compression : =4cm

La largeur de la poutrelle :

b = b0 + 2 c1 avec : b0 = 12 cm

Le corps Creux utilisé pour ce plancher : dc = 53 cm

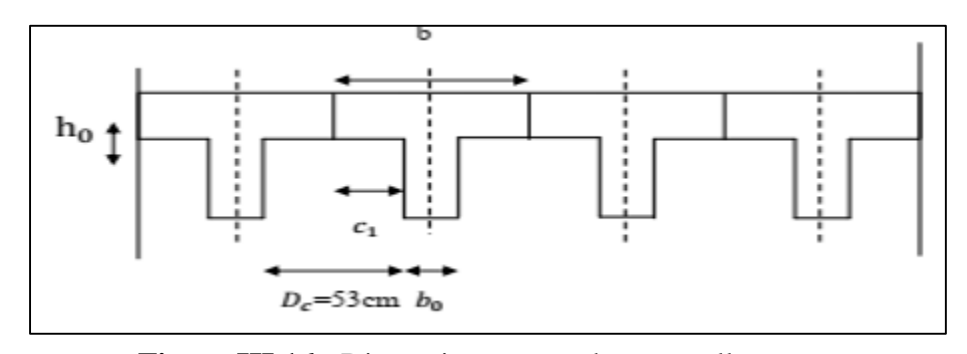


Figure III.16: Dimensionnement des poutrelles

Evaluation des charges

Plancher terrasse:

 $G=5.976 \text{ KN/m}^2$ $Q=1 \text{KN/m}^2$

Plancher étage courant :

 $G=5.8 \text{ KN/m } Q=1.5 \text{KN/m}^2$

On calcule le plancher le plus défavorable et on généralisé le ferraillage pour les autres

Planchers des différents niveaux :

Le cas le plus défavorable c'est le cas de terrasse : G=5.976 KN/m² et Q=1 KN/m²

Choix de la méthode de calcul:

Pour le calcul des efforts internes dans les poutrelles sont considérées comme poutres

Continues sur plusieurs appuis, on utilise l'une des 02 méthodes simplifiées.

La méthode forfaitaire.

La méthode de Caquot.

Méthode forfaitaire:

Cette méthode est applicable si les quatre hypothèses suivantes sont vérifiées :

 $Q \le max (2G; 5 KN/m^2)$

Les moments d'inerties des sections transversales sont les mêmes dans les différents Travées.

Le rapport de longueur entre deux portées successives doit vérifier :

$$\begin{cases} 0.8 \leq \frac{l_n}{l_{n+1}} \leq 1.25 \\ 0.8 \leq \frac{l_n}{l_{n-1}} \leq 1.25 \end{cases}$$

Fissuration peu nuisible.

Si l'une des conditions vérifiée la méthode forfaitaire applicable

Application:

Plancher terrasse

 $Q = 1 \text{ KN/m}^2 < 2G = 11.952 \text{ KN/m}^2$ condition vérifié.

Plancher Etage courant

Q=1.5 KN/m²< 2G=11.6KN/m² condition vérifié.

Les moments d'inerties des sections transversales sont les mêmes dans les différentes travées.

La fissuration est peu préjudiciable

$$4) \begin{cases} 0.8 \leq \frac{l_n}{l_{n+1}} \leq 1.25 & \Leftrightarrow 0.8 \leq 1.22 \leq 1.25 \\ 0.8 \leq \frac{l_n}{l_{n-1}} \leq 1.25 & \Leftrightarrow 0.8 \leq 0.81 \leq 1.25 \end{cases} condition vérifier$$

Remarque : les conditions d'application sont vérifiées on utilise la méthode forfaitaire

❖ Méthode forfaitaire

Application de la méthode :

 α : Le rapport des charges d'exploitation à la somme des charges permanent et d'exploitation ; en valeur non pondérées :

$$\alpha = Q / G + Q.$$

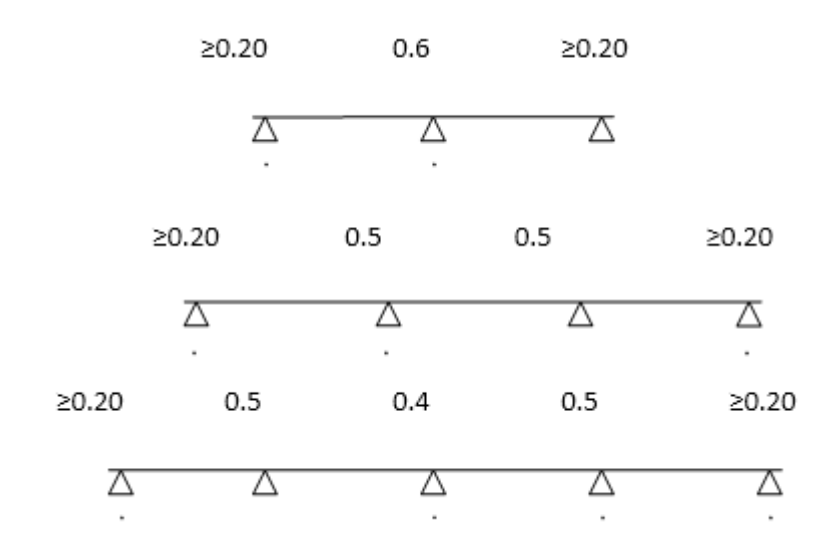
M0 : La valeur maximale du moment fléchissant dans la travée de compression, avec : $M0 = \frac{ql^2}{8}$

Mw, Me: Sont des moments sur appuis.

Mt: Moment sur travée avec:

- $Mt \ge max \{1.05. M0; (1+0.3 \alpha).M0 (Mw + Me) / 2\}.$
- Mt \ge (1 +0.3 α).M0 / 2 : dans une travée intermédiaire.
- Mt \geq (1.2+0.3 α).M0 / 2 : dans une travée de rive.

Le moment sur appuis à corde de nombre de travées



Calcul de M₀:

E.L.U:

$$M_{0u} = \frac{Pu.l^2}{8}$$

E.L.S:

$$M_{0s} = \frac{Ps.l^2}{8}$$

Calcul de l'effort tranchant isostatique :

E.L.U:

$$T_{0u} = \frac{\mathit{Pu.l}}{2}$$

E.L.S:

$$T_{0s} = \frac{Ps.l}{2}$$

L'effort tranchant:

$$V_1 = T_0 + (Me-MW) / 1.$$

$$V^2 = -T^0 + (Me-MW)/1$$

Plancher terrasse:

Charge permanentes : $G = 5.976 \text{KN} / \text{m}^2$.

Charge d'exploitations $Q = 1 \text{ KN /m}^2$.

Charges sur 0.65 m (distances entre poutrelles):

$$G = 5.976 \times 0.65 = 3.884 \text{KN/ml}.$$

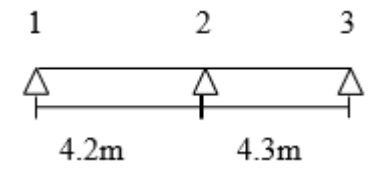
$$Q = 1 \times 0.65 = 0.65 \text{ KN/ml}.$$

Calcul statique:

E.L.U :
$$Pu = 1.35 \times 3.884 + 1.5 \times 0.65 = 5.568 \text{ KN / ml}.$$

E.L.S:
$$Pu = 3.884 + 0.65 = 4.534 \text{ KN / ml}$$

❖ Plancher 1^{er} type :



ELU:

$$\alpha = \frac{Q}{G+Q} = \frac{0.65}{3.884 + 0.65} = 0.14$$

$$1+0.3 \alpha = 1+0.3 \times 0.14 = 1.04$$

Max
$$(1.05; 1 + 0.3\alpha) = 1.05$$

❖ Calcul les moments en travée et sur appuis à l'ELU.

> Moment isostatique :

Travée01:

$$M01 = \frac{qul^2}{8} = \frac{5.568*4.2^2}{8} = 12.277 \ KN.m$$

Travée02:

$$M02 = \frac{qul^2}{8} = \frac{5.568*4.3^2}{8} = 12.869 \ KN.m$$

> Les moments des appuis :

Appui A:
$$MaA = 0.2 \times M0 = 0.2 \times 12.277 = 2.455$$

Appui B:
$$MaB = 0.6 \times max(M01; M02) = 0.6 \times 12.869 = 7.721$$

Appui C:
$$MaC = 0.2 \times M02 = 0.2 \times 12.869 = 2.573$$

> Les moments de la travée :

Travée de rive AB:

$$Mt \ge (1.2+0.3 \alpha).M0/2$$

$$Mt \ge (1.2 + (0.3 \times 0.14)).12.277/2 = 7.624$$

$$Mt \ge max \{1.05. M0 ; (1+0.3 \alpha).M0 - (MW + Me) / 2\}.$$

$$Mt \ge max \{12.890; 7.887\} = 12.890$$

Travée de rive BC:

 $Mt \ge (1.2+0.3 \alpha).M0/2$

 $Mt \ge (1.2 + (0.3 \times 0.14)).12.869/2 = 7.991$

 $Mt \ge max \{1.05. M0; (1+0.3 \alpha).M0 - (MW + Me) / 2\}.$

 $Mt \ge max \{13.512; 8.26\} = 13.512$

Tableau III.5: Les valeurs des moments en travée et sur appuis à l'ELU

Travée	01		02		
L (m)	4.2		4.3		
M0u(N.m)	12.277	12.869			
Appui	01	()2	03	
Coef. Forfaitaire	0.20	C	0.6	0.20	
MA (KN.m)	2.455	7.3		2.573	
Mt (KN.m) (c.1)	12.89		13.512		
Mt (T.de rive)	7.624	7.991			
Mt (resultant)	12.98		13.512		

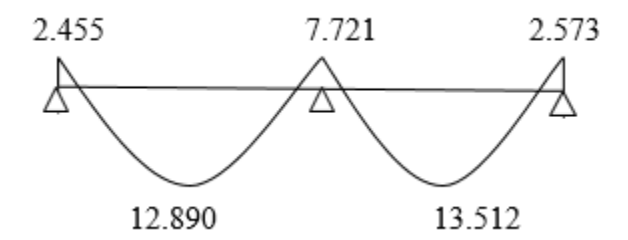


Figure III.17 : Diagramme les moments en travée et sur appuis à l'ELU

❖ Calcul de l'effort tranchant

E.L.U:

$$T_u = \frac{Pu.l}{2} = 11.962 \text{ KN}$$

E.L.S:

$$T_s = \frac{Ps.l}{2} = 9.521 \text{ KN}$$

$$V_1 = T_0 + (Me - MW)/1$$

$$V_2 = -T_0 + (Me-Mw)$$

Tableau III.6: Les valeurs de l'effort tranchant sur appuis à l'ELU

Section	Me (KN.m)	Mw (KN.m)	$T_0(KN)$	L(m)	$V_1(KN)$	$V_2(KN)$
1-2	2.455	7.366	11.692	4.2	14.030	-16.603
2-3	2.573	7.721	9.521	4.3	8.323	-14.669



Figure III.18: Diagramme des efforts tranchants a ELU

❖ Calcul les moments en travée et sur appuis à l'ELS.

> Moment isostatique :

$$M_{01} = \frac{qsl^2}{8} = \frac{4.534*4.2^2}{8} = 9.997 \text{ KN. m}$$

Travée02:

$$M_{02} = \frac{qsl^2}{8} = \frac{9.534*4.3^2}{8} = 10.479KN.m$$

Les moments des appuis :

Appui A : Maa = $0.2 \times M_0 = 2$

Appui B: $Mab = 0.6 \times max(M01; M02) = 6.287$

Appui C: $MaC = 0.2 \times M_{02} = 2.095$

Les moments de la travée :

Travée de rive AB:

 $Mt \ge (1.2+0.3 \alpha).M_0/2$

 $Mt \ge 6.208$

 $Mt \ge max \{1.05. M_0 ; (1 + 0.3 \alpha).M_0 - (MW + Me) / 2\}.$

 $Mt \ge max \{10.496; 6.420\} = 10.496$

Travée de rive AB:

 $Mt \ge (1.2+0.3 \alpha).M_0/2$

 $Mt \ge 6.907$

 $Mt \ge max \{1.05. M_0 ; (1 +0.3 \alpha).M_0 - (MW + Me) / 2\}.$

 $Mt \ge max \{11.002 ; 6.727\} = 11.002$

Tableau III.7: Les valeurs des moments en travée et sur appuis à l'ELS

Travée	1	2
L (m)	4.2	4.3
$M_{0u} = Ps.L_2 / 8(KN.m)$	9.997	10.479

Appui	1		2	3
Coef. Forfaitaire	0.20	().6	0.20
MA (KN.m)	1.994	5.	998	2.095
Mt (KN.m)	10.496		11	.002
Mt (T.de rive)	6.208		6.507	
Mt (resultant)	10.496		11.002	

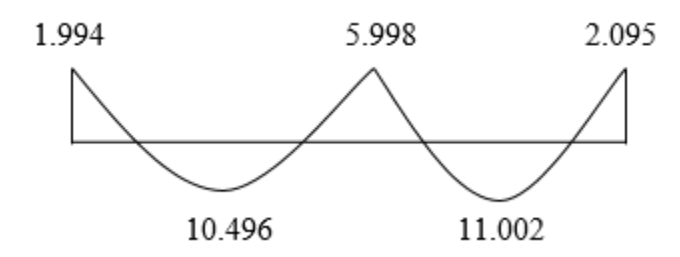


Figure III.19: Diagramme les moments en travée et sur appuis à l'ELS

Calcul de l'effort tranchant

E.L.U:

$$T_u = \frac{Pu.l}{2} = 9.521KN$$

E.L.S:

$$T_S = \frac{P_{S.l}}{2} = 9.748 \text{ KN}$$

$$V_1 = T_0 + (Me - MW)/1$$

$$V_2 = -T_0 + (Me-MW)$$

Tableau III.8: Les valeurs de l'effort tranchant sur appuis à l'ELS

Section	Me(KN.m)	Mw(KN.m)	T0(KN)	L(m)	$V_1(KN)$	$V_2(KN)$
1-2	1.994	5.998	9.521	4.2	8.567	-10.474
2-3	2.095	6.287	9.748	4.3	8.773	-10.722

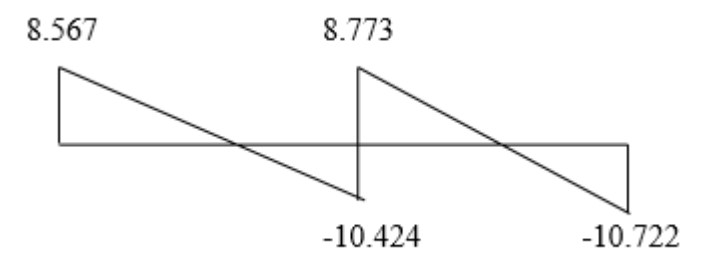


Figure III.20: Diagramme des efforts tranchants a ELS

Calcul des armatures longitudinales :

Tableau III.9: Récapitulatif des résultats.

M _{au} (max) (KN.m)	M _{tu} (max) (KN.m)	V (max) (KN)
7.366	13.512	-16.603

$$b = 0.65 \text{ m}$$
; $b_0 = 0.1 \text{ m}$; $h_0 = 0.04 \text{ m}$; $h = 0.2 \text{ m}$; $d = 0.9 \text{h} = 0.18 \text{ m}$

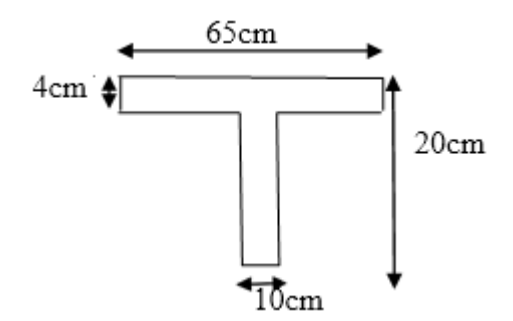


Figure III.21 : Coffrage de la poutrelle

D'après l'organigramme de la flexion simple nous trouverons les résultats suivants :

❖ Moment de référence :

En travée:

Les calculs des armatures s'effectuent comme une poutre de section en T Le moment équilibré par la table de compression :

$$\begin{split} \text{Mtab} &= \text{.} \ \text{h}_0 \left(d - \frac{\text{h}_0}{2} \right) \\ &= \text{065} \times \text{0.04} \times \text{14.2} \times \left(\text{0.18} - \frac{\text{0.04}}{2} \right) \text{10}^3 = \text{59.07KN.} \ \text{m} \end{split}$$

$$\mu_{\text{bu}} = \frac{Mu}{b \cdot d^2 \cdot fbu} = \frac{13.512 \times 10^{-3}}{0.65 \times 0.18^2 \times 14.2} = 0.045$$

$$\mu_{\text{T.}} = 0.302$$

$$\mu_{\text{bu}} < \mu_{\text{L}} A_{\text{s}}' = 0 \ \text{(pas d'armaturecomprimée)}$$

$$\alpha = 1.25 \times (1 - \sqrt{1 - 2\mu_{bu}})$$

 $\alpha = 1.25 \times (1 - \sqrt{1 - 2 * 0.045}) = 0.057$

$$Z_b = 0.18(1 - 0.4 * 0.057) = 0.17m$$

$$Z_b = d \times (1 - 0.4\alpha)$$

 $A = \frac{Mu}{Zb*fed} = \frac{13.512*10}{0.17*348} = 2.28 \text{ cm}^2$

Soit: $3HA12/ml = 3.39cm^2$ $Au = 3.39 cm^2$

❖ Condition de non fragilité :(Art. A.4.2.1/BAEL91modifiés 99)

$$A_{min} = 0.23$$
. b. d. $\frac{f_{t28}}{f_{\theta}}$, $f_{t28} = 2.1$ MPa
 $A_{min} = 0.23(65 \times 18) \times \frac{2.1}{400} = 1.41$ cm²

On remarque que :
$$A_{min} < A_u = 3.39 \text{cm}^2$$

> Sur appuis :

La table entièrement tendue donc la section à considérer pour le calcul est une section

Rectangulaire (b × h) = (10×20) cm2.

$$\mu$$
bu = $\frac{Mu}{.b.d^2.fbu}$ = $\frac{7.366*10^{-3}}{0.1*0.18^2*14.2}$ = 0.16

$$\alpha = 1.25 \text{ x} (1 - \sqrt{1 - 2 * 0.16}) = 0.219$$

$$\mu_L = 0.302$$

 $\mu_{bu} < \mu_L A'_s = 0$ (pas d'armaturecomprimée)

$$\alpha = 1.25 \times (1 - \sqrt{1 - 2\mu_{\text{bu}}})$$

$$Z_b = 0.18(1 - 0.4 * 0.219) = 0.16m$$

$$Z_b = d \times (1 - 0.4\alpha)$$

$$Z_b = d \times (1 - 0.4\alpha)$$

 $A = \frac{Mu}{Zb*fed} = \frac{7.366*10}{0.16*348} = 1.32 \text{ cm}2$

Soit: 2HA12/ml = 2.26cm2Au = 2.26cm2

Condition de non fragilité : (Art. A.4.2.1/BAEL91modifiés 99)

$$A_{\min} = 0.23. \, b. \, d. \frac{f_{t28}}{f_e}$$
, $f_{t28} = 2.1 MPa$

$$A_{min} = 0.23(20 \times 18) \times \frac{2.1}{400} = 0.26cm^2$$

On remarque que : $A_{min} < A_{u} = 2.26cm^2$

> Les vérifications :

Vérification à l'E.L.U:

En travée:

Vérification de l'effort tranchant (Art III.2/BAEL 91)

T=16.603KN

Il faut vérifier que $\tau_u < \tau_u^-$ FP

$$\tau_{u}^{-} = \min \left\{ 0.15 \times \frac{f_{c28}}{\gamma_{b}}; 5MPa \right\}$$

$$\tau_{u}^{-} = \min \left\{ 2.5MPa, 5MPa \right\} = 3$$

$$\tau_u^- = \min\{2.5 \text{MPa}; 5 \text{MPa}\} = 2.5 \text{MPa}$$

$$\tau_{\mathbf{u}}^{-} = \min\{2.5\text{MPa}; 5\text{MPa}\} = 2.5\text{MPa}$$

$$\tau_{\mathbf{u}} = \frac{Vu}{b.d} = \frac{16.603*10^{3}}{650*180} = 0.14\text{MPa}$$

$$\tau u = 0.14 \text{ MPA} \le \tau u = 2.5 \text{ MPa}$$

C. V

$$\tau_{\text{ser}} < \tau_{\text{se}}^-$$

$$au_u = \frac{T_u}{0.9d \sum u_i} \le au_{se}^- = \psi_s^-.f_{t28}^- = 3.15 MPa$$

 $\psi_s = 1.5 (acier Fe400, haute adhérence)$

$$\sum u_i = n\pi\emptyset = 3 \times 3.14 \times 12 = 113.03$$
mm

n: nombre des barres

Ø: Diamètre des barres Ø=12mm

$$\tau ser = \frac{16.603 * 10^3}{0.9*180*113.04} = 0.906 \text{ MPa}$$

$$\tau ser = 0.906 < \tau se = 3.15 \text{ MPa}$$

C. V

En Appuis:

T = 16.603 KN

Il faut vérifier que : $\tau_u < \tau_u^-$

$$\tau_u^- = min\left\{0.15 \times \frac{f_{\text{c28}}}{\gamma_b}; 5 \text{MPa}\right\}$$

$$\tau_u^-=\min\{2.5\text{MPa};5\text{MPa}\}=2.5\text{MPa}$$

$$\tau u = \frac{Vu}{b.d} = \frac{16.603*10^3}{100*180} = 0.922 \text{MPa}$$

$$\tau u = 0.922 \text{ MPA} \le \tau u = 2.5 \text{ MPa}$$

 $C \cdot V$

Vérification d'adhérence

$$au_{ ext{ser}} < au_{ ext{se}}^-$$

$$au_{u} = \frac{T_{u}}{0.9d \sum u_{i}} \le au_{se}^{-} = \psi_{s}^{-}.f_{t28} = 3.15 MPa$$

 $\psi_s = 1.5$ (acier Fe400, haute adhérence)

n : nombre des barres

$$\sum u_i = n\pi\emptyset = 2 \times 3.14 \times 12 = 75.36$$
mm

Ø: Diamètre des barres Ø=12mm

$$\tau_{ser} = \frac{16.603 * 10^{3}}{0.9*180*75.36} = 1.359 \text{ MPa}$$

$$\tau_{ser} = 1.35 < \tau_{se} = 3.15 \text{ MPa}$$
 C . V

❖ Calcul des Armature transversale et de l'espacement :

> Calcul des armatures transversales

Le ferraillage transversal est calculé suivant les règlements suivant : Suivant le

RPA99V2003(Article.7.5.2.2)

$$\begin{cases} \frac{A_t}{s_t} \geq 0.003b_0 \\ S_t \leq \left(\frac{h}{4}; 12\emptyset_L\right) zone \ nodale & Avec: \emptyset_t \leq \min\left(\frac{h}{35}; \frac{b_0}{10}; \emptyset_l\right) \\ S_t \leq \frac{h}{2} zone \ courante \end{cases}$$

0₁: Diamètre minimum des armatures longitudinales.

$$\emptyset$$
t $\leq min[5.7; 10; 12] = 5.7 \text{ mm}$

Nous prendrons $\emptyset = 6 \text{ mm}$; les armatures transversales sont : 2 \emptyset 6 (A = 0.57cm2).

Calcul de l'espacement (St)

Zone courant;
$$St \le min (0.9d. 40cm) =$$

Donc:

$$St \le min (0.9; 40) = min (16.2; 40)$$

$$St \le 16.2cm$$

On prend : St = 15 cm (sauf pour le premier plan des armatures transversale qui sera placé à).

Vérification à l'E.L.S:

$$\frac{s_t}{2} = 7.5$$
cm

a) la contrainte de compression dans le béton :

La fissuration étant peu préjudiciable, on doit vérifier.

En travée:

Mser=10.496KNm; b = 65 cm; d= 18 cm;
$$A = 3.39$$
cm2; $As' = 0$

$$\sigma_{bc} \le \sigma_{bc}^- = 0.6 \times f_{c28} = 15 MPa$$

Position de l'axe neutre :

$$\sigma_{bc} = Ky$$
 avec $k = \frac{M_{ser}}{I}$
On a)

$$y = n \frac{A_s + A_s'}{b} \left(\sqrt{1 + \frac{b \cdot d \cdot A_s + d \cdot A_s}{7 \cdot 5(A_s + A_s')^2}} - 1 \right)$$

$$y = 15 \frac{3 \cdot 39}{100} \left(\sqrt{1 + \frac{18 \times 65}{7 \cdot 5 \times 3 \cdot 39}} - 1 \right)$$

$$y = 4.58cm$$

avec
$$(A' = 0 \quad \eta = 15)$$

$$I = \frac{65}{3}(4.58)^3 + 15 \times 3.39(18 - 4.58)^2 = 11239.46 \text{cm}^4$$

$$K = \frac{Mser}{I} = \frac{10.496 * 10^6}{11239.46 * 10^4} = 0.093 N/m^3$$

$$\sigma_{bc} = k.y = 0.093 \text{ x } 45.8 = 4.27 \text{ MPa} \le \sigma_{bc} = 15\text{MPa}$$
 C. V

Vérification de la contrainte maximale de l'acier

$$I = \frac{by^{s}}{3} + nA_{s}(d - y)^{2} + nA'_{s}(y - d')^{2}$$

$$\sigma$$
s = K $(d - y)$ = 15 x 0.093 (180 – 45.8)= 187.209 MPa

$$\sigma_{\rm S} = 187.209 \text{MPa} \le \sigma_{\rm S} = 348 \text{ MPA}$$
 C. V

$$\sigma_s^- = \frac{f_e}{\gamma_s} = 348 MPa$$

En Appuis:

$$M_{ser} = 5.998 KN.m$$
; $b = 10 cm$; $d = 18 cm$; $A = 2.26 cm^2$; $As' = 0$

$$\sigma_{bc} \leq \sigma_{bc}^- = 0.6 \times f_{c28} = 15 \text{MPa}$$

$$\sigma_{bc} = Ky$$
 avec $k = \frac{M_{ser}}{I}$

Position de l'axe neutre :

avec
$$(A' = 0 \quad \eta = 15)$$

On a

$$\begin{split} y &= n \frac{A_\text{g} + A_\text{g}'}{b} \bigg(\sqrt{1 + \frac{b.d.A_\text{g} + d.A_\text{g}}{7.5 (A_\text{g} + A_\text{g}')2}} - 1 \bigg) \\ Y &= 15 \frac{2.26}{10} \bigg(\sqrt{1 + \frac{18*10}{7.5 (2.26)}} - 1 \bigg) \end{split}$$

$$Y = 8.16 \text{ cm}$$

$$I = \frac{by^{s}}{3} + nA_{s}(d - y)^{2} + nA'_{s}(y - d')^{2}$$

$$I = \frac{10}{3}(8.16)3 + 15 \times 2.26(18 - 8.16)2 = 5093.516 \text{ cm}4$$

$$K = \frac{Mser}{I} = \frac{5.998*10^6}{5093.516*10^4} = 0.117N/m3$$

$$\sigma_{bc} = k.y = 0.117 \text{ x } 81.6 = 9.6 \text{ MPa} \le \sigma bc - = 15 \text{MPa}$$
 C. V

Vérification de la contrainte maximale de l'acier

$$\sigma_{\rm s} \leq \sigma_{\rm s}^-$$

$$\sigma_{\rm S}$$
 = . K $(d - y)$ = 15 x 0.117 (180 - 81.6)= 172.692 MPa

$$\sigma$$
s = 172.692MPa $\leq \sigma$ s— = 348 MPA

C. V

$$\sigma_{s}^{-}=\frac{f_{\theta}}{\gamma_{s}}=348MPa$$
 Vérification de la flèche

$$\frac{h}{l} > \frac{1}{16}$$

$$\frac{h}{l} > \frac{1}{16}$$
 2) $\frac{l}{h} > \frac{1M_t}{10M_0}$

$$\frac{A}{b.d} \le \frac{4.2}{fe} MPa$$

Avec:

1 : La portée entre nus d'appuis (4,05m)

H: hauteur de la section (15 cm)

M_t: moment max en travée

M₀: moment de la travée de référence

A : section d'acier tendu en travée

$$\frac{h}{l} = \frac{20}{430} = 0.04 < 0.06$$

Donc on va calculer la flèche et vérifiée celle-ci avec la flèche admissible

$$E_i = 11000 \cdot \sqrt[3]{f_{c28}} = 11000 \cdot \sqrt[3]{25} = 32164,19 \text{ MPa}$$

$$E_v = 3700 \cdot \sqrt[3]{f_{c28}} = 3700 \cdot \sqrt[3]{25} = 10818,86 \text{ MPa}$$

$$\rho = \frac{A}{b0.d} = \frac{3.39}{10*18} = 0.018$$

$$\mu$$
g = 1- $\left[\frac{1.75*ft28}{4 \rho \sigma sg + ft28}\right]$ = 1 - $\left[\frac{1.75*2.1}{4*0.018*348+2.1}\right]$ = 0.864

$$\lambda i = \frac{0.05 \cdot ft28}{\left(2 + 3\frac{b0}{b}\right)\rho} = \frac{0.05 \cdot 2.1}{\left(2 + 3\frac{100}{650}\right)0.018} = 2.36$$

$$\lambda v = \frac{2}{5} \lambda i = 0.4 \times 2.36 = 0.947$$

$$I_0 = \frac{bh^3}{12} + n \left[A_s \left(\frac{h}{2} - h^* \right)^2 \right] = \frac{65 \times 20^3}{12} + 15 \times 3.39 \left(\frac{20}{2} - 18 \right)^2 = 46587.733 cm^4$$

$$Igfi = \frac{1.1 I0}{(1+\lambda i.\mu)} = \frac{1.1*46587.733}{1+2.36*0.864} = 16862.728 \text{ cm}^4$$

$$Igfv = \frac{1.1 I0}{(1 + \lambda v. \mu g)} = \frac{1.1*46587.733}{1 + 0.947*0.864} = 28185.172 \text{ cm}^4$$

$$fgi = \frac{\textit{Mg .L}^2}{\textit{10 Ei .Ifi}} = \frac{13.512*430^2*10^3}{\textit{10*32164.19*16862.728}} = 0.4 \text{ cm}$$

$$fgv = \frac{\textit{Mg}.L^2}{10 \, \textit{Ev}.\textit{Ifv}} = \frac{13.512*430^2*10^3}{10*10818.86*28185.175} = 0.8cm$$

La flèche totale

$$\Delta f_t = (f_{gv} - f_{gi}) = (0.8 - 0.4) = 0.4cm$$

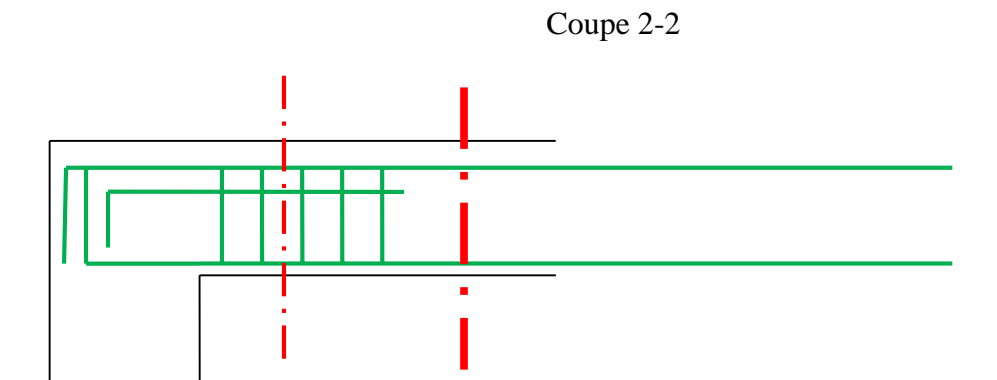
La flèche admissible

L = 430 cm < 500 cm ====>
$$\Delta f \max = \frac{L}{500} = \frac{430}{500} = 0.86 \text{ cm}$$

Coupe 1-1

$$\Delta f$$
t = 0.4cm $\leq \Delta f$ max = 0.86 cm =====> Condition vérifié

***** Ferraillages des poutrelles



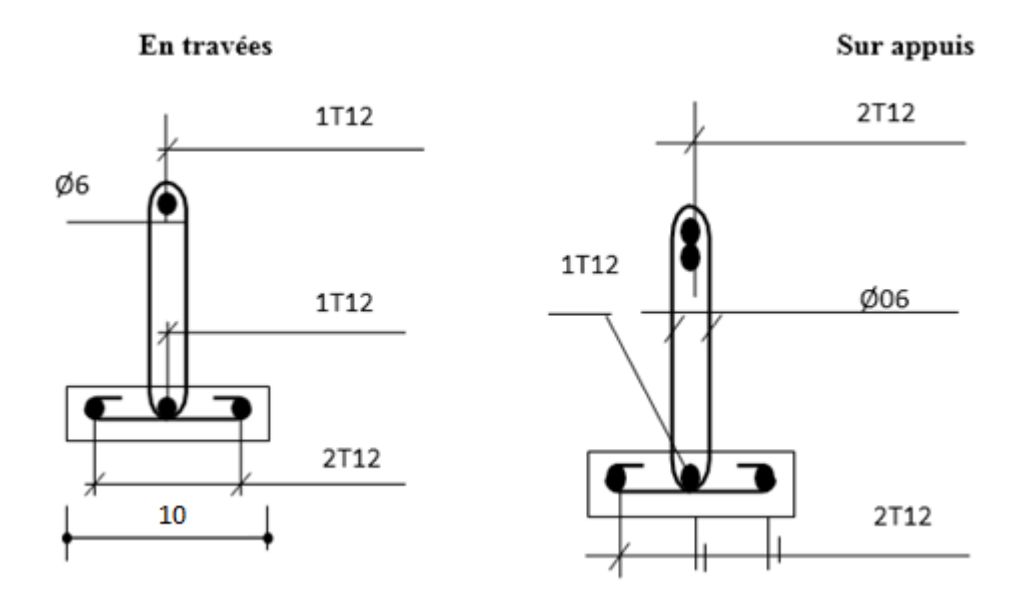


Figure III.22: Ferraillages des poutrelles

III.7 Dalle de compression

Selon l'article (2.7.2.2) de béton armé règles BAEL91 :

La dalle de compression doit avoir une épaisseur minimale de 4cm. Elle est armé d'un quadrillage à mailles dont les dimensions au plus égales à :

20 cm dans le sens perpendiculaire aux nervures.

33cm dans le sens parallèle aux nervures.

La section (en cm²/m) des armatures perpendiculaires aux nervures :

$$200$$
 fe
 $si \ l \le 50 \ cm$
 $A \ge len \ cm \ et \ fe \ en \ MPa$
 $4l$
 fe
 $si \ 50 < \le 80 \ cm$

L=65cm, distance entre axe des poutrelles.

Le diamètre des barres doit être : $\emptyset \le \frac{h0}{10} = \frac{4}{10} = 0.4$ cm

On prend un diamètre ϕ =6mm pour les deux sens. On prend 5T6=1.41cm2 avec un espacement st=20cm

On prend
$$st = \frac{100}{6} = 16 \text{ cm on adopt est} = 20 \text{cm}$$

Pour le ferraillage de la dalle de compression, on adopte un treillis soudé dont la dimension des mailles est égale à 20cm suivant les deux sens.

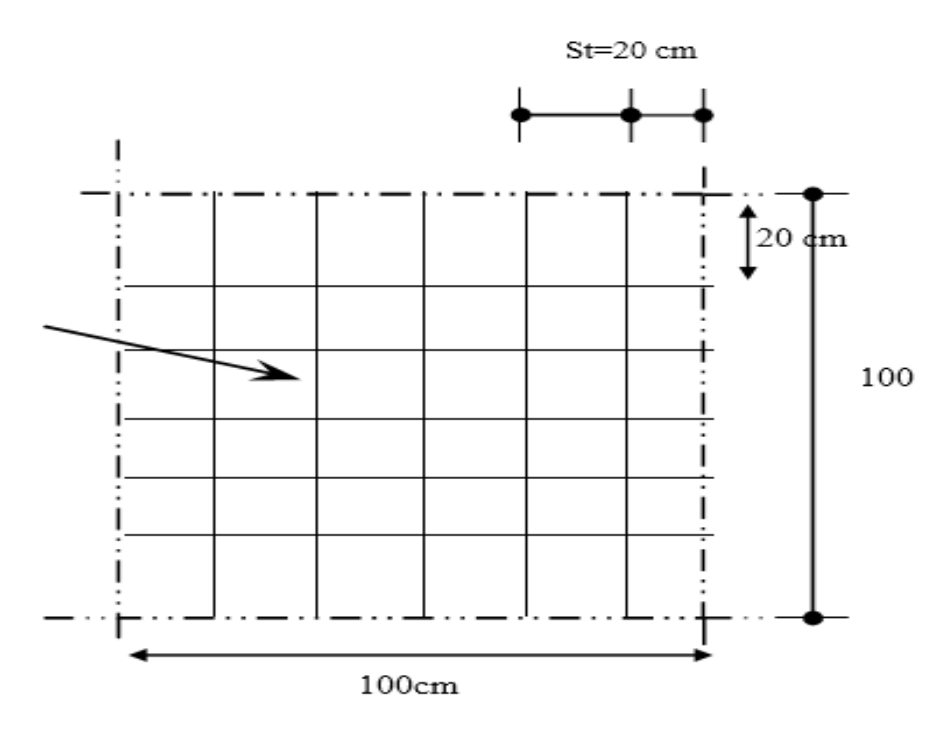


Figure III.23: Disposition constructive des armatures de la dalle de compression

IV.1 Introduction:

Un séisme, ou tremblement de terre, se traduit en surface par des vibrations du sol. Il provient de la fracturation des roches en profondeur. Cette fracturation est due à une grande accumulation d'énergie qui se libère, en créant ou en faisant rejouer des failles, au moment où le seuil de rupture mécanique des roches est atteint.

Ces mouvements du sol excitent les ouvrages par déplacement de leurs appuis et sont plus ou moins amplifiés dans la structure. Le niveau d'amplification dépend essentiellement de la période de la structure et de la nature du sol.

Ceci nous oblige de bien faire toute une étude pour essayer de mettre en exergue le comportement dynamique de l'ouvrage.

IV.2 Objectif de l'étude dynamique :

L'analyse dynamique d'une structure représente une étape primordiale dans l'étude générale d'un ouvrage en Génie Civil dans une zone sismique (zone II.a dans notre cas), ou éventuellement soumis à des actions accidentelles.

La résolution de l'équation du mouvement d'une structure en vibrations libres ne peut se faire manuellement à cause du volume de calcul. L'utilisation d'un logiciel préétablie en se basant sur la méthode des éléments finis par exemple « Autodesk ROBOT » avec une modélisation adéquate de la structure, peut aboutir à une meilleure définition des caractéristiques dynamiques propres d'une structure donnée.

Dans cette étude nous allons utiliser le logiciel Autodesk ROBOT du présente plus de facilité d'exécution.

IV.3 Présentation du logiciel ROBOT :

ROBOT STRUCTURAL ANALYSIS PROFISSIONAL 2014 est un logiciel CAO/DAO destiné à modéliser, analyser et dimensionner différents types de structures de génie civil.il est basé sur la méthode des éléments finis(MEF) et permet de :

- ✓ Modéliser des structures, les calculer.
- ✓ Vérifie les résultats obtenus.
- ✓ Dimensionner les éléments spécifiques de la structure.

C'est un logiciel qui permet de modéliser tous types de structures en génie civil (portique, treillis soudés, bâtiment, coques, plaque etc..). Il offre de nombreuses possibilités pour l'analyse statique et dynamique des structures, ainsi que le calcul des efforts internes qui sollicitent chaque élément

de la structure. Les efforts engendrés dans la structure seront ensuite utilisés pour ferraillage les éléments résistants suivant les combinaisons et les dispositions constructives exigées par la réglementation algérienne dans le domaine du bâtiment.

Ce logiciel permet la prise en compte des propriétés non linéaires des matériaux ainsi que le calcul et le dimensionnement des éléments structuraux suivant les différentes réglementations Algérienne en vigueur à savoir les règles parasismique Algériennes -[RPA99]/version2003 et les Règles « CBA93 ».

IV.4 Choix de la méthode de calcul:

L'étude sismique à pour but de calculer les forces sismiques; calcul peut être mené par les trois méthodes qui sont :

- la méthode statique équivalente.
- la méthode d'analyse modale spectrale.
- la méthode d'analyse dynamique par accélérogrammes.

A. La méthode statique équivalente :

Principe de la méthode :

Les forces réelles dynamiques qui se développent dans la construction sont remplacées par un système de forces statiques fictives dont les effets sont considérés équivalents à ceux de l'action sismique.

La structure peut être modélisée comme une console encastrée dans le sol et dont laquelle les différents étages sont représentés par des masses ponctuelles de même centre de gravité, de même propriétés d'inertie.

Conditions d'application de la méthode statique équivalente :

La méthode statique équivalente peut être utilisée dans les conditions suivantes :

- a. Le bâtiment ou bloc étudié, satisfaisait aux conditions de régularité en plan et en élévation avecune hauteur au plus égale à 65m en zones I et II et à 30m en zones III.
- **b.** Le bâtiment ou bloc étudié présente une configuration irrégulière tout en respectant, outres les conditions de hauteur énoncées en (a), les conditions complémentaires suivantes :

Zone I:

Tous groupes

Zone II:

- Groupe d'usage 3
- Groupe d'usage 2, si la hauteur est inférieure ou égale à 7 niveaux ou 23m.
- Groupe d'usage 1B, si la hauteur est inférieure ou égale à 5 niveaux ou 17m.
- Groupe d'usage 1A, si la hauteur est inférieure ou égale à 3 niveaux ou 10m.

Zone III:

- Groupes d'usage 3 et 2, si hauteur est inférieure ou égale à 5 niveaux ou 17m.
- Groupe d'usage 1B, si la hauteur est inférieure ou égale à 3 niveaux ou 10m.
- Groupe d'usage 1A, si la hauteur est inférieure ou égale à 2 niveaux ou 08m.

B. La méthode d'analyse modale spectrale :

Principe de la méthode :

Par cette méthode, il est recherché pour chaque mode de vibration, le maximum des effets engendrés dans la structure par les forces sismiques représentées par un spectre de réponse de calcul. Ces effets sont par la suite combinés pour obtenir la réponse de la structure.

❖ Conditions d'application de la méthode d'analyse modale spectrale :

La méthode d'analyse modale spectrale peut être utilisée dans tous les cas, et en particulier, dans le cas où la méthode statique équivalente n'est pas permise.

C. La méthode d'analyse dynamique par accélérogrammes:

La méthode d'analyse dynamique par accélérogrammes peut être utilisée au cas par cas par un personnel qualifié, ayant justifié auparavant les choix des séismes de calcul et des lois de comportement utilisées ainsi que la méthode d'interprétation des résultats et les critères de sécurité à satisfaire.

IV.5 Classification de l'ouvrage selon les RPA99 / Version 2003 :

La classification des ouvrages se fait sur le critère de l'importance de l'ouvrage relativement au niveau sécuritaire, économique et social. Notre ouvrage étant un bâtiment d'habitation situé à JIJEL (Zone IIa), Il sera classé au groupe d'usage 2.

> Classification du site:

D'après [RPA99/version2003] Article (3.3.1):

Les sites sont cassés en quatre (04) catégories en fonction des propriétés mécaniques des sols qui lesconstituent :

- Catégorie S1 (site rocheux).
- Catégorie S2 (site ferme).
- Catégorie S3 (site meuble).
- Catégorie S4 (site très meuble)

Notre structure se situe dans un site meuble (S3)

IV.6 Modélisation:

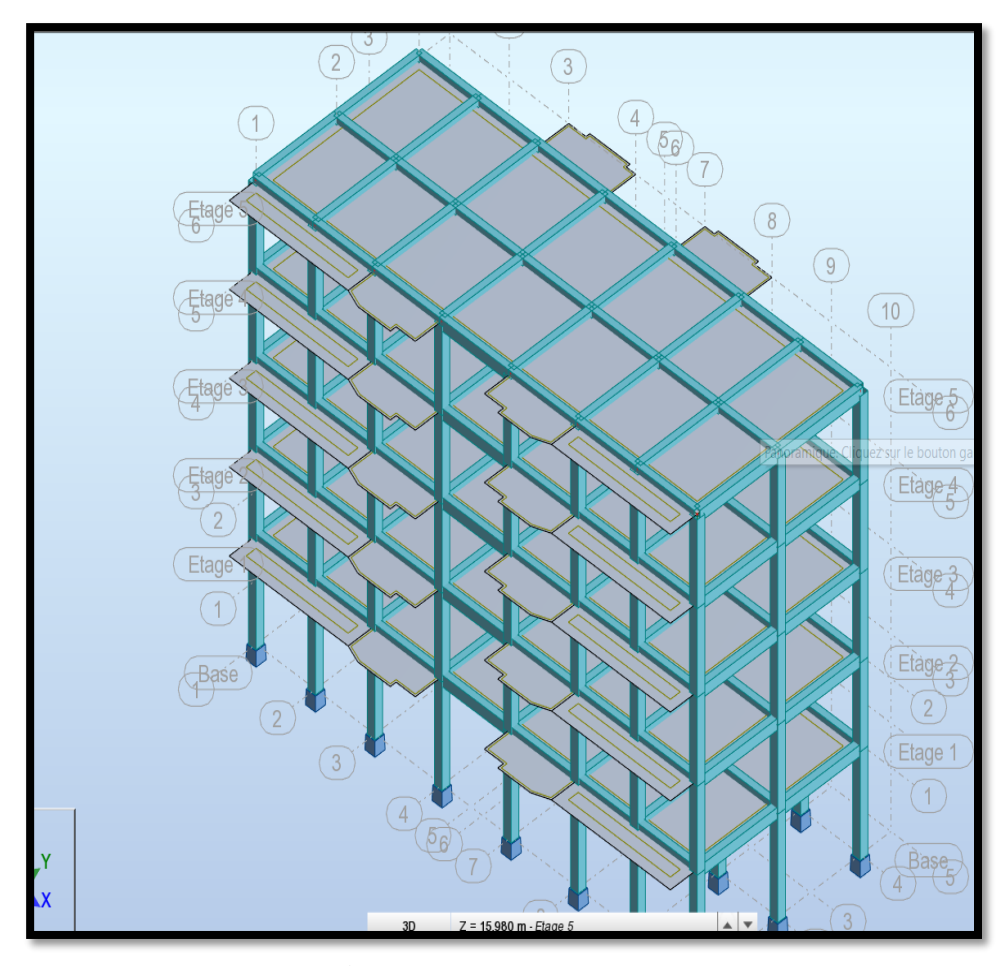


Figure IV.1: Modèle en 3D

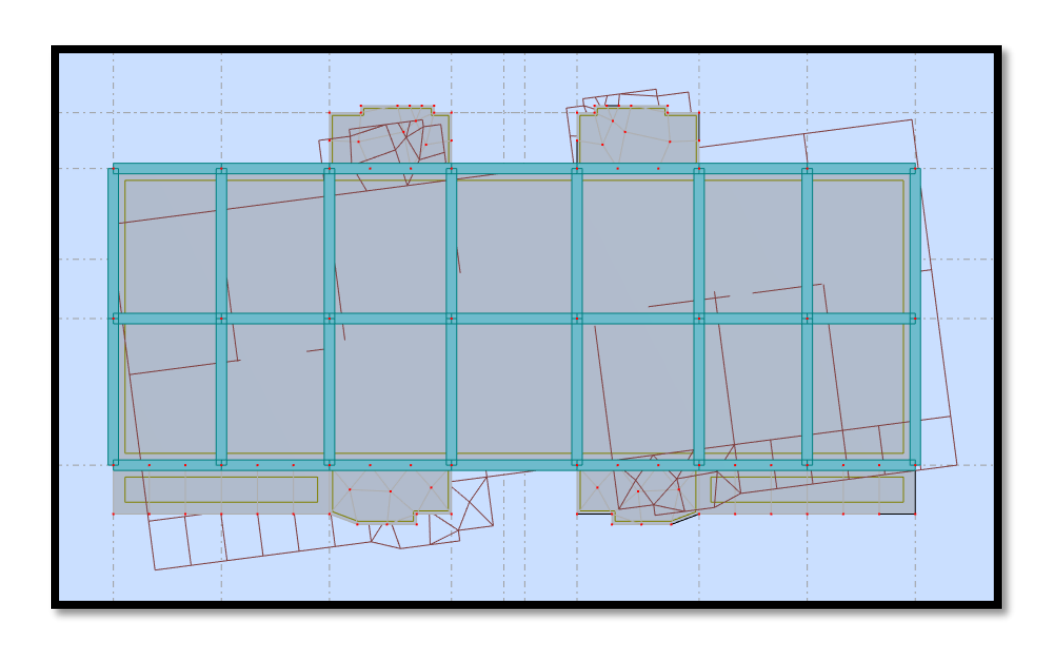
V.6.1. La structure sans voiles :

a) Le comportement de la structure sans voiles :

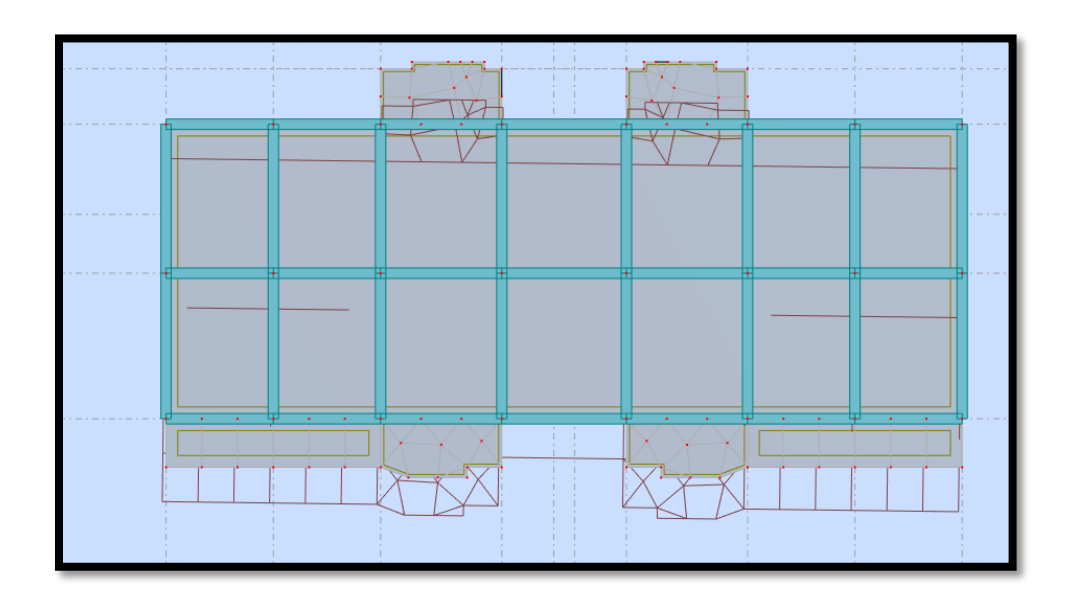
Tableau IV.1: les périodes et les factures de participation massique modale

mode	Période [sec]	Masses Cumulées UX [%]	Masses Cumulées UY [%]	Masse Modale UX [%]	Masse Modale UY [%]	Tot.mas.UX [kg]
1	0.63	16.54	0.71	16.54	0.71	1115679.37
2	0.62	16.64	83.10	0.09	82.39	1115679.37
3	0.55	86.02	83.10	69.38	0.00	1115679.37
4	0.20	86.08	92.96	0.06	9.86	1115679.37
5	0.20	88.11	93.03	2.04	0.07	1115679.37
6	0.18	94.78	93.06	6.67	0.03	1115679.37
7	0.11	94.79	96.38	0.01	3.32	1115679.37

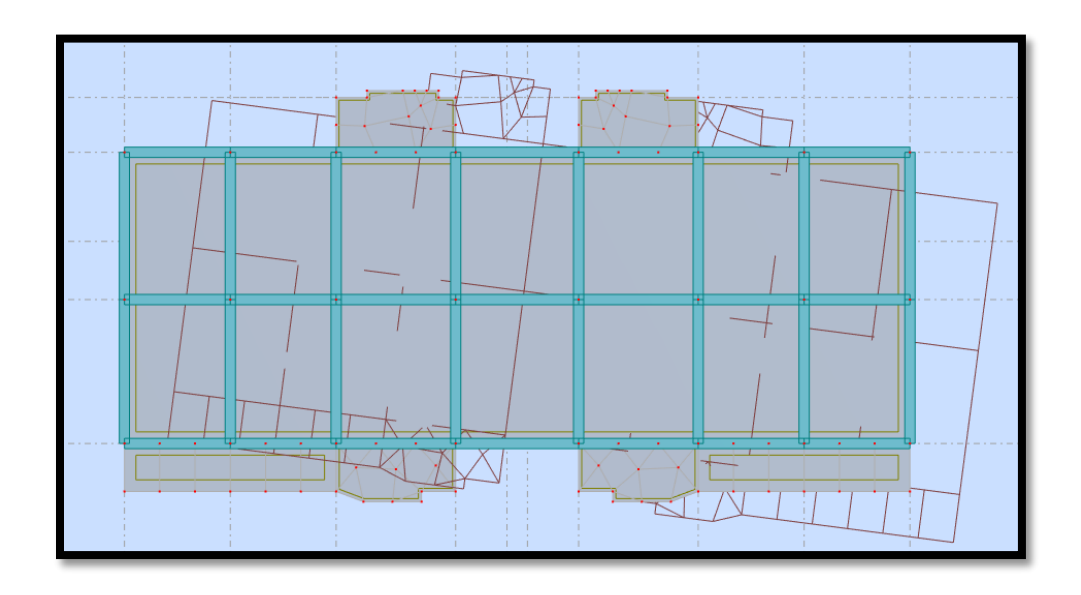
❖ Mode 01



❖ Mode 02



❖ Mode 03



V.6.2. La structure avec les voiles :

a) La première disposition:

Pour obtenir la raideur maximale à la torsion d'ensemble, il faut que les éléments susceptibles de donner la raideur torsionnelle à la structure soient portés le plus possibles vers le pourtour de la construction.

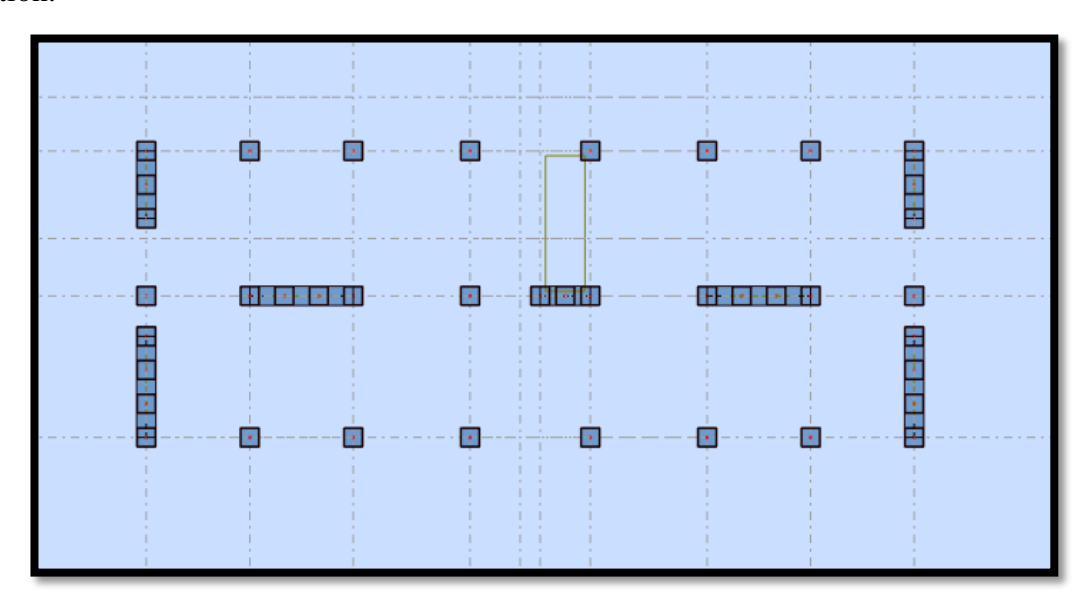
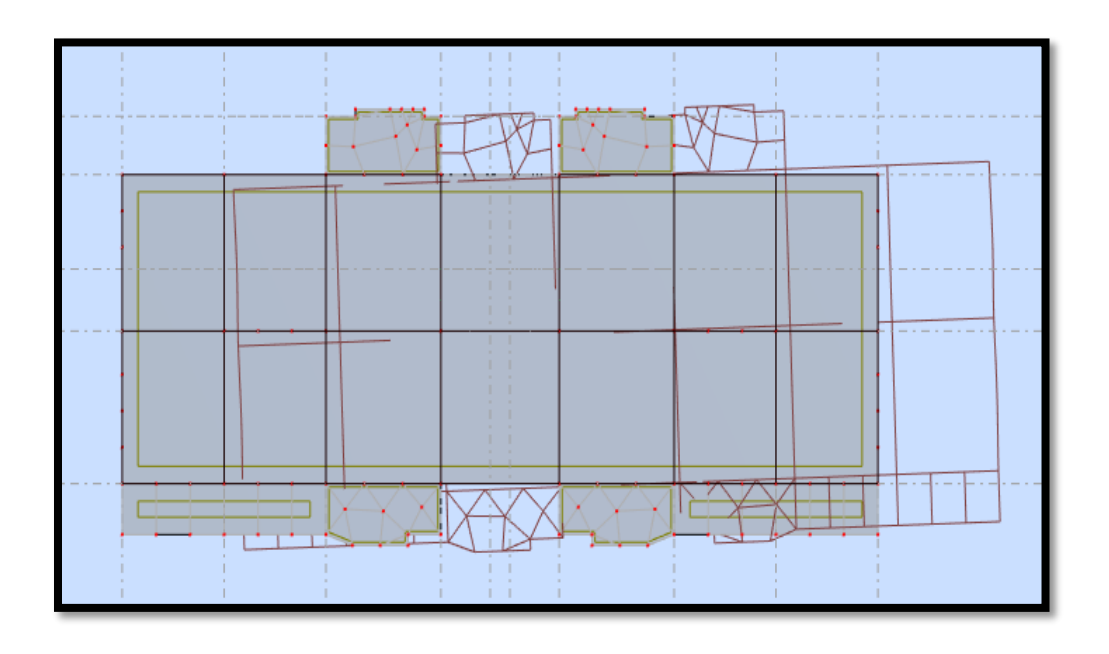


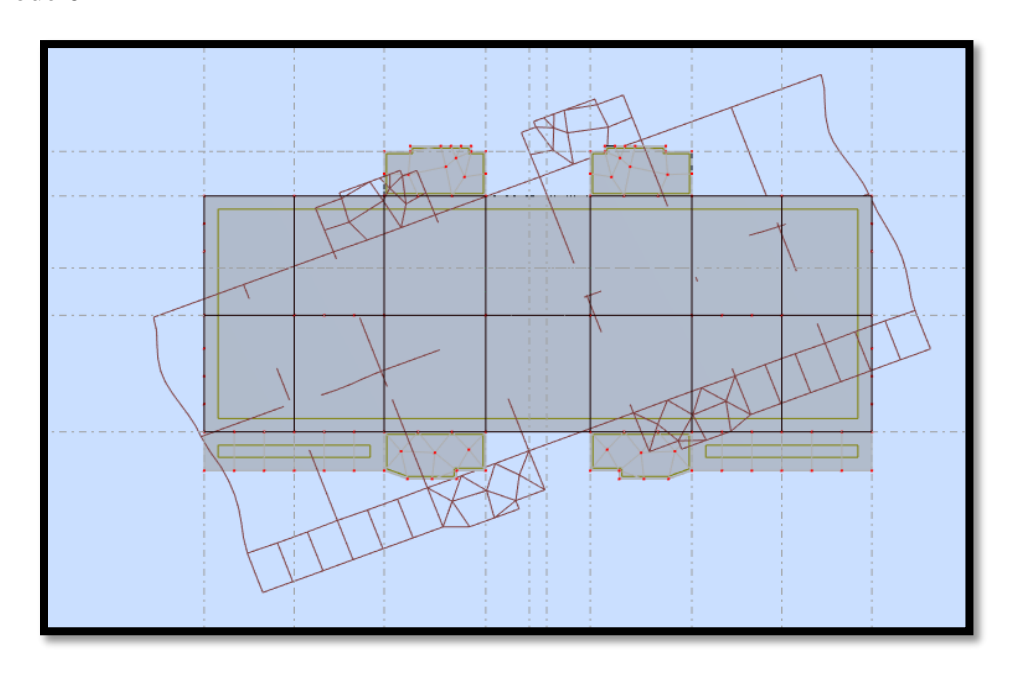
Tableau IV.2: les périodes et les factures de participation massique modale

mode	Période	Masses	Masses	Masse	Masse	Tot.mas.UX
	[sec]	Cumulées	Cumulées	Modale UX	Modale UY	[kg]
		UX [%]	UY [%]	[%]	[%]	
1	0.37	73.17	0.00	73.17	0.00	1209277.83
2	0.36	73.17	5.35	1.23	73.40	1209277.83
3	0.27	73.59	73.40	0.42	0.00	1209277.83
4	0.09	91.39	73.42	17.80	0.01	1209277.83
5	0.09	91.40	90.55	0.01	17.13	1209277.83
6	0.06	91.41	90.55	0.01	0.00	1209277.83
7	0.05	91.41	90.55	0.00	0.01	1209277.83
8	0.05	96.08	90.55	4.67	0.00	1209277.83
9	0.04	96.09	90.55	0.01	0.00	1209277.83

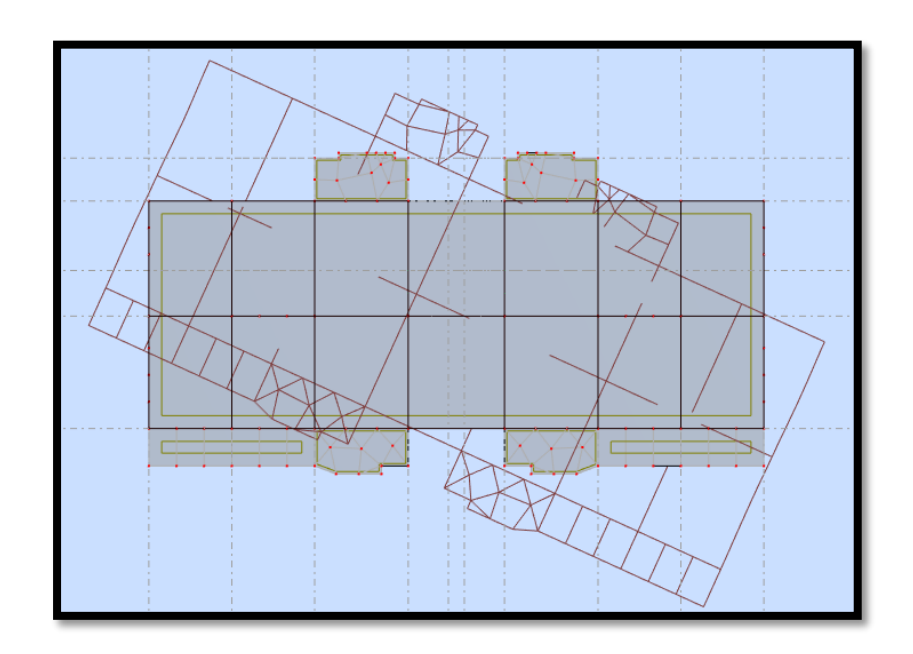
❖ Mode 01



❖ Mode 02



❖ Mode 03



Direction X:

 $T = Ct.hn^{3/4} = 0.05*15.98^{3/4} = 0.4 s$

 $T = 0.09 \text{hn} / \sqrt{Dx}$ $D_x = 23.4 \text{m}$

 $0.09*15.98/\sqrt{23.4} = 0.3$

** T empirique = min (1;2) = 0.3 s

1.3* T empirique = $\frac{0.39}{0.39}$ s

T analytique = 0.39 s

Direction Y:

$$T = Ct.hn^{3/4} = 0.05*15.98^{3/4} = 0.4 s$$

 $T = 0.09 hn / \sqrt{D}y$ $D_Y = 8.9 m$

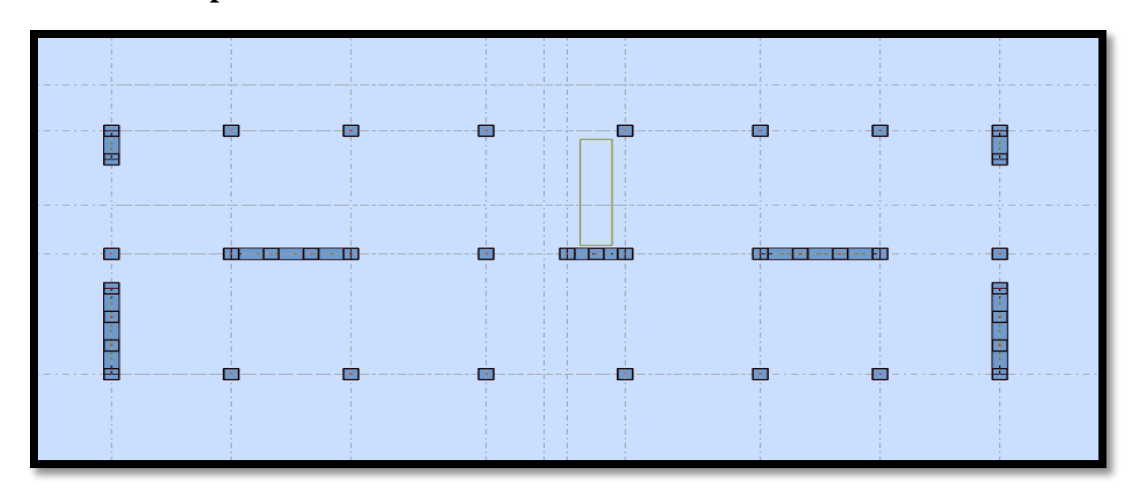
0.09*15.98/8.9 = 0.48

** T empirique = $\frac{0.4 \text{ s}}{}$

 $1.3 *T empirique = \frac{0.52}{}$

T analytique = 52s

b) La deuxième disposition :

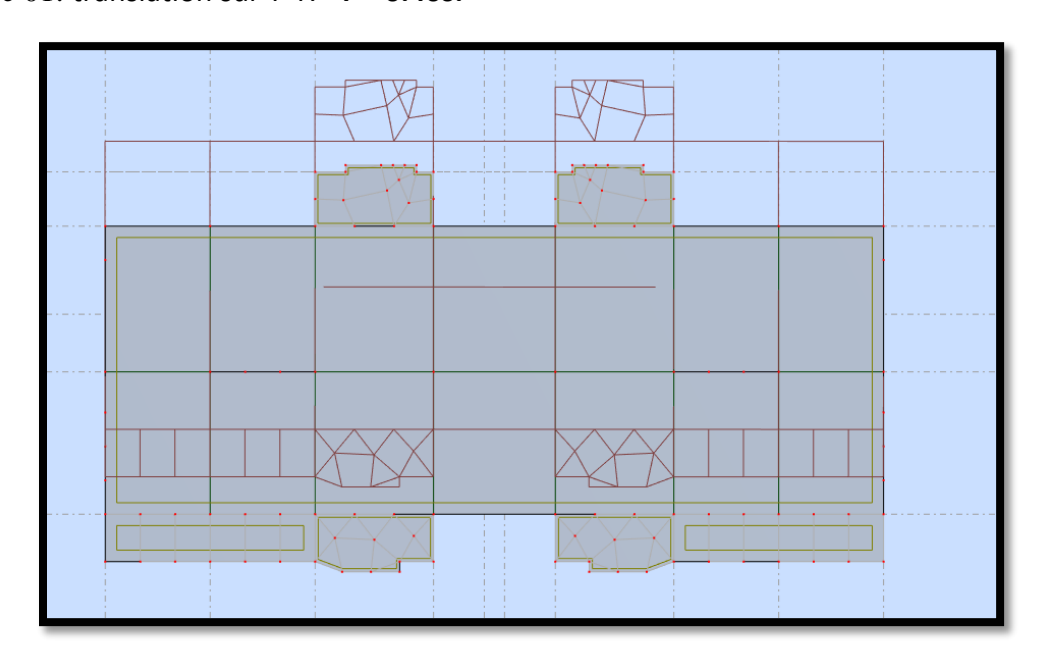


***** Le comportement de la structure :

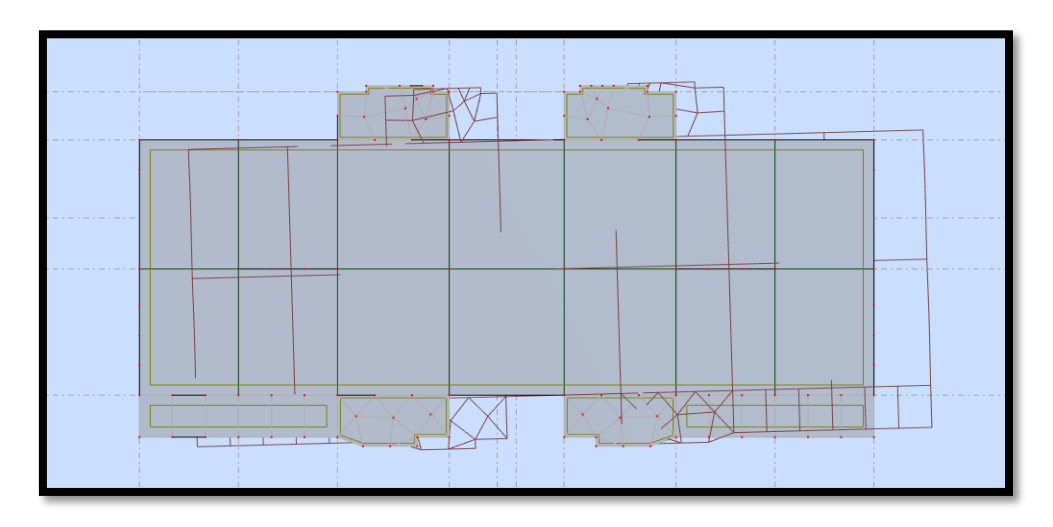
Tableau IV.3: les périodes et les factures de participation massique modale

mode	Période	Masses	Masses	Masse	Masse	Tot.mas.UX
	[sec]	Cumulées	Cumulées	Modale UX	Modale UY	[kg]
		UX [%]	UY [%]	[%]	[%]	
1	0.40	0.00	73.73	0.00	73.73	1193224.80
2	0.37	72.41	73.73	72.41	0.00	1193224.80
3	0.29	73.67	73.73	1.26	0.00	1193224.80
4	0.10	73.67	90.87	0.00	17.14	1193224.80
5	0.09	91.49	90.87	17.82	0.00	1193224.80

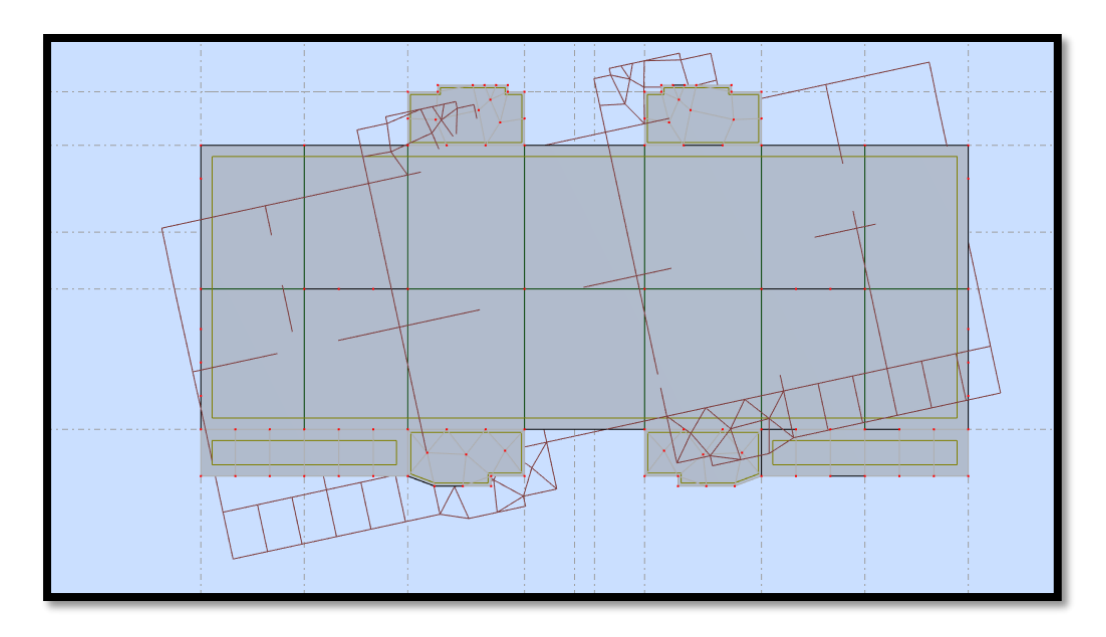
❖ Mode 01: translation sur Y-Y. **T = 0.40s.**



Mode 02: translation sur X-X. T = 0.37s.



Mode 03: Rotation Z-Z. **T = 0.29 s.**



Remarques:

 1° / Ce modèle présente une période fondamentale : Tx = 0,37 s Ty = 0,40 s

2°/ Les 1er et 2ème modes sont des modes de translation

 3° / Le 3° mode est un mode de rotation.

4°/ On doit retenir les **5** premiers modes, pour que la masse modale atteigne les 90% (selon le RPA99).

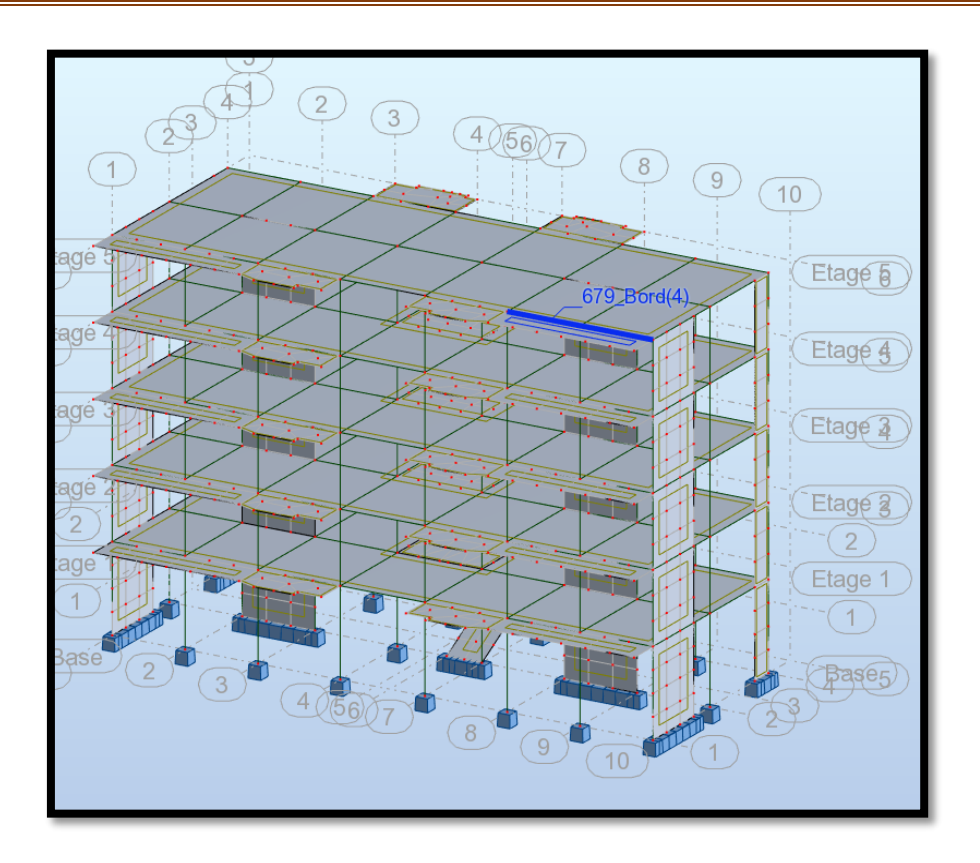


Figure IV.2: vue de la structure avec voile.

Figure IV.4: Centre de gravité est centre de rigidité

	Cg-Cr[m] x-x	Cg-Cr[m] y-y	0.05 Lx [m]	0.05 Ly[m]	
1	0.011	0.251	1.150	0.600	cv
2	0.000	0.288	1.150	0.600	cv
3	0.000	0.288	1.150	0.600	cv
4	0.000	0.288	1.150	0.600	cv
5	0.000	0.138	1.150	0.600	cv

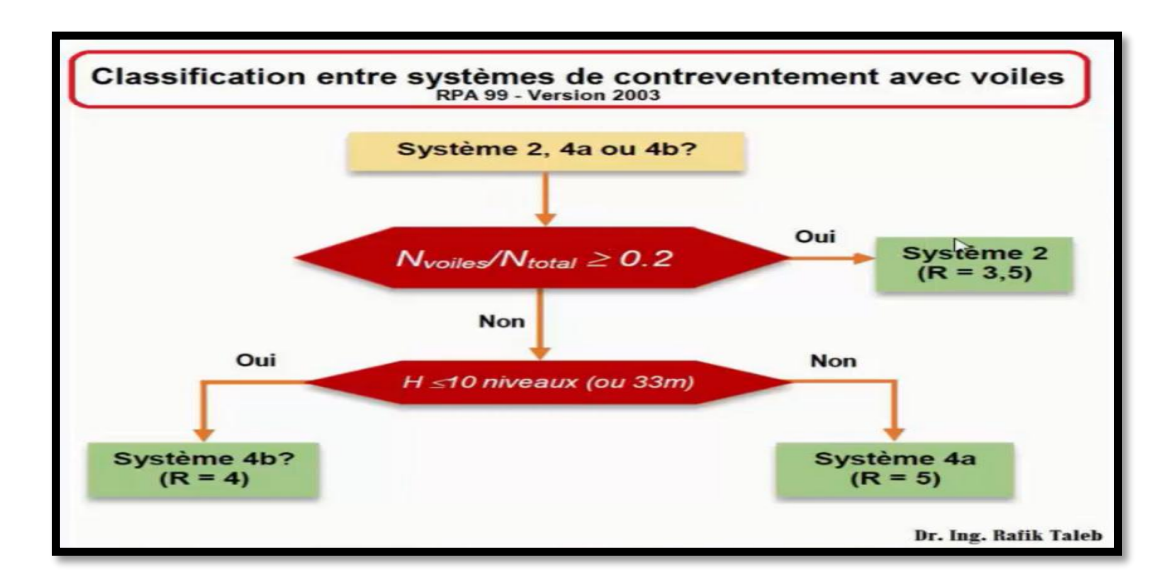


Figure IV.3: Classification du système de contreventements selon RPA.

Tableau IV.5: la distribution des efforts tranchant et normaux sur les voiles.

	Voiles de contreventement				
	Effort t	ranchant	Effort normal		
Etage	Tx	Ту	N		
1	905.74	1017.06	-5561.36		
2	691.65	802.22	-4308.89		
3	469.92	581.27	-3245.29		
4	266.64	365.37	-2142.32		
5	23.21	83.32	-1008.96		

Tableau IV.6: la distribution des efforts tranchant et normaux sur les poteaux.

	Poteaux				
	Effort t	ranchant	Effort normal		
Etage	Tx	Ту	N		
1	177.87	141.36	-12646.22		
2	241.36	209.69	-9881.67		
3	261.08	217.86	-7269.26		
4	246.28	196.02	-4696.22		
5	240.68	205.2	-2158.9		

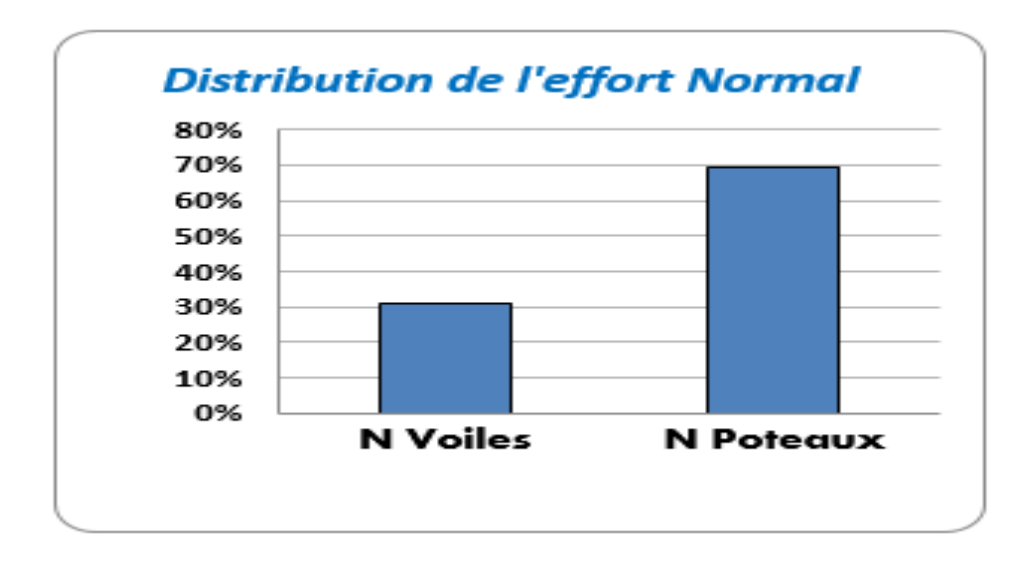


Figure IV.4: histogramme de distribution d'efforts normaux.

On choisit le système 2 Voiles porteurs **R= 3.5**

❖ Vérification de l'effort normal réduit :

L'article (7-4-3-1) du RPA (version 2003) exige la vérification de l'effort normal réduit pour éviter la rupture fragile de la section de béton.

La vérification s'effectue par la formule suivante : $N_{rd} = \frac{N}{B f_{c28}} \le 0.3$ [1]

Où:

N: l'effort normal maximal.

B: section du poteau.

F_{c28} : résistance caractéristique du béton.

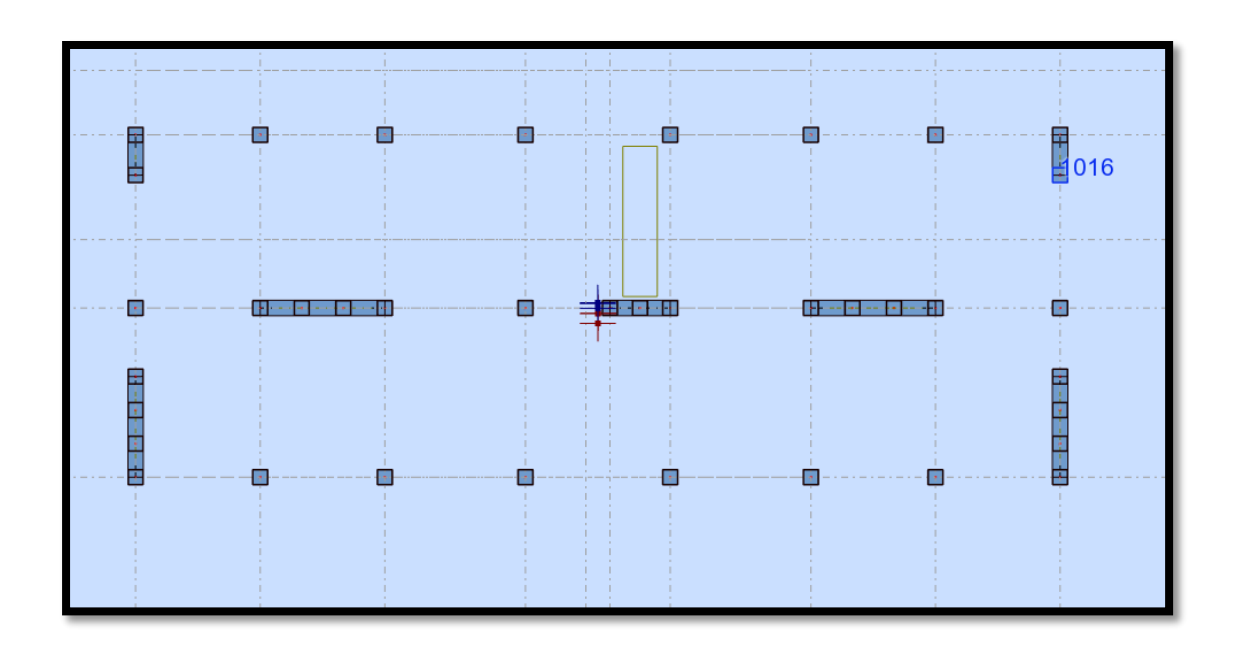
	B (cm ²)	N (KN)	F _{c28}	$N_{ m rd}$	
Poteau 35*35	35×35	962.82	25	0.314	Cnv

On augmente la section des poteaux de RDC (40*40).

Diréction X : T analytique = 0.37 s.

Direction Y: T analytique = 0.36 s.

c) La troisième disposition:



Le comportement de la structure :

Tableau IV.7: les périodes et les factures de participation massique modale

mode	Période	Masses	Masses	Masse	Masse	Tot.mas.UX
	[sec]	Cumulées	Cumulées	Modale UX	Modale UY	[kg]
		UX [%]	UY [%]	[%]	[%]	
1	0.43	0.00	73.42	0.00	73.42	1193650.01
2	0.36	65.85	73.42	65.85	0.00	1193650.01
3	0.33	72.49	73.42	6.64	0.00	1193650.01
4	0.12	72.49	89.80	0.00	16.37	1193650.01
5	0.09	90.60	89.80	18.11	0.00	1193650.01
6	0.08	90.83	89.80	0.23	0.00	1193650.01
7	0.05	90.83	95.13	0.00	5.33	1193650.01

Remarques:

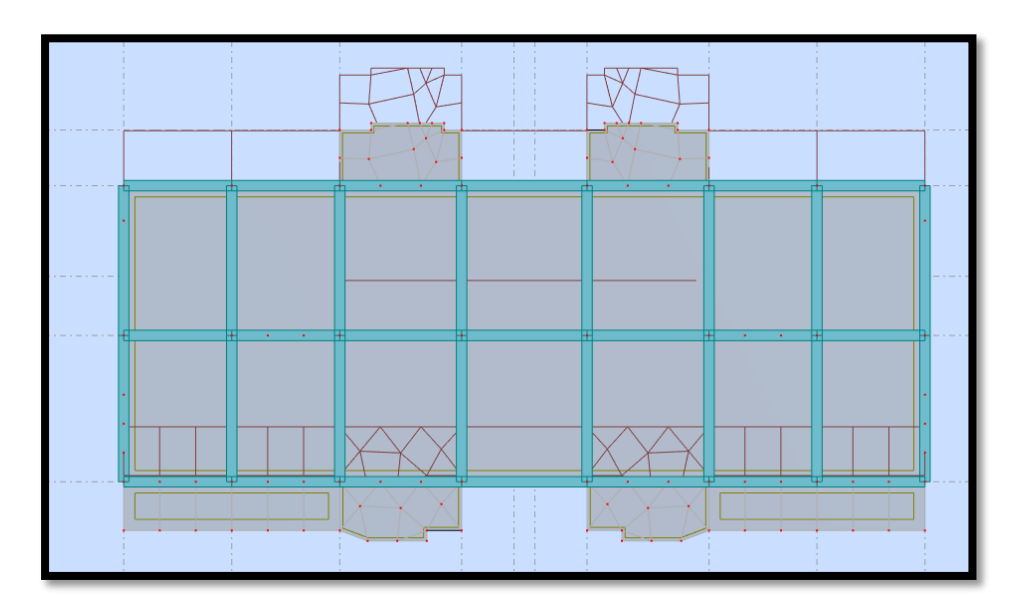
 1° / Ce modèle présente une période fondamentale : Tx = 0,36 s Ty = 0,43 s

2°/ Les 1er et 2ème modes sont des modes de translation

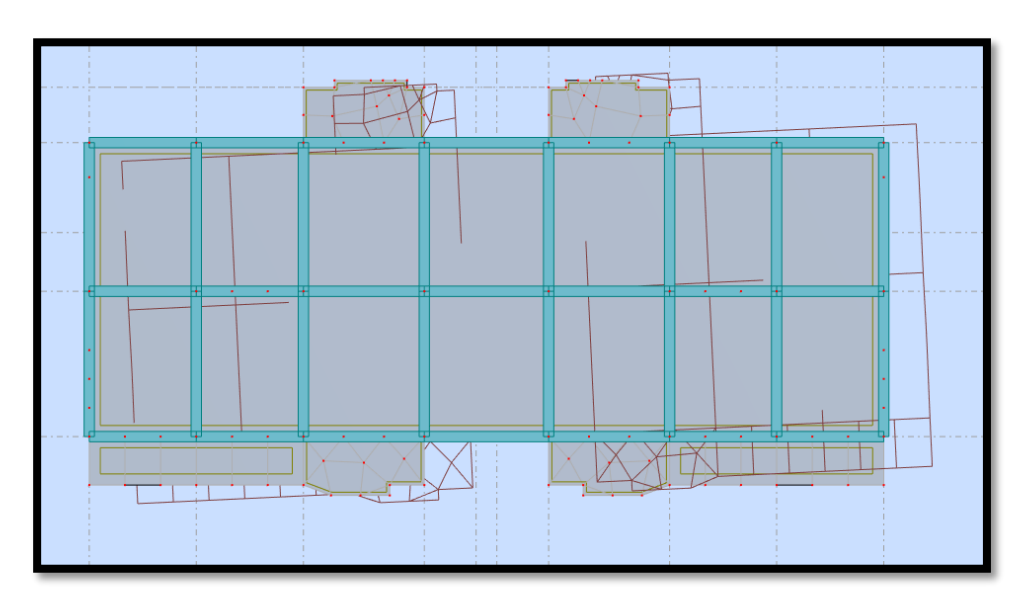
3°/ Le 3ème mode est un mode de rotation.

4°/ On doit retenir les **7** premiers modes, pour que la masse modale atteigne les 90% (selon le RPA99).

Mode 01: translation sur Y-Y. **T = 0.43s.**



Mode 02: translation sur X-X. **T = 0.36 s.**



Mode 03: Rotation Z-Z. **T = 0.33 s.**

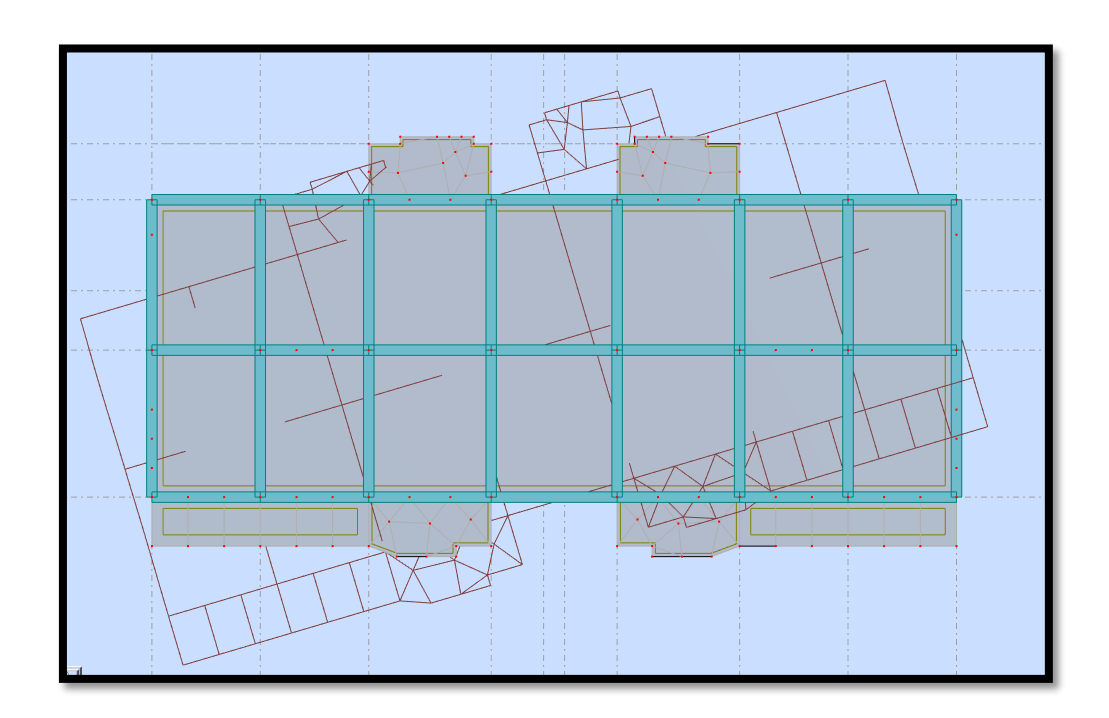


Tableau IV.8: Centre de gravité est centre de rigidité

	Cg-Cr[m] x-x	Cg-Cr[m] y-y	0.05 Lx [m]	0.05 Ly[m]	
1	0.011	0.239	1.150	0.600	cv
2	0.001	0.228	1.150	0.600	cv
3	0.001	0.228	1.150	0.600	cv
4	0.001	0.228	1.150	0.600	cv
5	0.000	0.132	1.150	0.600	cv

* Vérification de l'effort normal réduit :

La vérification s'effectue par la formule suivante : $N_{rd} = \frac{N}{B f_{c28}} \le 0.3$ [1]

Où:

N: l'effort normal maximal.

B: section du poteau.

 F_{c28} : résistance caractéristique du béton.

	B cm ²	N KN	F _{c28}	$N_{\rm rd}$	
Poteau 35*35	35×35	757.41	25	0.24	Cv
Poteau 40*40	40×40	974.31	25	0.24	Cv

IV.7 Calcul de la force sismique totale : (RPA art 4.2.3) [1]

La force sismique totale V, appliquée à la base de la structure, doit être calculée successivement dans deux directions horizontales orthogonales selon la formule :

$$V = \frac{A \times D \times Q}{R} \times W$$

A : Coefficient d'accélération de zone.

D : Coefficient d'amplification dynamique moyen.

Q : facteur de qualité.

R : Coefficient de comportement global de la structure.

W: poids total de la structure.

Ces valeurs sont obtenues après les classifications du projet d'après le tableau par RPA99 version 2003.

IV.7.1 Coefficient d'Accélération de Zone « A » : [1]

Le coefficient d'accélération de zone « A » est donné par le Tableau 4.1 des (RPA 99/Version 2003) suivant la zone sismique et le groupe d'usage du bâtiment Pour notre projet : groupe usage2 et Zone IIa.

Tableau IV.9 : Coefficient d'Accélération de Zone A.

/	ZONE						
Groupe	I	IIa	IIb	III			
1A	A 0.15 0.25		0.30 0.40				
1B	IB 0.12 0.20		0.25	0.30			
2	0.10	0.10 0.15		0.25			
3	0.07	0.10	0.14	0.18			

Donc : A = 0.15

IV.7.2 Facteur d'amplification dynamique moyen « D » : [1]

Fonction de la catégorie de site, du facteur de correction d'amortissement η et de la période fondamentale de la structure T.

$$\mathbf{D} = \begin{cases} 2.5\eta & 0 \le T \le T_2 \\ 2.5\eta \left(\frac{T_2}{T}\right)^{\frac{2}{3}} & T_2 \le T \le 3.0 \text{ s} \\ 2.5\eta \left(\frac{T_2}{3}\right)^{\frac{2}{3}} \left(\frac{3}{T}\right)^{\frac{5}{3}} & T \ge 3.0 \text{ s} \end{cases}$$

η: Facteur de correction d'amortissement.

T : Période fondamentale.

T₂: Période caractéristique, associée à la catégorie de site.

• Calcule de facteur de correction d'amortissement η : [1]

Donné par la formule:

$$\eta = \sqrt{7/(2+\xi)} \ge 0.7$$

D'abord on calcule Pourcentage d'Amortissement Critique E.

• Pourcentage d'Amortissement Critique ξ:

 ξ (%) est le pourcentage d'amortissement critique fonction du matériau constitutif, du type de structure et de l'importance des remplissages.

Tableau IV.10 : Valeurs de ξ (%).

Remplissage	Portiq	Voiles ou murs	
	Béton armé	Acier	Béton
			armé/maçonnerie
Léger	6	4	10
Dense	7	5	

D'après le Tableau $\xi = 8.5 \%$

Donc:
$$\eta = \sqrt{7/(2+8.5)} = 0.816 \ge 0.7$$

• Estimation de la période fondamentale de la structure : [1]

La période fondamentale correspond à la plus petite valeur obtenue par les formules 4-6 et 4-7 du RPA99 version 2003.

$$T = T_{min}$$

$$T = C_T h_N^{3/4}$$

$$T = 0.09 h_N / \sqrt{D}$$

h_N: hauteur mesurée en mètre à partir de la base de la structure jusqu'au dernier niveau.

On à : $h_N = 15.98 \text{ m}$

C_T: coefficient fonction de système de contreventement du type de remplissage et donné par le tableau 4.6 (dans notre cas on a Portiques auto-stables en béton armé ou en acier avec remplissage en maçonnerie)

Donc: $C_T = 0.05$

$$T = C_T h_N^{3/4} \Rightarrow T = 0.05 \times (15.98)^{3/4}$$

Alors : T = 0.40 s.

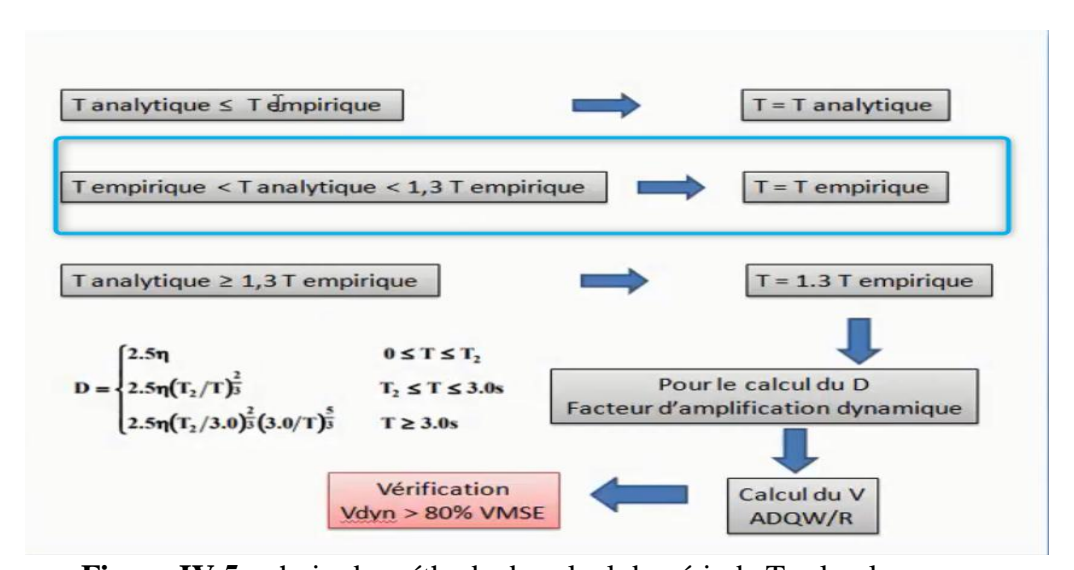


Figure IV.5 : choix de méthode de calcul de période T selon le cas

Tableau IV.11: Valeurs du coefficient C_{T.}

Cas n°	Système de contreventement	$\mathbf{C}_{\mathbf{T}}$
1	Portiques auto-stables en béton armé sans remplissage en maçonnerie	0.075
2	Portiques auto-stables en acier sans remplissage en maçonnerie	0.085
3	Portiques auto-stables en béton armé ou en acier avec remplissage en	0.050
4	maçonnerie Contreventement assuré partiellement ou totalement par des voiles en béton armé, des palées triangulées et des murs en maçonnerie	0.050

Dans les cas n° 3 et 4, on peut également utiliser aussi la formule :

$$\mathbf{T} = \mathbf{0.09}\,\mathbf{h_N}\big/\sqrt{\mathbf{D}}$$

D : dimension du bâtiment mesurée à sa base dans la direction de calcule.

Diréction X :

$$T=Ct.hn^{3/4} = 0.05*15.98^{3/4} = 0.4 s$$

$$T = 0.09 \text{hn} / \sqrt{Dx}$$
 dx = 23.4m

$$0.09*15.98/\sqrt{23.4} = 0.3$$

** T empirique = min
$$(1;2) = 0.3$$
 s

$$1.3* \text{ T empirique} = \frac{0.39}{0.39} \text{ s}$$

T analytique = 0.39 s

Diréction Y:

$$T = Ct.hn^{3/4} = 0.05*15.98^{3/4} = 0.4 s$$

$$T = 0.09 \text{hn} / \sqrt{D_Y} \dots dY = 8.9 \text{m}$$

$$0.09*15.98/8.9=0.48$$

** Tempirique =
$$0.4 \text{ s}$$

$$1.3 * Tempirique = 0.52$$

T analytique = 52s

IV.7.3 Calcul facteur d'Amplification D:

 T_1 et T_2 : périodes caractéristiques associées à la catégorie de site (tableau 4.7).

 $S_3 \Rightarrow T_1 = 0.15$ et $T_2 = 0.5$ on obtient :

Sens X:

La condition

La condition $T \leq T_2$

Donc:
$$2.5\eta = 2 * 0.816 = 1.632$$

$$D = 1.632$$

Sens Y:

$$2.5\eta = 2 * 0.816 = T \le T_2$$

Donc: D = 1.632

IV.7.4 Coefficient de Comportement Global de la Structure « R » : [1]

Sa valeur unique est donnée par le tableau 4.3 des RPA99/version 2003 en fonction du système de contreventement.

Tableau IV.12: valeurs du coefficient de comportement R.

Cat	Description du système de contreventement	Valeur de R
<u>A</u>	Béton armé	
la	Portiques auto-stables sans remplissages en maçonnerie rigide	5
1b	Portiques autos-tables avec remplissages en maçonnerie rigide	3.5
2	Voiles porteurs	3.5
3	Noyau	3.5
4a	Mixte portiques/voiles avec interaction	5
4b	Portiques contreventés par des voiles	4
5	Console verticale à masses réparties	2
6	Pendule inverse	2

Dans notre cas: Voiles porteurs

Alors : **R**= **3.5**

IV.7.5 Facteur de qualité « Q » : [1]

Le facteur de qualité de la structure est fonction de :

- la redondance et de la géométrie des éléments qui la constituent.
- la régularité en plan et en élévation.
- la qualité du contrôle de la construction.

La valeur de Q est déterminée par la formule : $Q = 1 + \sum_{1}^{5} P_q$

 P_q est la pénalité à retenir selon que le critère de qualité q " est satisfait ou non".

Sa valeur est donnée au tableau 4.4des RPA99/version 2003.

Tableau IV.13 : Valeurs des pénalités Pq.

« Critère q »	Sens X	Sens Y
1. Conditions minimales sur les files de contreventement	0	0.05
2. Redondance en plan	0	0.05
3. Régularité en plan	0	0
4. Régularité en élévation	0	0
5. Contrôle de la qualité des matériaux	0.05	0.05
6. Contrôle de la qualité de l'exécution	0.05	0.05

$$\triangleright$$
 Sens X → Q=1+0.1 =1.1

Sens
$$Y \rightarrow Q = 1 + 0.2 = 1.2$$

IV.7.6 Poids totale de la structure « W »:

W est égal à la somme des poids W_i, calculés à chaque niveau (i) :

$$W = \sum_{i=1}^{n} W_{i} \qquad \text{avec} \quad W_{i} = W_{Gi} + \beta W_{Qi}$$

 W_{Gi} : poids dû aux charges permanentes et à celles des équipements fixes éventuels, solidaires de la structure

 $W_{\mbox{\scriptsize Q}\mbox{\scriptsize i}}$: charges d'exploitation

 β : Coefficient de pondération, fonction de la nature et de la durée de la charge d'exploitation et donné par le tableau 4.5. RPA99version2003

Tableau IV.14: Valeurs du coefficient de pondérationβ.

1	Bâtiments d'habitation, bureaux ou assimilés	0.20
2	Bâtiments recevant du public temporairement :	
	- Salles d'exposition, de sport, lieux de culte, salles de réunions	0.30
	Avec places debout.	
	- Salles de classes, restaurants, dortoirs, salles de réunions avec	0.40
	Places assises	
3	Entrepôts, hangars	0.50
4	Archives, bibliothèques, réservoirs et ouvrages assimilés	1.00
5	Autres locaux non visés ci-dessus	0.60

Dans notre cas : $\beta = 0.20$

IV.7.7 Vérification de l'effort tranchant à la base :

La résultante des forces sismique à la base V_t obtenue par combinaison des valeurs modales ne doit pas être inférieure à 80% de la résultante des forces sismique déterminée par la méthode

statique équivalente V pour une valeur de la période Fondamentale donnée par la formule empirique appropriée.

 $V_{dynamique} > 80\% V_{statique}$ Avec:

V_{dynamique}: la résultante des forces sismique à la base.

V_{statique} : la résultante des forces sismiques calculée par la méthode statique équivalente.

Si Vdynamique< $0.80~V_{statique}$, il faudra augmenter tous les paramètres de la réponse (forces, Le Déplacements, moment,) Dans le rapport $0.8~V_{statique}/V_{dynamique}$.

✓ Calcule de l'effort sismique totale « V » :

Sens x:

$$V_x = \frac{\text{A.D.Q}}{R} \text{ W} \quad \Rightarrow V_x = \frac{0.15 \times 1.632 \times 1.10}{3.5} \times \text{ } 11 \text{ } 705,71 \Rightarrow V_x = 900.60 \text{ KN}$$

0.8VX = 720.48 KN

Sens Y:

$$V_y = \frac{\text{A.D.Q}}{\text{R}} \, W \quad \Rightarrow V_y = \frac{0.15 \times 1.632 \times 1.2}{3.5} \times \frac{11\ 705,71}{\text{A.S.}} \Rightarrow V_y = 982.47\ \text{KN}$$

0.8vy =**785.98** KN

Les Résultats d'action sismique à la base trouvée par logiciel ROBOT dans les deux sens :

Tableau IV.15 : Vérification de l'effort tranchant à la base.

Les sens	0.8V _{statique} (KN)	V _{dynamique} (KN)	$V_{ m dynamique} > 80\%$ $V_{ m statique}$
Suivant X	720.48	1080.15	Condition vérifiée
Suivant Y	785.98	1144.96	Condition vérifiée

IV.8 Vérification des déplacements latéraux inter étages :

L'une des vérifications préconisées par le **RPA99 version 2003**, concerne les déplacements latéraux inter étages.

En effet, selon l'article 5.10 du **RPA99 version 2003** l'inégalité ci-dessous doit nécessairement être vérifiée : $\Delta_K^x \leq \overline{\Delta}$ et $\Delta_K^y \leq \overline{\Delta}$

Avec : $\overline{\Delta} = 0.01he$

Où : he représente la hauteur de l'étage.

Avec:

$$\delta_K^x = R.\, \delta_{eK}^x \qquad \text{et} \quad \delta_K^y = R.\, \delta_{eK}^y \quad \Delta_K^x = \delta_K^x - \delta_{K-1}^x \qquad \text{et} \quad \Delta_K^y = \delta_K^y - \delta_{K-1}^y$$

 Δ_K^x : Correspond au déplacement relatif au niveau K par rapport au niveau K-1 dans le sens x-x (idem dans le sens y-y, Δ_K^y).

 δ_{eK}^x : Est le déplacement horizontal dû aux forces sismiques au niveau K dans le sens x-x (idem dans le sens y-y, δ_{eK}^y).

Etage	R	$\delta_{eK}^{\chi}(cm) \times R$	$\delta_{eK}^{y}(cm) \times R$	$\Delta_K^{x}(cm) \times R$	$\Delta_K^{\mathcal{Y}}(cm) \times R$	$\overline{\Delta}(mm)$	Observation
RDC	3.5	0.221	0.359	0.221	0.359	3.74	Vérifier
1	3.5	0.539	0.893	0.318	0.534	3.06	vérifier
2	3.5	0.901	1.474	0.362	0.581	3.06	vérifier
3	3.5	1.261	2.023	0.360	0.549	3.06	vérifier
4	3.5	1.601	2.520	0.340	0.497	3.06	vérifier

Tableau IV.16 : Vérification des déplacements inter étages du bloc.

IV.9 Justification vis-à-vis de l'effet P- Δ .

Les effets du 2° ordre (ou effet P- Δ) peuvent être négligés dans le cas des bâtiments si la condition suivante est satisfaite à tous les niveaux :

$$\theta = \frac{P_K \Delta_K}{V_K h_K} \le 0.10$$
 "RPA99 version 2003" [2]

 P_K : Poids total de la structure et des charges d'exploitation associées au-dessus du niveau K.

$$P_K = \sum_{i=K}^n \left(W_{Gi} + \beta W_{Qi} \right)$$

 V_K : Effort tranchant d'étage au niveau "K"

$$V_K = F_t + \sum_{i=K}^n F_i$$

 Δ_K : Déplacement relatif du niveau "K" par rapport à "K-I"

 h_K : Hauteur de l'étage K''

- Si $0.10 < \theta_K \le 0.20$, Les effets $P-\Delta$ peuvent être pris en compte de manière approximative en amplifiant les effets de l'action sismique calculés au moyen d'une analyse élastique du I° ordre par le facteur $\frac{1}{(1-\theta_V)}$
- Si $\theta_K > 0.20$, la structure est partiellement instable et doit être redimensionnée.

Avec:

$$\begin{cases} F_t = 0 & si \quad T \le 0.7s \\ F_t = 0.07TV & si \quad T > 0.7s \end{cases}$$

Les résultats obtenus sont regroupés dans le tableau suivant:

Tableau IV.17 : Vérification de l'effet $P-\Delta$ au sens x-x.

Etage	P kn	ΔX m	VX kn	H m	θX	Vérification
RDC	11705.71	0.00221	1079.94	3.74	0.006405	OK
1	9067.44	0.00318	928.39	3.06	0.01014986	OK
2	6750.57	0.00362	725.06	3.06	0.01101422	OK
3	4433.7	0.0036	508.29	3.06	0.01026209	OK
4	2119.06	0.0034	261.67	3.06	0.00899802	OK

Tableau IV.18: Vérification de l'effet P- Δ au sens y-y.

Etage	P kn	ΔY m	VY kn	H m	θX	Vérification
RDC	20764.22	0.00359	1144.80	3.74	0.0174104	OK
1	17707.81	0.00534	1005.17	3.06	0.03074292	OK
2	15045.57	0.00581	795.39	3.06	0.03591561	OK
3	12383.41	0.00549	556.77	3.06	0.0399039	OK
4	9771.93	0.00497	284.75	3.06	0.05573803	OK

IV.10 Vérification au renversement : (RPA99/V2003 Art.5.5.)[1]:

Le moment de renversement qui peut être causé par l'action sismique doit être calculé par

rapport au niveau de contact sol-fondation.

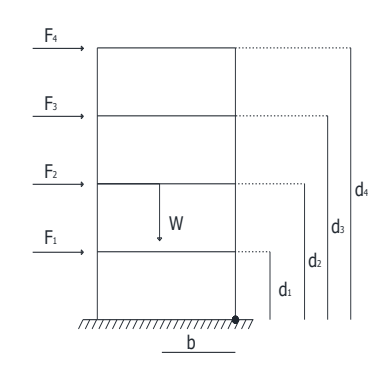
Le moment stabilisant sera calculé en prenant en compte le poids total équivalent au poids de la construction, au poids des fondations et éventuellement au poids du remblai. $M_s > M_r$

Avec:

M_s: moment stabilisant

M_r: moment de renversement.

Cette condition d'équilibre se réfère à la stabilité d'ensemble du bâtiment ou de l'ouvrage. Soumis à des effets de renversement et/ou de glissement



$$\checkmark$$
 $M_{renversement} = \sum_{n=1}^{n} F_i \times d_i$

$$\checkmark$$
 $M_{stabilisant} = W \times b$

b: la distance au centre de gravité selon la direction x-x et y-y (X_g ; Y_g).

Il faut vérifier que :

$$\frac{\text{Mstabilisant}}{\text{Mrenversement}} \ge 1,5$$

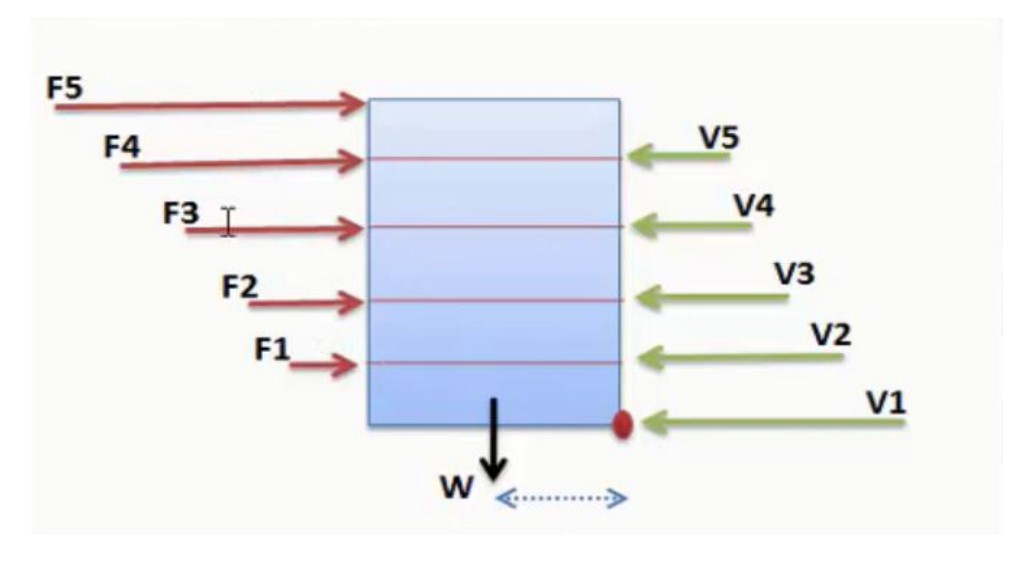


Figure IV.6: distribution des forces sismiques et efforts tranchants sur la construction.

Tableau IV.19: Valeurs des moments de renversement et moment stabilisant selon xx.

ETAGE	Vx (KN)	fx	h (m)	W (KN)	Xg (m)	Mr (KN)	Ms (KN)	Vérification
RDC	1079.94	59.09	3.74			244.555		OK
1	928.39	136.26	6.8			1229.386		OK
2	725.06	207.12	9.86	11 705,71	12.842	2484.934	150324.728	OK
3	508.29	250.26	12.92	11 /03,/1		3404.311		OK
4	261.67	262.98	15.98			24124.428		OK

Tableau IV.20: Valeurs des moments de renversement et moment stabilisant selon y-y

ETAGE	Vy (KN)	fy	h (m)	W (KN)	Yg (m)	Mr (KN)	Ms (KN)	Vérification
RDC	1144.80	139.63	3.74			427.268		OK
1	1005.17	209.78	6.8			1283.854		OK
2	795.39	238.62	9.86	11 705,71	6.626	2190.532		OK
3	556.77	272.02	12.92	11 /05,/1		3329.525	150324.728	OK
4	284.75	284.75	15.98			4356.675		OK

CHAPITRE V Ferraillages des éléments porteurs

V.1 Introduction:

La superstructure est la partie supérieure du bâtiment, c'est l'ensemble des poteaux, poutres et voiles, liés rigidement et capables de reprendre la totalité des forces verticales et horizontales (ossature auto stable). Ces éléments sont réalisés en béton armé doivent être bien armés et bien disposés de telle sorte qu'ils puissent supporter et reprendre tous genre de sollicitations.

Le ferraillage des éléments résistants devra être conforme aux règlements en vigueur le CBA93 et le RPA99 version 2003

V.2 Vérification spécifique sous sollicitations normales :

Avant de calculer le ferraillage il faut d'abord faire la vérification prescrite par le RPA99/2003 article 7.4.3 dans le but d'éviter ou limiter le risque de rupture fragile sous sollicitation d'ensemble dues au séisme.

L'effort normal de compression est limité par la condition suivante :

$$V = \frac{Nd}{Bc \times F_{c28}} \le 0.3$$

Avec:

N_d : L'effort du poteau le plus sollicité sous combinaison sismique.

Bc : L'aire (la section brute obtenue après calcul sismique) de cette dernière.

F_{c28}: La résistance caractéristique du béton à 28 jours.

Tableau V.1: Vérification des nouveaux poteaux sous les sollicitations normales.

Poteau	$N_{d}(t)$	Bc (cm ²)	F_{c28}	V≤0.3	observation
40*40	850.41	40×40	25	0.21	Vérifie

V.3 Ferraillage des poteaux :

Les poteaux sont des éléments structuraux assurant la transmission des efforts des poutres vers les fondations, est soumis à un effort normal « N » et à un moment de flexion « M » dans les deux sens longitudinal, transversal. Donc ils sont calculés en flexion composée

V.3.1 Méthode de ferraillage :

Pour ferrailler les poteaux, on choisit le poteau le plus sollicite dans chaque catégorie (section) et on adoptera le ferraillage trouvé pour le reste des poteaux. Pour le cas de la fissuration, elle sera prise peu préjudiciable si les poteaux ne sont pas exposés aux intempéries extérieures, et sera préjudiciable dans le cas contraire. Pour le calcul d'une section soumise à la flexion composée, 3cas peuvent se présenter :

> Section entièrement tendue : S.E.T.

> Section partiellement comprimée : S.P.C.

> Section entièrement comprimée : S.E.C.

! Les combinaisons de calcul :

En fonction du type de sollicitation, nous distinguons les différentes combinaisons suivantes :

> Selon le R.P.A 99: G + Q±E 0.8G±E

G+Q±1.2E

Les sections d'armatures sont déterminées et calculées selon les sollicitations les plus défavorables :

➤ Effort normal maximal et le moment correspondant : Nmax M correspondant

➤ Effort normal minimal et le moment correspondant : Nmin M correspondant

Moment maximum et l'effort normal correspondant : Mmax N correspondant

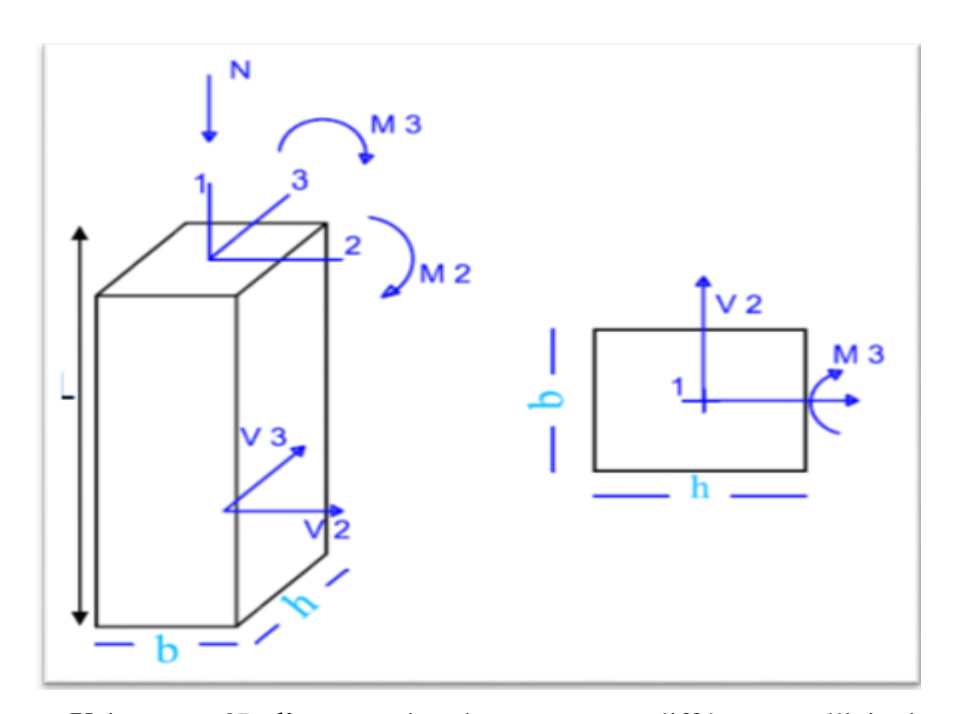


Figure V.1 : vu en 3D d'une section de poteau avec différentes sollicitations

Les recommandations du RPA 99/2003: Coffrage : RPA7.4.1 Les dimensions de la section transversales des poteaux doivent satisfaire lesconditions suivantes:

- Min $(b_1; h_1) \ge 25$ cm en zone IIa.
- Min $(b_1; h_1) \ge h_e/20$.
- $1/4 \le b_1/h_1 \le 4$.

a) Les armatures longitudinales : RPA. article.7.4.2.1.

D'après le RPA99 version 2003, pour une zone sismique II, les armatures longitudinales doivent être à haute adhérence, droites et sans crochet.

- > Leur pourcentage est limité par:
- $0.8\% < \frac{A_s}{B} < 4\%$ Zone courante (Z.C)
- $0.8\% < \frac{A_s}{B} < 6\%$ Zone de recouvrement (Z.R)

As: La section d'acier.

B : Section du béton [cm²].

- Le diamètre minimal est de 12mm.
- La longueur minimale de 40Ø en zone de recouvrement.
- La distance entre les barres verticales dans une face du poteau ne doit pas dépasser 25cm.
- Les jonctions par recouvrement doivent être faites si possible, à l'extérieur des zones nodales.
- La zone nodales est définie par l' et h'. l'=2h
- \rightarrow h'= (max he/6; b1; h1; 60cm)
- \triangleright he : la hauteur de l'étage. (h₁; b₁) :
- > Dimensions de la section transversale du poteau

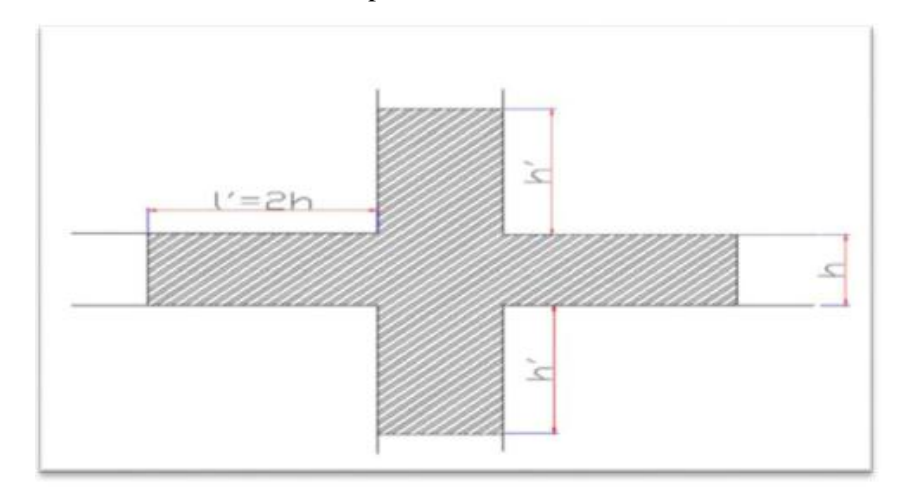


Figure V.2: Zone nodale.

b) Les armatures transversales : RPA article.7.4.2.2.

Les armatures transversales des poteaux sont calculées à l'aide de la formule suivante :

$$\frac{At}{t} = \frac{\rho V u}{h1 \, x \, Fe}$$

 V_u : est l'effort tranchant de calcul.

 h_1 : hauteur totale de la section brute.

f_e : contrainte limite élastique de l'acier d'armature transversale.

 ρ : est un coefficient correcteur qui tient compte du mode fragile de la rupture par effort tranchant, il est pris égal à 2,50 si l'élancement géométrique λ_g dans la direction considérée estsupérieur ou égal à 5 et à 3,75 dans le cas contraire.

t: espacement entre les armatures transversales telle que :

> zone nodale :

 $t \le Min (10\emptyset l, 15cm)$ en zone II.

> zone courante :

t'≤ 15 Øl) en zone II

Où Φ_1 est le diamètre minimal des armatures longitudinales du

poteauLa quantité d'armatures transversales minimales :

$$\begin{array}{lll} \checkmark & Si: \lambda_g \!\! \geq 5: & A_{min} = 0.3\% \ (t \!\! \times \!\! b_1) \\ \checkmark & Si: \lambda_g \!\! \leq 3: & A_{min} = 0.8\% \ (t \!\! \times \!\! b_1) \\ \checkmark & Si: 3 < \!\! \lambda_g \!\! < 5: & \end{array}$$

Interpoler entre les valeurs limites précédentes. λ_g : est l'élancement géométrique du poteau:

$$\lambda_{\rm g} = \left(\frac{Lf}{a} \ ou \ \frac{Lf}{h}\right)$$

Avec:

a et b: dimensions de la section droite du poteau dans la direction de déformation considérée, l_f : longueur de flambement du poteau.

Les cadres et les étriers doivent être fermés par des crochets à 135° ayant une longueur droitede $10~\Phi_t min$.

• Les Sollicitations :

 $G+Q\pm E$ **ELU** $0.8G\pm E$ M max et N corres N^{max} et M^{corres} N^{min}et M^{corres} Mmax Nmax Ncorres Mcorres N^{min} Mcorres Poteau 40×40 740.17 35.90 53.36 850.41 258.37 39.91 35×35 251.75 22.49 51.6 201.51 18.78 48.03

Tableau V.2 : Les Sollicitations des poteaux (40×40) trouvées par le ROBOT.

➤ Le ferraillage des poteaux (40×40) :

Armatures longitudinales :

$$b = 40 \text{ cm}$$
; $h = 40 \text{cm}$; $d = 36 \text{cm}$; $d' = 4 \text{ cm}$

✓ Cas 01 (ELU):

$$N_{max} = 850.41 \text{KN}$$
 ; $M_{corre} = 35.90 \text{KN.m}$

$$e_0 = \frac{Mu}{Nu} = \frac{35.90}{850.41} = 0.042 \text{ m}$$

$$e_0 < \frac{h}{2} = \frac{0.4}{2} = 0.2 < 0.225$$
 Le centre de pression est à l'intérieure de la section.

Alors:

N est un effort de compression et le centre de pression est à l'intérieure de la section du béton, donc la section est partiellement comprimée(SPC) et le calcul sera fait par la flexion simple. On doit vérifier la condition suivant :

$$(0.337 - 0.81d') \times b \times h \times f_{bu} \ge N_u \times (d-d') - M_f$$

➤ Moment fictif (M_f):

$$M_f = M_u + N_u (d - h/2) \Rightarrow M_f = 35.90 + 850.41 \left(0.36 - \frac{0.40}{2}\right)$$

$$M_f = 171.965 \text{ KN.m}$$

$$A = (0.337 - 0.81d') \times b \times h \times f_{bu}$$

$$A = (0.337 - 0.81 \times 0.04) \times 0.40 \times 0.40 \times 14.16 \times 10^{3} = 690.101 \text{ KN.m}$$

$$B = N_u \times (d\text{-}d\text{'})\text{-}M_f$$

$$B = 850.41 \times (0.36-0.04) - 171.965 = 100.166 \text{ KN.m}$$

On à : $A \ge B \Rightarrow$ section partiellement

comprimée. Alors:

$$N_u = 850.41 \text{ KN}$$
; $M_f = 171.965 \text{ KN.m}$ $f_{bu} = 14.16 \text{ MPA}$

$$\mu_{\text{ua}} = \frac{Mf}{fbu.b.d^2} = \frac{171.965 * 10^6}{14.16 \times 400 \times 360^2} = 0.23$$

 μ_{ua} = 0.23 < 0.493 \Rightarrow section partiellement comprimé

$$0.23 < \mu_{lim} = 0.392 \Rightarrow \mu_{ua} < \mu_{l}$$

Donc : pivot A ; les armatures comprimées ne sont pas nécessaires (A' = 0).

$$\alpha = 1.25(1 - \sqrt{1 - 2u})$$

$$Z = d (1 - 0.4 \alpha)$$

$$\mu = 0.23 ===> \alpha = 0.33$$

$$Z = 312 \text{ mm}$$

$$\bar{\sigma}_{s} = \frac{fe}{\delta s} = 348 \text{ MPa}$$

A calcul =
$$\frac{M}{\bar{\sigma} \cdot Z} = \frac{171.965 * 10^6}{348 * 312} = 1583.82 \text{ mm}^2$$

Donc: $A_{calcul} = 15.83 \text{ cm}^2$

$$A = A_{st} - \frac{N}{\bar{\sigma s}} = 1583.82 - \frac{850.41 \times 10^3}{348} = -859.88 \text{ mm}^2$$

A=0cm²: Il n'est pas nécessaire de mater des armatures, le béton seul suffira.

✓ Cas 02
$$(0.8G \pm E)$$
:

$$N_{max} = 258.37KN$$
 ; $M_{corre} = 39.91KN.m$

$$e_0 = \frac{Mu}{Nu} = \frac{39.91}{258.37} = 0.154 \text{ m}$$

 $e_0 < \frac{h}{2} = \frac{0.4}{2} = 0.2 < 0.225$ Le centre de pression est à l'intérieure de la section.

Alors:

N est un effort de compression et le centre de pression est à l'intérieure de la section du béton, donc la section est partiellement comprimée(SPC) et le calcul sera fait par la flexion simple.

On doit vérifier la condition suivant :

$$(0.337 - 0.81 d') \times b \times h \times f_{bu} \ge N_u \times (d \text{--} d') \text{--} M_f$$

➤ Moment fictif (M_f):

$$M_f = M_u + N_u (d - h/2) \Rightarrow M_f = 39.91 + 258.37 \left(0.36 - \frac{0.40}{2}\right)$$

 $M_f = 81.249 \text{ KN.m}$

 $A = (0.337 - 0.81d') \times b \times h \times f_{bu}$

 $A = (0.337 - 0.81 \times 0.04) \times 0.40 \times 0.40 \times 14.16 \times 10^{3} = 690.101 \text{ KN.m}$

$$B = N_u \times (d-d') - M_f$$

 $B = 258.37 \times (0.36-0.04) - 81.849 = 0.829 \text{ KN.m}$

On à : $A \ge B \Rightarrow$ section partiellement

comprimée. Alors:

$$N_u = 258.37 \; KN \; \; ; M_f = 81.249 \; KN.m \quad f_{bu} = 14.16 \; MPA \label{eq:nu}$$

$$\boldsymbol{\mu}_{\text{ua}} = \frac{Mf}{fbu.b.d^2} = \frac{81.249 * 10^6}{14.16 \times 400 \times 360^2} = 0.11$$

 μ_{na} = 0.11 < 0.493 \Rightarrow section partiellement comprimé

$$0.11 < \mu_{lim} = 0.392 \Rightarrow \mu_{ua} < \mu_{l}$$

Donc : pivot A ; les armatures comprimées ne sont pas nécessaire (A' = 0).

$$\alpha = 1.25(1 - \sqrt{1 - 2u})$$

$$Z = d (1 - 0.4 \alpha)$$

$$\mu = 0.11 = ==> \alpha = 0.14$$

$$Z = 339 \text{ mm}$$

$$\bar{\sigma}_{s} = \frac{fe}{\delta s} = 348 \text{ MPa}$$

A calcul =
$$\frac{M}{\bar{\sigma} \cdot Z} = \frac{81.249*10^6}{348*339} = 688.71 \text{ mm}^2$$

Donc: $A_{calcul} = 6.88 \text{ cm}^2$

$$A = A_{st} - \frac{N}{\bar{\sigma}s} = 688.71 - \frac{258.37 \times 10^3}{348} = -53.73 \text{ mm}^2$$

A=0cm²: Il n'est pas nécessaire de mater des armatures, le béton seul suffira.

$$\checkmark$$
 Cas 03 $(G + Q \pm E)$:

$$N_{max} = 740.17KN$$
 ; $M_{corre} = 53.36KN.m$

$$e_0 = \frac{Mu}{Nu} = \frac{53.36}{740.17} = 0.072 \text{ m}$$

 $e_0 < \frac{h}{2} = \frac{0.4}{2} = 0.2 < 0.225$ Le centre de pression est à l'intérieure de la section.

Alors:

N est un effort de compression et le centre de pression est à l'intérieure de la section du béton, donc la section est partiellement comprimée(SPC) et le calcul sera fait par la flexion simple.

On doit vérifier la condition suivant :

$$(0.337 - 0.81d') \times b \times h \times f_{bu} \ge N_u \times (d - d') - M_f$$

➤ Moment fictif (M_f):

$$M_f = M_u + N_u \; (d - h/2 \;) \Rightarrow \!\! M_f \! = \quad 53.36 + 740.17 \left(0.36 - \frac{0.40}{2} \right)$$

$$M_f = 171.787 \text{ KN.m}$$

$$A = (0.337 - 0.81d') \times b \times h \times f_{bu}$$

$$A = (0.337 - 0.81 \times 0.04) \times 0.40 \times 0.40 \times 14.16 \times 10^{3} = 690.101 \text{ KN.m}$$

$$B = N_u \times (d-d') - M_f$$

$$B = 740.17 \times (0.36-0.04) - 171.787 = 65.067 \text{ KN.m}$$

On à : $A \ge B \Rightarrow$ section partiellement

comprimée. Alors:

$$N_u = 740.17 \; KN \; \; ; \; M_f = 171.787 \; KN.m \quad f_{bu} = 14.16 \; MPA \; \;$$

$$\boldsymbol{\mu}_{\text{ua}} = \frac{Mf}{fbu.b.d^2} = \frac{171.787 * 10^6}{14.16 \times 400 \times 360^2} = 0.23$$

$$\mu_{ua} = 0.23 < 0.493$$
 \Rightarrow section partiellement comprimé

$$0.23 < \mu_{lim} = 0.392 \Rightarrow \mu_{ua} < \mu_{l}$$

Donc : pivot A ; les armatures comprimées ne sont pas nécessaire (A' = 0).

$$\alpha = 1.25(1 - \sqrt{1 - 2u})$$

$$Z = d (1 - 0.4 \alpha)$$

$$\mu = 0.23 = ==> \alpha = 0.33$$

$$Z = 312 \text{ mm}$$

$$\bar{\sigma}_s = \frac{fe}{\delta s} = 348 \text{ MPa}$$

A calcul =
$$\frac{M}{\bar{\sigma} \cdot Z} = \frac{171.787 \times 10^6}{348 \times 312} = 1582.18 \text{ mm}^2$$

Donc: $A_{calcul} = 15.82 \text{ cm}^2$

$$A = A_{st} - \frac{\textit{N}}{\bar{\sigma}s} = 1582.18 - \frac{740.17*10^3}{348} = -544.74 \ mm^2$$

A= 0cm² : Il n'est pas nécessaire de mater des armatures, le béton seul suffira.

> Tableau de calcul du ferraillage :

$$A_{min} = 0.8 \% b \times h = 12.8 cm^2$$

TableauV.3 : Les résultats de calcul du ferraillage longitudinal des poteaux (40×40) cm.

Niveau	${f A_{cal}}$	cul (cm ²)	$A_{\min(RPA)}(cm^2)$	A _{max} (cm ²)	A _{adop} (cm ²)	N° de barres
RDC,1	Cas 01 Cas 02	15.83 6.88	14.4	15.83	18.34	6T16+2T20
	Cas 03	15.82				

> Condition de non fragilité : (BAEL 91)

$$A_{min} \ge 0.23 * b * d * \frac{ft28}{fe} /$$
 $f_{t28} = 0.6 + 0.06 f_{c28} = 2.1 \text{ MPa}$

$$A_{min} \ge 0.23 * 400 * 360 * \frac{2.1}{400} = 173.88 \text{ mm}^2$$

$$\implies$$
 A_{min} ≥ 1.73 cm²

$$A_{min} < A_{adopte} \Rightarrow 1.73 \text{cm}^2 < 18.34 \text{ cm}^2$$
....(CV)

> Section maximal:

$$A_{max} = A_s/b \times h < 3\% \dots CV$$

$$A_{max} = A_s/b \times h < 6\%$$
CV

- Armatures transversales :
- ➤ Recommandation du R.P.A:
- Section d'armature :

$$\frac{At}{t} = \frac{\rho a.Vu}{h.fe}$$

où : V_u : l'effort tranchant de calcul.

h: hauteur totale de la section brute.

 ρ_a : Coefficient correcteur en fonction de l'élancement géométrique (λ_g)

 $\rho_a = 2.5 \text{ si l'élancement géométrique}$

 $\lambda g \geq 5$

 $\rho_a = 3.75 \text{ si l'élancement géométrique}$

 $\lambda g \leq 5$

Avec:

$$\lambda_{\rm g} = \max\left[\frac{Lf}{a}, \frac{Lf}{b}\right]$$

Avec:

$$\lambda_{\rm g} = \frac{2.61}{0.4} = 6.5$$

Donc: $\rho a = 2.5$

$$A_{t} = \frac{\rho a.Vu.st}{hl.fe}$$

- ➤ L'espacement St: (BAEL91)
- En zone nodale :

 $S_t \le Min (10\%_L; 15 cm) \Rightarrow min (10 \times 2; 15 cm) = (20; 15 cm)$

$$\Rightarrow S_t {\leq} 15cm$$

On adopte: $S_t = 10 \text{ cm}$

• En zone courante:

$$S_t \le 15$$
Ø $_L = 30 cm$

On adopte: $S_t = 15 \text{ cm}$

➤ Longueur de recouvrement :

$$Lr = 40.00 L \Rightarrow Lr = 40 \times 2$$

Donc: Lr = 80 cm

> Le ferraillage minimum donné par le RPA :

$$A_{tmin} \ge 0.30\% S_t \times b$$

TableauV.4: Les résultats de calcul du ferraillage transversal des poteaux (40×40) cm.

Niveau	ρα	V	S _t (cm) nodal courante		$\mathbf{A_{tmin}}$	$\mathbf{A_{tcalcul}}$	${f A_{adopt}}$
	-						1
Zone I	2.5	43.85	10	15	1.8	1.02	6 Ø 8

➤ Vérification de l'effort de tranchant « cisaillement » [BAEL91] :

On doit vérifier que : $\tau u < \bar{\tau}$ tel que :

$$^{-}\tau = min (0.15f_{c28}/\gamma_b; 4 MPa)$$
(Fissuration préjudiciable)

$$\bar{\tau} = \min (2.5 \text{ MPa}; 4 \text{ MPa}) \Rightarrow \bar{\tau} = 2.5 \text{ MPa}$$

$$\tau_{u} = \frac{Tu}{b*d} = \frac{43.85*10^{3}}{400*400} = 0.27 \text{ MPa}$$

$$\tau u < \tau \Rightarrow 0.27 \text{MPa} < 2.5 \text{ MPa}$$
vérifiée

Les armatures transversales ne sont pas nécessaires.

> Schéma de ferraillage :

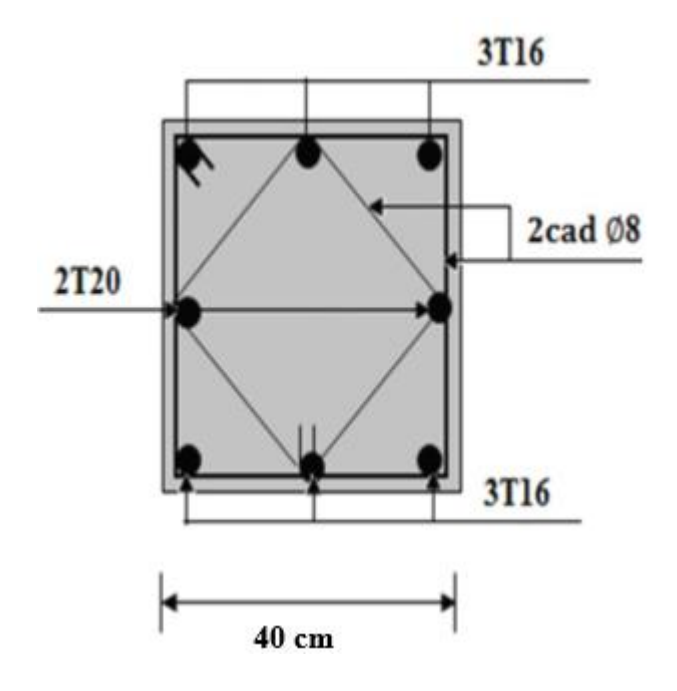


Figure V.3: Schéma de ferraillage des poteaux (40×40) cm.

❖ Le ferraillage des poteaux (35×35) cm :

Tableau V.5: Les Sollicitations des poteaux (35×35) cm trouvées par le ROBOT.

Niveau	Les combinaisons	Solli	citation	N (KN)	M(KN.m)
1 ^{er}	1.35 G + 1.5Q	N_{max}	M_{cor}	251.75	18.78
2ème,3ème	$0.8G \pm E$	N_{\min}	M_{cor}	22.49	48.03
4 ^{ème} Etages	G+Q±E	N_{cor}	$M_{ m max}$	201.51	51.6

$$b = 35 \text{ cm}$$
; $h = 35 \text{cm}$; $d = 30 \text{ cm}$; $d' = 4 \text{ cm}$

Armatures longitudinales:

$$A_{min(RPA)} = 0.8 \% b \times h = 9.80 cm^2$$

Tableau V.6: Les résultats de calcul du ferraillage longitudinal des poteaux (35×35) cm.

Niveau	Acalcul	(cm ²)	$A_{\min(RPA)}$ (cm ²)	$A_{max}(cm^2)$	A _{adop} (cm ²)	N° de barres
	Cas 01	5.11				
Zone I	Cas 02	5.18	9.80	8.12	13.26	6T14+2T16
	Cas 03	8.12				

➤ Condition de non fragilité : (BAEL 91)

$$A_{min} \ge 0.23 * b * d * \frac{ft28}{fe} /$$
 $f_{t28} = 0.6 + 0.06 f_{c28} = 2.1 \text{ MPa}$
 $A_{min} \ge 0.23 * 350 * 300 * \frac{2.1}{400} = 126.78 \text{ mm}^2$
 $\Rightarrow A_{min} \ge 1.26 \text{ cm}^2$
 $A_{min} < A_{adopte} \Rightarrow 1.26 \text{ cm}^2 < 13.26 \text{ cm}^2$(CV)

> Section maximal:

$$A_{max} = A_s/b \times h < 3\% \dots CV$$

 $A_{max} = A_s/b \times h < 6\% \dots CV$

- Armatures transversales :
- > Recommandation du R.P.A:
- Section d'armature :

$$\frac{At}{t} = \frac{\rho a.Vu}{h.fe}$$

où : V_u : l'effort tranchant de calcul.

h: hauteur totale de la section brute.

 ρ_{a} : Coefficient correcteur en fonction de l'élancement géométrique (λ_{g})

 $\rho_a = 2.5 \text{ si l'élancement géométrique } \lambda g \geq 5$

 $\rho_a = 3.75 \text{ si l'élancement géométrique } \lambda g \leq 5$

Avec:

$$\lambda_{\rm g} = \max\left[\frac{Lf}{a}, \frac{Lf}{b}\right]$$

Avec:

$$\lambda_{\rm g} = \frac{2.14}{0.35} = 6.11$$

Donc: $\rho a = 2.5$

$$A_{t} = \frac{\rho a.Vu.st}{hl.fe}$$

- L'espacement St: (BAEL91)
- En zone nodale :
- $S_t \le Min (10\%_L; 15 cm) \Rightarrow min (10 \times 2; 15 cm) = (20; 15 cm)$

 $\Rightarrow S_t {\leq} 15cm$

On adopte: $S_t = 10 \text{ cm}$

• En zone courante:

$$S_t \le 15 \varnothing_L = 30 \text{ cm}$$

On adopte : $S_t = 15$ cm

➤ Longueur de recouvrement :

$$Lr = 40.00 L \Rightarrow Lr = 40 \times 1.4$$

Donc: Lr = 56 cm

> Le ferraillage minimum donné par le RPA :

$$At_{min}\!\geq 0.30\%~St\!\!\times\!\!b$$

Tableau V.7 : Les résultats de calcul du ferraillage transversal des poteaux (35×35) cm.

Niveau	ρα	V		S _t (cm)	A _{t min}	A _{t calcul}	${f A}_{ m adopt}$
	-	nodal courante					
Zone I	2.5	11.49	10	15	1.57	1.02	6Ø8

> Vérification de l'effort de tranchant « cisaillement » [BAEL91] :

On doit vérifier que : $\tau u < \overline{\tau}$ tel que :

 $\bar{\tau} = min (0.15 f_{c28} / \gamma_b; 4 MPa)$ (Fissuration préjudiciable)

 $\bar{\tau} = \min (2.5 \text{ MPa}; 4 \text{ MPa}) \Rightarrow \bar{\tau} = 2.5 \text{ MPa}$

$$\tau_{\rm u} = \frac{Tu}{b*d} = \frac{11.49*10^3}{350*300} = 0.10 \text{ MPa}$$

$$\tau u < \overline{\tau} \Rightarrow 0.10 \text{MPa} < 2.5 \text{ MPa}$$
vérifiée

Les armatures transversales ne sont pas nécessaires.

> Schéma de ferraillage :

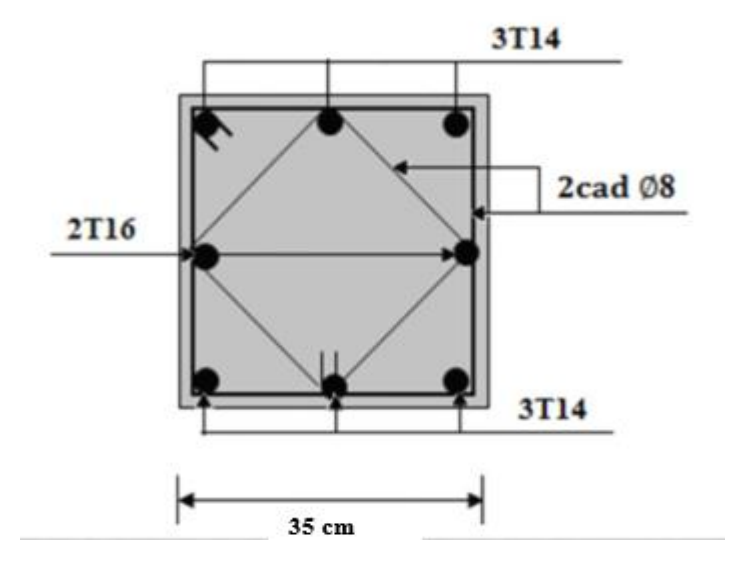


Figure V.4 : Schéma de ferraillage des poteaux (35×35) cm.

❖ Vérification à L'ELS:

\triangleright Les poteaux de section (40×40) :

$$N_s = 615.62 \text{ KN}$$

$$M_s = 25.37 \text{ KN.m}$$

$$e_0 = M_s / N_s = 0.041 \text{ m}$$

• Section homogène:

$$B = b \times h + 15(As + A's) \Rightarrow B = (40 \times 40) + 15(18.34 + 0)$$

$$B = 1875.1 \text{ cm}^2$$

V₁ et V₂seront déterminés par l'équation du moment statique par rapport à la plus comprimés

$$V_1 = \frac{1}{B} \left[\frac{bh^2}{2} + 15(As * c + A \cdot s * d) \right] = \frac{1}{1875.1} \left[\frac{40 * 40^2}{2} + 15(18.34 * 4 + 0) \right]$$

$$V_1 = 17.65$$

$$V_2 = h - V_1 = 40 - 17.65 = 22.35 \text{ cm}$$

• Calcul du moment d'inertie :

$$I = \frac{b}{3}[V1^3 + V2^3] + 15[As(V2 - c)^2 + A \cdot s(V1 - c')^2]$$

$$I = \frac{40}{3} [17.65^3 + 22.35^3] + 15[18.34(22.35 - 4)^2]$$

$$I = 314801.69 \text{ cm}^4$$

• Condition limite 1:

$$C_1 = \frac{I}{B*V1} = \frac{314801.69}{1875.1*17.65} = 9.51 \text{ cm}$$

$$e_1 = e_0 + (V_1 - h/2) \Rightarrow e_1 = 4.1 + (17.65 - 40/2) = 1.75 \text{ cm}$$

e₁<C₁⇒la section est entièrement comprimé.

Vérifications des contraintes :

$$\bar{\sigma}_{bc} = 0.60 f_{c28}$$

$$\overline{\sigma}_{bc} = 0.60 \times 25 = 15 MPa$$

$$\sigma_{bc} = \frac{Ns}{B} + N_S * e_1 \left(\frac{V1}{I}\right) \Rightarrow \sigma_{bc} = \frac{615.62}{1875.1} + 615.62 * 1.75 \left(\frac{17.65}{314801.69}\right)$$

 σ_{bc} = 3.8 MPa

$$\sigma_{bc} \le \overline{\sigma}_{bc} \Rightarrow 3.8 \text{ MPa} \le 15 \text{ MPa} \dots \text{cv}$$

Contrainte d'acier :

La fissuration est préjudiciable donc :

$$\bar{\sigma}_{\text{st}} = \min\left(\frac{2}{3}fe, 110\sqrt{\eta ft28}\right) = 266.66 \text{ MPa}$$

$$\sigma_{st} = 15 \left(\frac{Ns}{B}\right) - Ns * e_1 \left(\frac{V1 - c}{I}\right) = \sigma_{st} = 15 \left(\frac{615.62}{875.1}\right) - 615.62 * 1.75 \left(\frac{17.65 - 4}{314801.69}\right)$$

$$\sigma_{\rm st}$$
 = 105 MPa

\triangleright Les poteaux de section (35×35) cm :

$$N_s = 183.82 \text{ KN}$$

$$M_s = 12.84 \text{ KN.m}$$

$$e_0 = M_s / N_s = 0.06 \text{ m}$$

> Section homogène:

$$B = b \times h + 15(As + A's) \Rightarrow B = (35 \times 35) + 15(13.26 + 0)$$

$$B = 1423.9 \text{ cm}^2$$

V₁ et V₂ seront déterminés par l'équation du moment statique par rapport à la plus comprimés

$$V_1 = \frac{1}{B} \left[\frac{bh^2}{2} + 15(As * c + A \cdot s * d) \right] = \frac{1}{1423.9} \left[\frac{35 * 35^2}{2} + 15(13.26 * 4 + 0) \right]$$

$$V_1 = 15.61 \text{ cm}$$

$$V_2 = h - V_1 = 35 - 15.61 = 19.38 \text{ cm}$$

> Calcul du moment d'inertie :

$$I = \frac{b}{3}[V1^3 + V2^3] + 15[As(V2 - c)^2 + A \cdot s(V1 - c')^2]$$

$$I = \frac{35}{3} [15.61^3 + 19.38^3] + 15[3.26(19.38 - 4)^2]$$

$$I = 140863.40 \text{ cm}^4$$

Condition limite 1:

$$C_1 = \frac{I}{B*V1} = \frac{140863.40}{1423.9* \ 15.61} = 6.33 \text{ cm}$$

 $e_1 = e_0 + (V_1 - h/2) \Rightarrow e_1 = 4.1 + (15.61 - 35/2) = 2.21 \text{ cm}$

e₁<C₁⇒la section est entièrement comprimé.

Vérifications des contraintes :

$$\bar{\sigma}_{bc} = 0.60 \text{ f}_{c28}$$

$$\overline{\sigma}_{bc} = 0.60 \times 25 = 15 MPa$$

$$m{\sigma}_{bc} = \frac{Ns}{B} + N_S * e_1 \left(\frac{V1}{I}\right) \implies \qquad m{\sigma}_{bc} = \frac{183.82}{1423.9} + 183.82 * 2.21 \left(\frac{15.61}{140863.40}\right)$$

$$\sigma_{bc} = 1.7 MPa$$

$$\sigma_{bc} \le \overline{\sigma}_{bc} \Rightarrow 1.7 \text{MPa} \le 15 \text{ MPa} \dots \text{cv}$$

Contrainte d'acier :

La fissuration est préjudiciable donc :

$$\bar{\sigma}_{\text{st}} = \min\left(\frac{2}{3}fe, 110\sqrt{\eta ft28}\right) = 266.66 \text{ MPa}$$

$$\sigma_{\text{st}} = 15\left(\frac{Ns}{B}\right) - \text{Ns} * e_1\left(\frac{V1-c}{I}\right) = \sigma_{\text{st}} = 15\left(\frac{183.82}{1423.9}\right) - 183.82*2.21\left(\frac{15.61-4}{140863.40}\right)$$

$$\sigma_{\rm st}$$
 = 19 MPa

$$\sigma_{st} \leq \bar{\sigma_{st}} \Rightarrow 19 \text{ MPa} \leq 266.66 \text{ MPa} \dots \text{cv}$$

V.4 Ferraillage des poutres :

Les poutres sont des éléments structuraux horizontaux leur rôle est transmettre les chargesapportées par les dalles aux poteaux. Elles sont sollicitées par des moments de flexion. Lemoment fléchissant permet la détermination des dimensions des armatures longitudinales. L'effort tranchant permet de déterminer les armatures transversales.

On distingue deux types de poutres, les poutres principales qui supportent les poutrelles et les poutres secondaires assurent le chaînage.

Les poutres seront calculées en flexion simple d'après les règlements du BAEL 91 modifie 99

On tenant compte des efforts donnés par le logiciel Robot version 2014.

On fait le calcul pour les combinaisons suivantes :

➤ Selon le BAEL 91 les Combinaisons fondamentales sont : article A.3.3

$$1,35G + 1,5Q (ELU)$$
.

$$G + Q$$
 (ELS).

➤ Selon le RPA 99/v2003 les Combinaisons accidentelles sont : article 5.2

$$G + Q \pm E$$

$$0.8G \pm E$$

❖ Armatures longitudinales : (RPA A.7.5.2.1)

- > Le pourcentage total minimum des aciers longitudinaux sur toute la longueur de lapoutre est de 0.5% de la section totale du béton.
- ➤ Le pourcentage total maximum des aciers longitudinaux est de :
- ✓ 4% de la section de béton en zone courante.
- ✓ 6% de la section de béton en zone de recouvrement.
- La longueur minimale de recouvrement est de 40Ø en zone II.
- L'ancrage des armatures longitudinales supérieures et inférieures dans les poteaux de rive et d'angle doit être effectué avec des crochets à 90°.

❖ Armatures transversales : (RPA A.7.5.2.2)

La quantité d'armatures transversales minimales est donnée par :

$$At = 0.003 \times St \times b$$

L'espacement maximum entre les armatures transversales est déterminé comme suit :

- ✓ St = $\min(\frac{h}{4}; 12 * \emptyset L)$ Dans la zone nodale et en travée si les armatures comprimées sont nécessaires.
- ✓ St $\leq \frac{h}{2}$: En dehors de la zone nodale.
- La valeur du diamètre Ø des armatures longitudinales à prendre est le plus petit diamètre utilisé, et dans le cas d'une section en travée avec armatures comprimées, c'est le diamètre le plus petit des aciers comprimés.
- Les premières armatures transversales doivent être disposées à 5 cm au plus du nu de l'appui ou de l'encastrement.

V.4.1 Ferraillage des poutres principales :

$$b = 30 \text{ cm}$$
 ; $h = 40 \text{cm}$; $c = 3 \text{ cm}$; $d = 36 \text{cm}$

***** Calcul des armatures longitudinales :

En travée: (1.35G+1.5Q)

$$M_t = 34.72 \text{ kN. m}$$

Moment ultime réduite :

$$\mu = \frac{Mt}{fbu.b.d^2} = \frac{34.72*10^6}{14.16 \times 300 \times 360^2} = 0.06$$

$$\mu = 0.06 < \ \mu_{lim} = 0.392$$

$$0.06 < \mu_{lim} = 0.392 \Rightarrow \mu_{ua} < \mu_{l}$$

Donc : pivot A ; les armatures comprimées ne sont pas nécessaires (A' = 0).

$$\mu = 0.06 < \mu_{lim} = 0.186 \dots$$
 pivot A

$$\alpha = 1.25(1 - \sqrt{1 - 2u})$$

$$Z = d (1 - 0.4 \alpha)$$

$$\mu = 0.06 = ==> \alpha = 0.07$$

$$Z = 349.92 \text{ mm}$$

$$\bar{\sigma}_{s} = \frac{fe}{\delta s} = 348 \text{ MPa}$$

A calcul =
$$\frac{M}{\bar{\sigma} \cdot Z} = \frac{34.72 * 10^6}{348 * 349.92} = 285.12 \text{ mm}^2$$

Donc:
$$A_{calcul} = 2.85 \text{ cm}^2$$

On adopte : $3HA16 = 6.03 \text{ cm}^2$

➤ Sur appui : (G+Q±E)

$$M_a^{max} = -73.07 \text{ KN.m}$$

Moment ultime réduite :

$$\mu = \frac{Mt}{fbu.b.d^2} = \frac{73.07*10^6}{14.16 \times 300 \times 360^2} = 0.13$$

$$\mu = 0.13 < \mu_{\text{lim}} = 0.392$$

$$0.13 < \mu_{lim} = 0.392 \Rightarrow \mu_{ua} < \mu_{l}$$

Donc : pivot A ; les armatures comprimées ne sont pas nécessaires (A' = 0).

$$\alpha = 1.25(1 - \sqrt{1 - 2u})$$

$$Z = d (1 - 0.4 \alpha)$$

$$\mu = 0.13 = = = > \alpha = 0.17$$

$$Z = 335.52 \text{ mm}$$

$$\bar{\sigma}_{s} = \frac{fe}{\delta s} = 348 \text{ MPa}$$

A calcul =
$$\frac{M}{\bar{\sigma} \cdot Z} = \frac{73.07 * 10^6}{348 * 335} = 626.77 \text{ mm}^2$$

Donc:
$$A_{calcul} = 6.2 \text{ cm}^2$$

On adopte : $3HA14+3HA16 = 10.65 \text{ cm}^2$

> Condition de non fragilité : (BAEL 91 A.4.2.1)

$$A_{min} \ge 0.23 * b * d * \frac{ft28}{fe}$$
 $f_{c28} = 0.6 + 0.06 f_{c28} = 2.1 \text{ MPa}$

$$A_{min} \ge 0.23 * 300 * 360 * \frac{2.1}{400} = 130.41 \text{ mm}^2$$

$$\implies$$
 A_{min} ≥ 1.3 cm²

> Armatures minimales : (RPA A.7.5.2.1)

$$A_{min} = 0.5\% (b \times h) = 0.5\% (30 \times 40) = 6 \text{ cm}^2$$

> Armatures maximales : (RPA A.7.5.2.1)

Zone nodale :
$$A_{max} = 4\%$$
 (b × h) = $48cm^2$

Zone de recouvrement :
$$A_{max} = 6\%$$
 (b x h) = 72 cm²

Calcul du ferraillage transversal :

Les armatures transversales des poutres sont calculées à l'aide de la formule (**BAEL91**) :Øt≤

Min (h/35; b/10;
$$\emptyset_1$$
) cm $\Rightarrow \emptyset_t = \text{Min} (40/35; 30/10; 1.2)$

On prend : $\emptyset_t = 8 \text{ mm}$

> Calcul de l'espacement :

L'espacement est calculé par le **RPA99 V2003** :

La quantité d'armatures transversales minimale est de : $A_t \ge 0.3\% \times S_t \times b[4]$

> Pour la zone nodale :

$$S_t \le Min (h/4; 12\emptyset_l)$$

$$S_t \le Min (40/4; 12 \times 1.4) = 10 cm$$

Donc on adoptera un espacement de : S_t

$$= 10 \text{ cm}.$$

$$A_t \ge 0.3\% \times 10 \times 30 = 0.9 \text{ cm}^2$$

Alors:

On adopte : $3HA8 = 1.51 \text{ cm}^2$

> Pour la zone courante :

$$S_t \le h/2 = 40/2 = 20 \text{ cm}$$

Donc on adoptera un espacement de : $S_t=15$

$$cm.A_t \ge 0.3\% \ \times 15 \times 30 = 1.35 \ cm^2$$

Alors:

On adopte : $4HA8 = 2.01 \text{ cm}^2$

➤ La longueur minimale de recouvrement :

$$Lr = 40 \times \emptyset_1 = 40 \times 1.4 = 56 \text{ cm}$$

Vérifications:

Vérification des contraintes tangentielles :

La vérification à faire vis-à-vis de la contrainte tangentielle maximale est celle relative à la fissuration peu nuisible suivante :

On doit vérifier que: $\tau u < \tau$ tel que :

$$\bar{\tau} = \min (0.2 f_{c28} / \gamma_b; 5MPa)$$

 $\bar{\tau}$ = min (3.33MPa; 5 MPa) $\Rightarrow \bar{\tau}$ = 3.33MPa

$$\tau_{\rm u} = \frac{Tu}{b*d} = \frac{23.38*10^3}{300*360} = 0.21 \text{ MPa}$$

Les armatures transversales ne sont pas nécessaires.

❖ Le ferraillage à ELS :

➤ En travée :

Tableau V.8 : Les Résultats de ferraillage en travée des poutres principales à ELS.

M _t (KN.m)	μ	μι	α	Z(mm)	A (cm ²)	A _{adopt} (cm ²)
25.36	0.04	0.392	0.05	352.64	2.06	4.52

➤ En Appui:

Tableau V.9: Les Résultats du ferraillage en appui des poutres principales à ELS.

M _a (KN.m)	μ	μι	α	Z(mm)	A (cm ²)	A _{adopt} (cm ²)
-53.29	0.09	0.392	0.12	342.72	4.46	10.65

> Vérification à l'ELS

> Vérification des contraintes:

Tableau V.10: Vérification des contraintes à ELS.

Moment service	M_{ser}	25.36 KN.m
Position de l'axe neutre	$1/2 \text{ by}^2 - 15A_{st} (d-y) = 0$	y= 10.69 cm
Moment d'inertie	$I = 1/3 \text{ b.y}^3 + \eta \text{ A}_{st}(d-y)^2 = 0$	I =55648.53cm ⁴
Contrainte dans le béton	$\sigma_{\rm bc} = \frac{Mser*Y}{I}$	σ_{bc} = 4.87MPa
Contrainte dans l'acier	$\boldsymbol{\sigma}_{\mathrm{st}} = \frac{\eta M ser*(d-y)}{I}$	$\sigma_{st} = 173.01 MPa$
Vérification de		4.87 ≤ 15MPavérifiée
contrainte	$\sigma_{bc} \leq \overline{\boldsymbol{\sigma}}_{bc} = 0.60 f_{c28}$	
Dans le béton		
vérifiée Vérification de	$\sigma_{st} \leq \overline{\boldsymbol{\sigma}}_{st} = f_e/\delta_S$	173.01 ≤ 348 MPavérifiée
contrainte dans l'acier		

> La vérification de la flèche :

Tableau V.11: La vérification de la flèche

$\frac{h}{L} \ge \frac{1}{16}$	0.10≥0.0625	Vérifiée
$\frac{As}{bd} \le \frac{4.2}{fe}$	0.004≤ 0.01	Vérifiée
$\frac{h}{L} \ge \frac{Mt}{10M0}$	$0.10 \ge 0.04$	Vérifiée

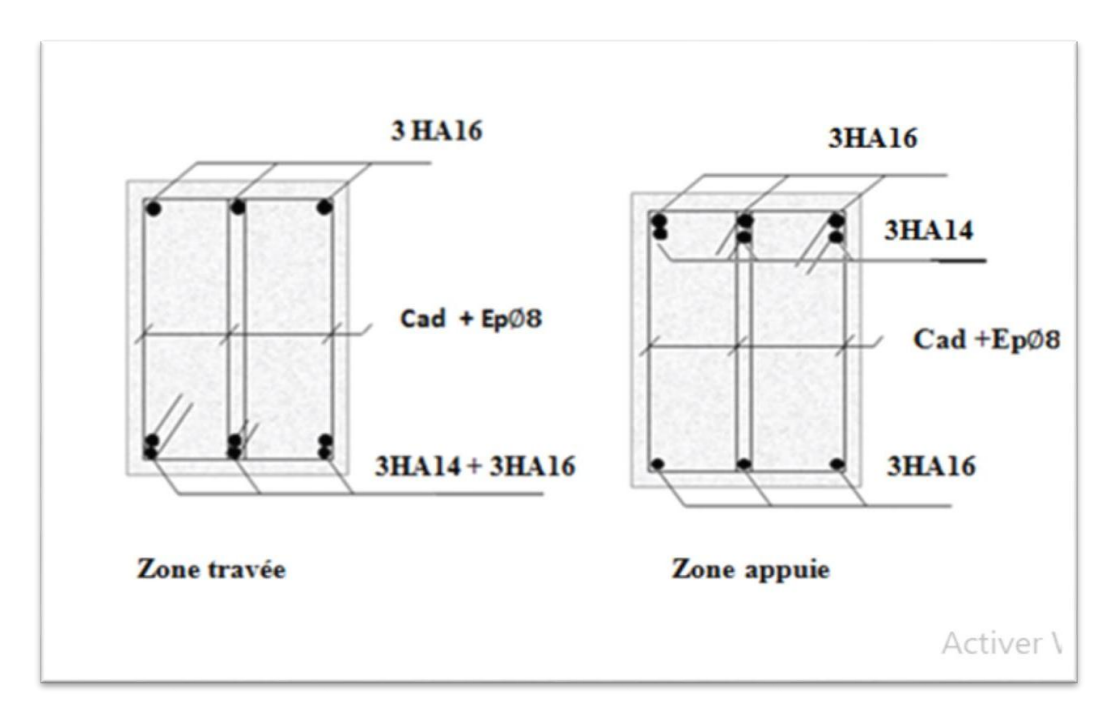


Figure V.5 : Schéma de ferraillage de La poutre principal

V.4.2 Ferraillage des poutres secondaire:

$$b = 30 \text{ cm};$$
 $h = 30 \text{cm};$ $c = 3 \text{ cm};$ $d = 27 \text{cm}$

a) Calcul des armatures longitudinales :

$$M_t = 18.70 \; kN.m$$

Moment ultime réduite :

$$\mu = \frac{Mt}{fbu.b.d^2} = \frac{18.70*10^6}{14.16 \times 300 \times 270^2} = 0.06$$

$$\mu\!=0.06<~\mu_{lim}\!=0.392$$

$$0.06 < \mu_{lim} = 0.392 \Rightarrow \mu_{ua} < \mu_{l}$$

Donc : pivot A ; les armatures comprimées ne sont pas nécessaires (A' = 0).

$$\mu = 0.06 < \mu_{lim} = 0.186 \dots$$
 pivot A

$$\alpha = 1.25(1 - \sqrt{1 - 2u})$$

$$Z = d (1 - 0.4 \alpha)$$

$$\mu = 0.06 = = = > \alpha = 0.07$$

$$Z = 261.58 \text{ mm}$$

$$\bar{\sigma}_s = \frac{fe}{\delta s} = 348 \text{ MPa}$$

$$A_{calcul} = \frac{M}{\bar{\sigma} \cdot Z} = \frac{18.70*10^6}{348*261.58} = 205.42 \text{mm}^2$$

Donc: $A_{calcul} = 2.05 \text{ cm}^2$

On adopte : 3HA12= 3.39 cm²

➤ Sur appui : (G+Q±E)

$$M_a^{max} = -28 \text{ KN.m}$$

Moment ultime réduite :

$$\mu = \frac{Mt}{fbu.b.d^2} = \frac{28*10^6}{14.16 \times 300 \times 270^2} = 0.09$$

$$\mu = 0.09 < \mu_{lim} = 0.392$$

$$0.09 < \mu_{lim} = 0.392 \Rightarrow \mu_{ua} < \mu_{l}$$

Donc : pivot A ; les armatures comprimées ne sont pas nécessaires (A' = 0).

$$\alpha = 1.25(1 - \sqrt{1 - 2u})$$

$$Z = d (1 - 0.4 \alpha)$$

$$\mu = 0.09 ===> \alpha = 0.11$$

$$Z = 257.18 \text{ mm}$$

$$\bar{\sigma}_{s} = \frac{fe}{\delta s} = 348 \text{ MPa}$$

A calcul =
$$\frac{M}{\bar{\sigma \cdot Z}} = \frac{28*10^6}{348*257.18} = 312.84 \text{ mm}^2$$

Donc: $A_{calcul} = 3.12 \text{ cm}^2$

On adopte: 3HA12+3HA14= 8.01 cm²

Condition de non fragilité : (BAEL 91 A.4.2.1)

$$A_{min} \ge 0.23 * b * d * \frac{ft28}{fe}$$
 $f_{t28} = 0.6 + 0.06 f_{c28} = 2.1 \text{ MPa}$

$$A_{min} \ge 0.23 * 300 * 270 * \frac{2.1}{400} = 97.80 \text{ mm}^2$$

$$\implies$$
 A_{min} ≥ 0.97 cm²

> Armatures minimales : (RPA A.7.5.2.1)

$$A_{min} = 0.5\%$$
 (b× h) = 0.5% (30×30) = 4.5cm²

> <Armatures maximales : (RPA A.7.5.2.1)

Zone nodale : $A_{max} = 4\%$ $(b \times h) = 36cm^2$

Zone de recouvrement : $A_{max} = 6\%$ (b x h) = 54 cm²

b) Calcul du ferraillage transversal:

Les armatures transversales des poutres sont calculées à l'aide de la formule

On prend : $\emptyset_t = 8 \text{ mm}$

> Calcul de l'espacement :

L'espacement est calculé par le **RPA99 V2003** :

La quantité d'armatures transversales minimale est de : $A_t \ge 0.3\% \times S_t \times b[4]$

➤ Pour la zone nodale :

 $S_t \le Min (h/4; 12\emptyset_l)$

 $S_t \le Min (30/4; 12 \times 1.4) = 7.5 \text{ cm}$

Donc on adoptera un espacement de : St

= 10 cm.

$$A_t \ge 0.3\% \times 10 \times 30 = 0.9 \text{ cm}^2$$

Alors:

On adopte : $3HA8 = 1.51 \text{ cm}^2$

> Pour la zone courante :

$$S_t \le h/2 = 30/2 = 15 \text{ cm}$$

Donc on adoptera un espacement de : $S_t=15$

$$cm.A_t \ge 0.3\% \times 15 \times 30 = 1.35 cm^2$$

Alors:

On adopte : $4HA8 = 2.01 \text{ cm}^2$

➤ La longueur minimale de recouvrement :

$$Lr = 40 \times \emptyset_1 = 40 \times 1.2 = 48 \text{ cm}$$

Vérifications:

➤ Vérification des contraintes tangentielles :

La vérification à faire vis-à-vis de la contrainte tangentielle maximale est celle relative à la

fissuration peu nuisible suivante :

On doit vérifier que: $\tau u < \tau$ tel que :

 $\bar{\tau} = min (0.2 f_{c28} / \gamma_b; 5 MPa)$

 $\bar{\tau}$ = min (3.33MPa; 5 MPa) $\Rightarrow \bar{\tau}$ = 3.33MPa

$$\tau_{u} = \frac{Tu}{b*d} = \frac{16.55*10^{3}}{300*270} = 0.20 \text{ MPa}$$

 $\tau u < \tau \Rightarrow 0.20 \text{MPa} < 2.5 \text{ MPa}$ vérifiée

Les armatures transversales ne sont pas nécessaires.

❖ Le ferraillage à ELS :

➤ En travée :

Tableau V.12: Les Résultats de ferraillage en travée des poutres principales à ELS.

M _t (KN.m)	μ	μι	α	Z(mm)	A (cm ²)	A _{adopt} (cm ²)
13.37	0.04	0.392	0.05	264.03	1.45	1.57

➤ En Appui :

Tableau V.13: Les Résultats du ferraillage en appui des poutres principales à ELS.

M _a (KN.m)	μ	μι	α	Z(mm)	A (cm²)	A _{adopt} (cm ²)
-20.37	0.06	0.392	0.07	261.64	2.23	3.39

❖ Vérification à l'ELS

▶ Vérification des contraintes:

Tableau V.14: Vérification des contraintes à ELS.

Moent service	$\mathbf{M}_{\mathrm{ser}}$	13.37 KN.m
Position de l'axe neutre	$1/2 \text{ by}^2 - 15A_{st} (d-y) = 0$	y= 5.77 cm
Moment d'inertie	$I = 1/3 \text{ b.y}^3 + \eta \text{ A}_{st}(d-y)^2 = 0$	I =12535.28 cm ⁴
Contrainte dans le béton	$\sigma_{bc} = \frac{Mser*Y}{I}$	σ_{bc} = 6.1MPa
Contrainte dans l'acier	$\boldsymbol{\sigma}_{\mathrm{st}} = \frac{\eta M ser*(d-y)}{I}$	$\sigma_{st} = 339.65 MPa$
Vérification de		$6.1 \le 15$ MPavérifiée
contrainte	$\sigma_{bc} \leq \overline{\boldsymbol{\sigma}}_{bc} = 0.60 \text{ f}_{c28}$	
Dans le béton		
vérifiée Vérification de	$\sigma_{\rm st} \leq \overline{\boldsymbol{\sigma}}_{\rm st} = f_{\rm e}/\delta_{\rm S}$	339.65 ≤ 348 MPavérifiée
contrainte dans l'acier		

> La vérification de la flèche :

$\frac{h}{L} \ge \frac{1}{16}$	0.07 ≥0.0625	Vérifiée
$\frac{As}{bd} \le \frac{4.2}{fe}$	$0.001 \le 0.01$	Vérifiée
$\frac{h}{L} \ge \frac{Mt}{10M0}$	$0.07 \ge 0.06$	Vérifiée

Tableau V.15: La vérification de la flèche

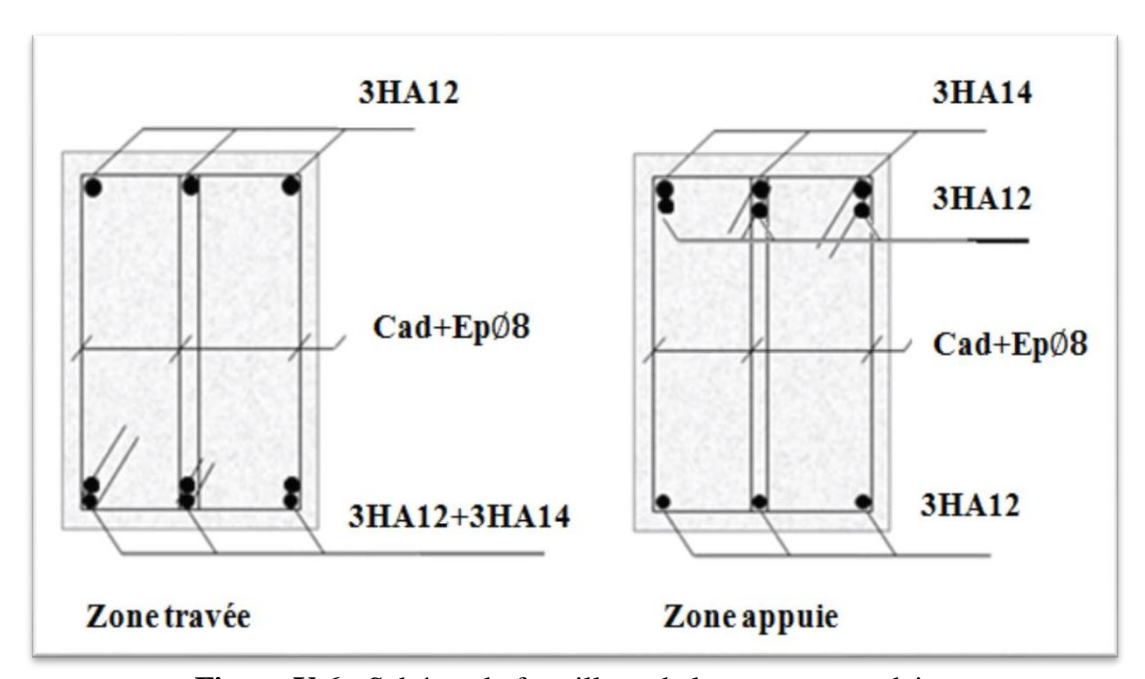


Figure V.6 : Schéma de ferraillage de la poutre secondaire.

V.5 Ferraillage des voiles:

Le RPA99 version 2003 (**Art.3.4.A.1.a**) exige de mettre des voiles de contreventement pour chaque structure en béton armé dépassant quatre niveaux ou 14 m de hauteur en zone.

Dans un bâtiment, les efforts horizontaux sont transmis aux voiles habituellement par les planchers qui jouent le rôle de diaphragmes. Entre chaque voile la sollicitation se répartit proportionnellement avec sa rigidité dans la direction de sollicitation.

Les voiles transmettent ces efforts à la base du bâtiment et finalement au sol. Le mode de fonctionnement d'une structure comportant des voiles de contreventement dépend donc fortement du comportement de chaque élément individuel. Le comportement d'un élément de voile est complexe puisqu'il dépend à la fois de son élancement, de la disposition en plan de l'ensemble des voiles, de l'importance des charges verticales et de la forme de sa section

De ce point de vue, il est généralement reconnu que la modélisation du comportement des voiles est bien plus complexe que celle des éléments linéaires (poutres et poteaux). Un voile est

considéré comme une console encastrée à sa base, il y a deux types de voiles ayant des comportements différents :

- Voiles élancés avec : $\frac{h}{l} > 1.5$
- ➤ Voiles courts avec : $\frac{h}{1}$ < 1.5

Les voiles sont sollicités à la flexion composée avec un effort tranchant, ce qui cause des ruptures dans les voiles élancés, par les modes suivants :

- ✓ Rupture par flexion.
- ✓ Rupture en flexion par effort tranchant.
- ✓ Rupture par écrasement ou traction du béton.

Dans le but d'éviter les modes de ruptures cités ci-dessus, on doit respecter les modalités suivantes :

- ➤ Pour les deux premiers modes de rupture, les sections des voiles doivent comporter suffisamment d'armatures verticales et horizontales.
- ➤ Pour le troisième mode il faut mettre des armatures transversales. Le calcul se fera en fonction des combinaisons suivantes :
- $\checkmark 1.35G + 1.5Q$
- $\checkmark G + O \mp E$
- $\checkmark 0.8G \mp E$

Le ferraillage qu'on va adopter est donné par les sollicitations qui suivent :

 $Nmax \rightarrow Mcorr\{Mmax \rightarrow NcorrNmin \rightarrow Mcorr\}$

❖ Recommandations du RPA99/2003:

Armatures verticales :

La section d'armatures à introduire dans les voiles sera une section répartie comme suit:

- ✓ Les armatures verticales sont disposées en deux nappes parallèles aux faces des voiles.
- ✓ Les barres verticales des zones extrêmes devraient être ligaturées avec des cadres horizontaux dont l'espacement ne doit pas être supérieur à l'épaisseur du voile
- \succ Zone tendue : un espacement maximal de 15 cm et un pourcentage minimal de 0.20% de la section du béton

$$Amin = 0.2\% \times Lt \times e$$

Avec:

Lt : Longueur de la zone

tendue

- e : épaisseur du voile.
- ➤ A chaque extrémité du voile (trumeau) l'espacement des barres doit être réduit de moitié sur L/10 de la longueur du voile. Cet espacement d'extrémité doit être au plus égal à 15 cm.

➤ Les barres du dernier niveau doivent être munies de crochets à la partie supérieure. Toutes les autres barres n'ont pas de crochets (jonction par recouvrement).

• Armatures Horizontal:

Ils sont destinés à reprendre les efforts tranchant, et maintenir les aciers verticaux, et les empêcher de flamber, donc ils doivent être disposés en deux nappes vers l'extérieur des armatures verticales.

Les barres horizontales doivent être munies de crochets à 130° ayant une longueur de 100

Armatures Transversales :

Elles sont destinées essentiellement à retenir les barres verticales intermédiaires contre le flambement, leur nombre doit être égale au minimum à 4 barres /m²

• Règles communes [RBA99 ver 2003 ART.7.7.4.3] :

Le pourcentage minimum d'armatures verticales et horizontales des trumeaux, est donné comme suit :

- ➤ Globalement dans la section du voile 0.15%
- ➤ En zone courante 0.10%

L'espacement des nappes d'armatures horizontales et verticales est :

 $St \le min(1.5e; 30cm)$

Les deux nappes d'armatures doivent être reliées avec au moins 4 épingles au mètre carré

Le diamètre des barres verticales et horizontales (à l'exception des zones d'about) ne devrait pas dépasser 1/10 de l'épaisseur du voile.

Les longueurs de recouvrements doivent être égales à :

- ➤ 40Ø: Pour les barres situées dans les zones où le renversement du signe des efforts est possible.
- ➤ 20Ø: Pour les barres situées dans les zones comprimées sous l'action de toutes les combinaisons possibles de charges.

Le long des joints de reprise de coulage, l'effort tranchant doit être repris par les aciers de couture dont la section doit être calculée avec la formule :

$$Avj = \frac{v}{fe}$$
 $Avec := 1.4Vu$

Cette quantité doit s'ajouter à la section d'aciers tendus nécessaires pour équilibrer les efforts de traction dus aux moments de renversement

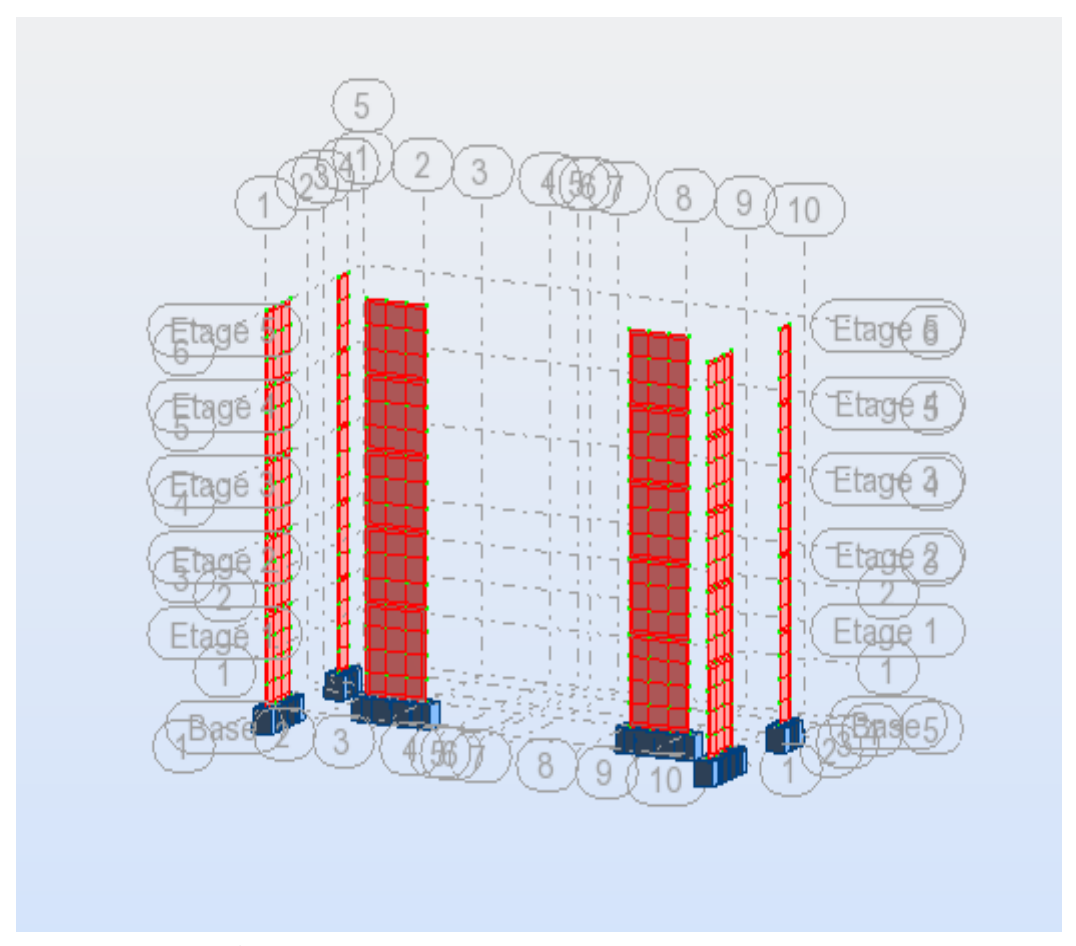


Figure V.7: la disposition des voiles en 3D

Sollicitations de calcul :

Les sollicitations de calcul sont extraites directement du logiciel ROBOT, les résultats sont résumés dans le tableau suivant :

Tableau V.16 : Sollicitations des voiles dans les deux sens.

Voiles		$Nmax \rightarrow Mcor$ $1.35G+1.5Q$			$Nmin \rightarrow Mcor$ 0.8G+Ex, y		$\begin{array}{c} \textit{Mmax} \rightarrow \textit{Ncor} \\ \textit{G+Q+Ex}, \textit{y} \end{array}$	
		N	M	N	M	N	M	
		(KN)	(KN.m)	(KN)	(KN.m)	(KN)	(KN.m)	
Vy1	e=0.2m							
	L=2.5m	648.34	50.35	792.52	1146.06	26.59	1209.60	6.02
Vy2	e=0.2m	201.26	1 10	249.59	04.41	0.55	06.05	25.00
	L=1m	281.36	1.18	348.58	94.41	8.55	96.05	25.99
Vx1	e=0.2m	1501 15	4.27	790.51	3.73	1083.72	0.91	7.26
	L=3.1m	1501.15	4.27	780.51	3.73	1083.72	0.91	7.20
Vx2	e=0.2m	1500.76	8.34	778.53	6.64	1085.12	3.01	1.61
	L=3.1m							

• Etapes de calcul des voiles:

On utilise la méthode des contraintes (la formule classique de la R.D.M) :

$$\boldsymbol{\sigma}_{\text{a.b}} = \frac{N}{B} \mp \frac{M}{I} V$$

N: effort normal appliqué.

M: moment fléchissant appliqué.

B: Aire du voile.

V : distance entre le centre de gravité du voile et la fibre la plus éloignée.I : moment d'inertie.

D'après R.PA 99 V 2003, on distingue 3 cas :

✓ Si : σ_1 et $\sigma_2 > 0$ → la section du voile est entièrement comprimée. La zone couranteest armée par le minimum d'acier

Avec: $Ami = 0.15 \times b \times L$

> Section entièrement comprimée :

Dans ce cas on a deux contraintes de compression, la section du voile est soumise à la compression et comme le béton résiste bien à la compression, la section d'acier sera celle exigée par l'RPA (le ferraillage minimum).

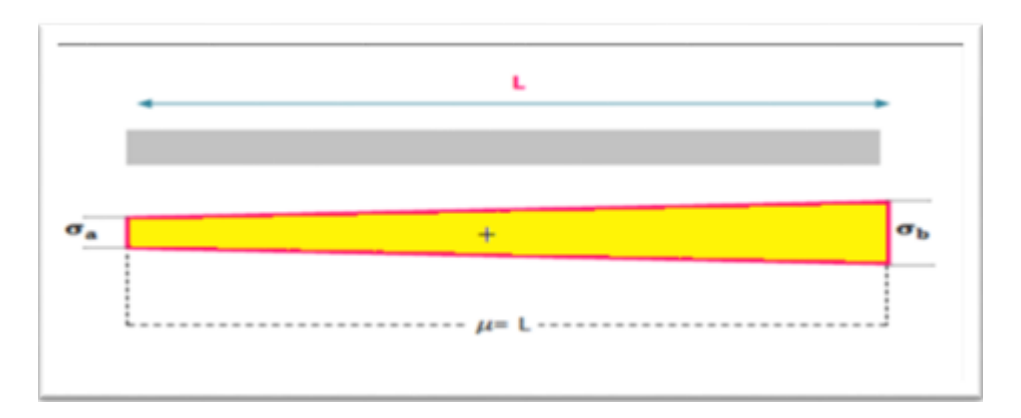


Figure V.8: Section entièrement comprimée

✓ Si : σ_1 et σ_2 < 0 → la section du voile est entièrement tendue, on calcule le volume des contraintes de traction, d'où la section des armatures verticales :

$$A_V = \frac{Ft}{fe}$$

On compare Av par la section minimale:

✓ Si : $Av < Amin = 0.15\% \times a \times L$ on ferraille avec la section minimale.

✓ Si : Av > Amin on ferraille avec la section minimale Av

> Section entièrement tendue :

Dans ce cas on a deux contraintes de traction longueur tendue (μ) est égale à (L) l'effort de traction est égal à :

$$T = (\sigma a \times \sigma b \times \mu \times b)/2$$

La section d'armature est :

$$As = \frac{T}{\frac{fe}{vs}}$$



Figure V.9 : Section entièrement tendue

Si : σ_1 et σ_2 sont de signe différent, la section du voile est partiellement comprimée, donc on calcule le volume des contraintes pour la zone tendue.

> Section partiellement comprimée /tendue :

Connaître la zone tendue et la zone comprimée, il faut calculer la longueur de la zonetendue, en utilisant les triangles semblables :



Figure V.10 Section partiellement comprimée

Pour
$$\tan \alpha = \frac{\sigma a}{L - \mu} = \frac{\sigma b}{\mu} \rightarrow \mu = \frac{L}{1 + \frac{\sigma a}{\sigma b}}$$

L'effort de traction dans la zone tendue est donné par :

$$T = (\sigma b \times \mu \times b)/2$$

La section d'acier nécessaire est donnée par : $As = \frac{T}{\frac{fe}{vs}}$

***** Exemple de calcule :

Pour cet exemple de calcule du ferraillage des voiles, on adopte le voile : « Vy1» d'une longueur de 2.5 m et d'épaisseur 20cm.

Ce voile est sollicité sous les charges suivantes :

➤ Cas 01:

 $N_{max} = 792.52 KN$ $M_{corr} = 50.35 KN.m$ V = 6.02 KN

> Calcul des armatures verticales :

Le Calcul des armatures verticales se fait à la flexion composée sous les sollicitations les plus défavorables (M, N) pour une section (e× L)

$$L = h = 2.5 \text{ m}, b = 20 \text{ cm}, d = 2.25 \text{ m}$$

$$e = \frac{M}{N} = \frac{50.35}{792.52} = 0.063$$
m

$$e = 0.063m < \frac{L}{2} = 1.25m$$

$$\sigma_{\text{max}} = \frac{N}{R} + \frac{M}{I} V$$

$$\sigma_{\min} = \frac{N}{B} - \frac{M}{I} V$$

$$V = \frac{L}{2} = 1.25$$

$$B = b \times h = 0.5m^2$$

$$I = \frac{b * h^3}{12} = 0.26 \text{ m}^4$$

$$\sigma_{\text{max}} = \frac{792.52}{0.5} + \frac{50.35}{0.26} * 1.25 = 1.82 \text{ MPa}$$

$$\sigma_{min} = \frac{792.52}{0.5} - \frac{50.35}{0.26} * 1.25 = 1.34 \text{ MPa}$$

$$\begin{cases} \sigma max > 0 \\ \sigma min > 0 \end{cases}$$
 La section est entièrement comprimée

$$e_0 = \frac{M}{N} = 6.3 \text{ cm}$$

 $e_a = \max\left(2cm; \frac{L}{250}\right) = \max\left(2cm; \frac{250}{250}\right) = 2\text{cm}$

$$e_1 = e_0 + e_a = 8.3$$
cm

$$e_2\!=\!\frac{3\mathit{lF}^3}{10000*\mathit{h}}\left(2+\alpha\phi\right)/\phi=2$$
 cas géneral

$$\alpha = 10 \left(1 - \frac{Mu}{1.5*Mser} \right) = 10 \left(1 - \frac{50.53}{1.5*38.003} \right) = 1.13$$

$$e_2 = \frac{3*2.16^3}{10000*2.5} (2 + 1.13*2) = 0.0051m$$

$$e = e_1 + e_2 = 8.81$$
cm

$$Mu = Nu \times e = 792.52 \times 8.81 \times 10^{-2} = 69.82 \text{KN. m}$$

Mua = Mu + Nu ×
$$\left(d - \frac{h}{2}\right)$$
 = 69.82 + 792.52 × $\left(2.25 - \frac{2.5}{2}\right)$ = 862.34 KN.m

$$U_{bu} = \frac{Mua}{b d^2 f bu} = \frac{862.34^6}{200*2250^2*14.16} = 0.06$$

 $U_{bu} = 0.06 \le 0.493$ partiellement comprimée

$$U_{bu} = 0.06 \le U_{ab} = 0.186 \text{ pivot A}$$

$$U_{bu} = 0.06 \le U_1 = 0.392 \rightarrow A' = 0$$

$$\alpha = 1.25(1 - \sqrt{1 - 2u}) = 0.07$$

$$Z = d (1-0.4 \alpha) = 2187 mm$$

$$A_1 = \frac{Mua}{z*\frac{fe}{\gamma s}} = \frac{862.34*10^6}{760695} = 1133.62 \text{cm}^2$$

$$A = A_1 - \frac{Nu}{fsu} = 1133.62 - \frac{792.52 \times 10^3}{348} = -1143.73 \text{cm}^2$$

A =0cm² :Il n'est pas nécessaire de mettre des armatures, le béton seul suffira.

A Calcul des armatures minimales dans tout le voile:

$$A_{min} = 0.15 \times b \times L$$

$$A_{min} = 0.15 \times 20 \times 250 = 7.5 \text{cm}^2$$

Armatures minimale dans la zone tendue donnée par le RPA est :

$$A_{min} = 0.2\% \times L_t \times e$$

$$L_t = \frac{\sigma min*L}{\sigma max + \sigma min}$$

$$\sigma_{\max} = \frac{N}{B} + \frac{M}{I} V$$

$$\sigma_{\min} = \frac{N}{B} - \frac{M}{I} V$$

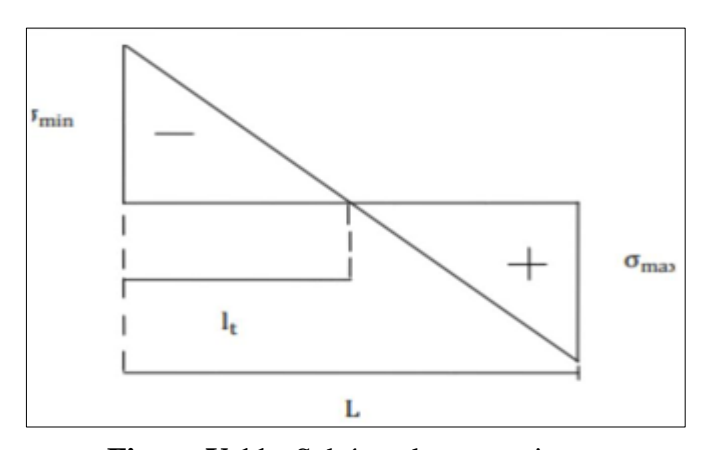


Figure V.11 : Schéma des contraintes.

Armatures minimale dans la zone comprimée:

$$Amin = 0.2\% \times Lc \times b$$

$$Lc = L - 2 \times Lt$$

Calcul des armatures horizontales :

La section des Armatures horizontales est calculée selon la formule suivante :

$$Ah = \frac{\tau u * e * st}{0.8 fe}$$

$$V = 6.02 \text{ kN}$$

$$\tau u = \frac{1.4 * v}{e * d} = \frac{1.4 * 6.0210^3}{200 * 2250} = 0.018$$

> Espacement des barres horizontales :

$$st \le min(1.5e; 30cm) = 30cm$$

On prend :st = 20cm

$$Ah = \frac{0.018*200*200}{0.8*400} = 0.002cm^2$$

***** Choix des barres :

> Armatures verticales :

En zone comprimé (A= 0 cm²): Il n'est pas nécessaire de mettre des armatures, le béton seul suffira.

Donc: on va ferrailler Amin (Amin=6 cm²)

 $A = 8HA12 = 9.05 \text{ cm}^2$

> Choix des armatures horizontales :

 $Ah = 8HA8 = 4.02 \text{ cm}^2$

Tableau V.17 : les résultats de calcul des armatures verticales et horizontales des différents voiles.

X 7 '1	X 7.1	170	112	X 7.1	170
Voile	V1x	V2x	V3x	V1y	V2y
Section (cm ²)	0.6	0.6	0.2	0.5	0.2
N(KN)	1501.15	1500.76	625.125	792.52	348.58
M (KN/m)	4.27	8.34	0.286	50.53	96.05
V(KN)	7.26	1.61	34.153	287.73	25.99
Section	SPC	SPC	SPC	SPC	SPC
τ (MPa)	0.018	0.004	0.12	0.89	0.20
Tbarre(MPa)	5	5	5	5	5
Lt(m)	0	0	0	0	0
Acal (cm²)	0	0	0	0	0
Amin (cm²)	9.3	9.3	3	7.5	3
N barre/face	4HA12=4.52	7HA12=7.92	4HA12=4.52	8HA12=9.05	8HA12=9.05
St (cm)	20	20	20	20	20
Ah (cm²)	2.27	0.5	0.15	1.11	2.5
Ahadopté(cm²)	2.01	3.52	2.01	4.02	4.02
N barre/face	4HA8	7HA8	4HA8	8HA8	8HA8
St (cm)	20	20	20	20	20

> Exemple sur le Schéma de ferraillage de notre voile :

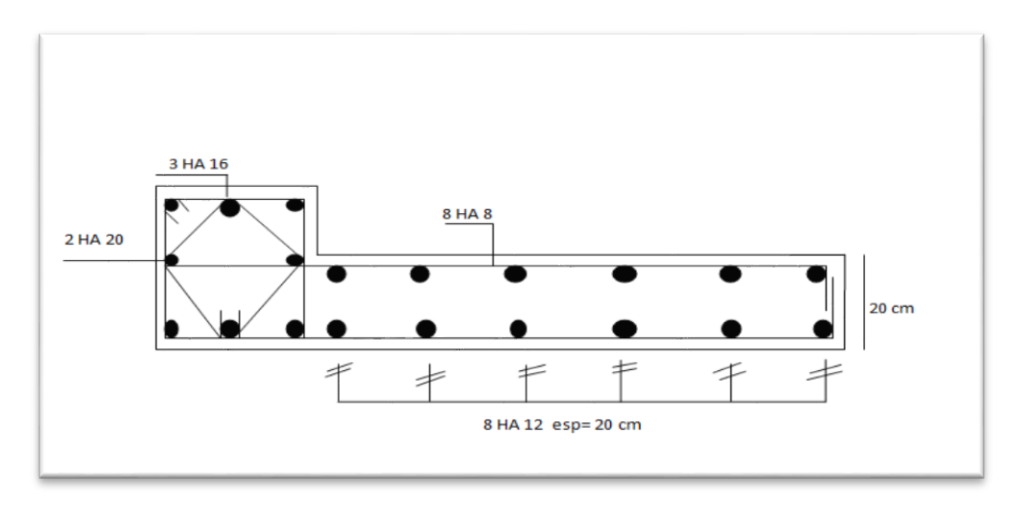


Figure V.12 : Schéma de ferraillage de voile V1y.

CHAPITRE VII Etudes des Fondations

VI.1 Introduction:

Les fondations d'une construction sont constituées par les parties de l'ouvrage qui sont encontact avec le sol auquel elles transmettent les charges de la superstructure ; elles constituentdonc la partie essentielle de l'ouvrage puisque de leurs bonnes conception et réalisation découle la bonne tenue de l'ensemble. Les éléments de fondation transmettent les charges au sol, soit directement (cas des semelles reposant sur le sol ou cas des radiers), soit par l'intermédiaire d'autres organes (cas des semelles sur pieux par exemple).

VI.2 Stabilité des fondations :

Les massifs de fondations doivent être en équilibre sous l'action :

- ❖ Des sollicitations dues à la superstructure qui sont : des forces verticales ascendantesou descendantes, des forces obliques, des forces horizontales et des moments de flexion ou de torsion.
- ❖ Des sollicitations dues au sol qui sont : des forces verticales ascendantes oudescendantes et des forces obliques (adhérence, remblais...).

Les massifs de fondations doivent être stables ; c'est-à-dire qu'ils ne doivent donner lieu à des tassements que si ceux-ci permettent la tenue de l'ouvrage ; des tassements uniformes sont admissibles dans certaines limites ; mais des tassements différentiels sont rarement compatibles avec la tenue de l'ouvrage. Il est donc nécessaire d'adapter le type et la structure des fondations à la nature du sol qui va supporter l'ouvrage : l'étude géologique et géotechnique a pour but de préciser le type, le nombre et la dimension des fondations nécessaires pour fonder un ouvrage donné sur un sol donné.

VI.3 Choix du type de fondation:

D'après l'étude géotechnique laboratoire donne la contrainte admissible du sol égal à :

 $\overline{\sigma}_{sol} = 1.5 \ bars$

Le choix du type de fondation dépend du :

- ❖ Type d'ouvrage construire.
- ❖ La nature et l'homogénéité du bon sol.
- ❖ La capacité portance de terrain de fondation.
- ❖ La charge totale transmise au sol.
- ❖ La raison économique.

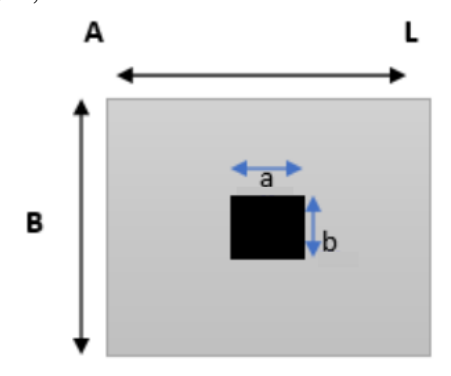
La facilité de réalisation.

Pour le choix de type de semelle, nous supposons en premier lieu, que les semelles de notre projet sont des semelles isolées. Le dimensionnement du coffrage de ces semelles s'effectuera à l'état limite de service sous l'effort normal maximal dans les éléments les plus chargés statiquement.

La surface de semelle se calculera comme suit :

- ❖ Semelle isolée sous poteau : A. B ≥ $\frac{Nser}{\bar{\sigma}sol}$
- ❖ Semelle isolée sous voile : A. L $\ge \frac{Nser}{\bar{\sigma}sol}$

A, B,L ci les dimensions des semelles.



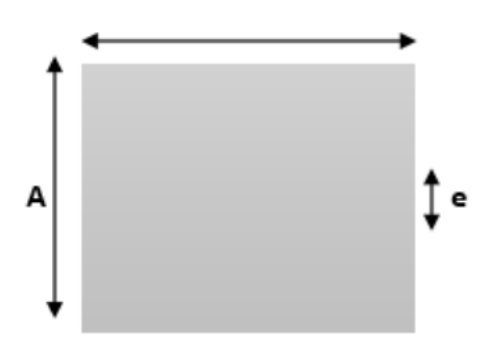


Figure IV.1: les dimensions des semelles

On sait que Les dimensions des semelles isolées sont homothétiques aux dimensions dupoteau supporté, c'est-à-dire :

 $\frac{A}{B} = \frac{a}{b}$: Dans notre cas :a=b=0.50m donc A=B

On a trouvé les résultants suivant par logiciel **ROBT**:

- ❖ La somme des N_{ser} des poteaux ci : $N_{ser} = 850.41 \ KN$
- ❖ La somme des N_{ser} des voiles ci : $N_{ser} = 1501.26 \ KN$

VI.4. Calcul des surfaces des semelles isolées :

La somme des surfaces des semelles sous poteaux ci : $S_p = \frac{850.41}{150} = 56.6 \text{ m}^2$

La somme des surfaces des semelles sous voile ci : $S_p = \frac{1501.26}{150} = 10 \text{ m}^2$

- ❖ La surface totale des semelles ci : S_t =56.6+10= 66.6 m^2
- ❖ La surface de la structure ci : S=208.26 m²
- a) Calcul le taux des surfaces des semelles

$$\frac{\text{surface totale des semelles}}{\text{surface de la structure}} *100 = \frac{\textbf{66.6}}{\textbf{208.26}} * 100 = 31.9\%$$

Nous voyons que la surface totale des semelles isolées ne dépasse pas la moitié de la surface d'emprise du bâtiment. Donc, nous adoptons des semelles isolées.

b) Dimensionnent de la semelle isolée sous poteau :

❖ Les combinaisons de calcul :

En fonction du type de sollicitation, nous distinguons les différentes combinaisons suivantes :

❖ Selon BAEL 91:

$$-ELS: G + Q$$

Selon le R.P.A 99 Version 2003 :

$$-G + Q \pm E$$

$$-0.8 G \pm E$$

Pour calcul Les dimensions de semelle isolée en utilisant l'effort normal maximal à ELS à la base de poteau plus sollicite :

D'après ROBT on a trouvé : $N_{ser} = 705.39 \, KN$

L'étude géotechnique donne : $\overline{\sigma_{sol}} = 150KN/m^2$

On a Les semelles carrée donc : A=B

A . B =
$$\frac{\textit{Nser}}{\vec{\sigma} \text{sol}}$$
 B = $\sqrt{\frac{\textit{Nser}}{\vec{\sigma} \text{sol}}}$ = $\sqrt{\frac{705.39}{150}}$ = 2.16 m

On adopted: A=B=2.20 m

> A ELS:

Calcul de e:

$$e = \frac{M}{N} = \frac{11.04}{705.39} = 0.015 \text{ m}$$

Condition homothétique:

$$\frac{A}{B} = \frac{a}{b} = \frac{2.20}{2.20} = \frac{0.4}{0.4} = 1$$

Calcul de:

$$H_t \ge \frac{A-a}{4} + 5cm = \frac{220-40}{4} + 5 = 50cm$$

Calcul des contraintes :

$$\sigma_{1.2} = \left(\frac{N}{A.B}\right) * \left(1 \pm \frac{6.e}{A}\right)$$

$$\sigma_1 = \left(\frac{705390}{2200*2200}\right) * \left(1 + \frac{6*.0.015}{2.20}\right) = 0.151 \text{ MPa}; \sigma_2 = 0.138 \text{ MPa}$$

Calcul de : 1.33 $\overline{\sigma}_{sol} = 1.33* 0.15 = 0.2 \text{ MPa}$

> Vérification des contraintes :

$$\sigma_{1.2} < 0.2 \text{ MPa C.V}$$

La condition de la vérification résistance

$$\sigma_{\text{moy}} = \frac{3*\sigma 1 + \sigma 2}{4} < 1.33 \ \overline{\sigma}_{\text{sol}}$$

$$\sigma_{\text{moy}} = \frac{3*0.151 + 0.138}{4} = 0.147 \text{MPa} < 1.33 \ \overline{\sigma}_{\text{sol}} = 0.2 \text{MPa}$$

Les autres cas dans ce tableau :

Tableau IV.1: Les combinaisons

C.V

combinaison	M	N	e	σ_1	σ_2	$1.33\sigma_s$	<i>σ</i> 1; <i>σ</i> 2
	(k N.m)	(KN)	(m)	(MPa)	(MPa)		$\leq 1.33\sigma_s$
G+Q	11.04	705.39	0.015	0.151	0.138	0.20	C.V
G+Q±E	30.41	816.99	0.037	0.18	0.151	0.20	C.V
0.8G <u>+</u> E	25.93	558.40	0.046	0.116	0.101	0.20	C.V
1.35G+1.5Q	15.33	974.31	0.015	0.20	0.19	0.20	C.V

> Vérification de la condition de résistance :

Tableau IV.2: Vérification de la condition de résistance

Combinaison	$\sigma_1(MPa)$	$\sigma_2(MPa)$	$\sigma_{moy}(MPa)$	σ_{moy}	Type de
				$\leq 1.33\sigma_s$	diagramme
G+Q	0.151	0.138	0.144	C.V	Trapézoïdal
G+Q±E	0.180	0.151	0.165	C.V	Trapézoïdal
0.8G±E	0.116	0.101	0.108	C.V	Trapézoïdal
1.35G+1.5Q	0.2	0.19	0.195	C.V	Trapézoïdal

Donc on a calcul le ferraillage des semelles a ELU: 1.35G+1.5Q

Avant le calcule on a vérifié les conditions de la méthode des bielles :

Tableau IV.3: Les conditions de la méthode des bielles.

comb	e	$\frac{a}{6}$	$\frac{A}{6}$	H_t	$\frac{A-a}{4}$	e ≤ <u>a</u> 6	e ≤ ^A 6	H_t $A-a$
	(m)	(m)	(m)	(m)	(m)			≥ 4
ELU	0.015	0.666	0.36	0.5	0.45	C.V	C.V	C.V

Donc la méthode des bielles est applicable.

VI.4.1 Calcul de ferraillage : As

Le poids propre de la semelle :

$$P_p = 0.4x2.20x2.20x25 = 48.4KN$$

Donc:
$$N_{u.tot} = P_p + N_u = 974.31 + 48.4 = 1022.71 \, KN$$

Parallèle a A (sens X) = A_s parallèle a B (sens Y) alors :

$$A_s = \frac{\textit{Nu.(A-h)}}{\textit{8.\sigma s.d}} = \frac{1022710*(2200-400)}{\textit{8*348*360}} = 1836.7 \text{mm}^2 = 18.36 \text{cm}^2$$

$$A_{s.B} = A_{s.A} = 21.55cm^2$$
.

On adopte :12 HA14 pour les deux sens $A_{s.ad} = 21.55cm^2$

Espacement: St=15 cm

➤ Vérification de la stabilité au renversement : (0,8G□E)

Selon l'article (10.1.5) de RPA99V2003 :

$$e = \frac{M}{N} \le \frac{B}{4}$$

 $\frac{B}{4} = \frac{2.2}{4} = 0.55 \text{ m} > e = 0.046$ C.V

> Schéma de ferraillage :

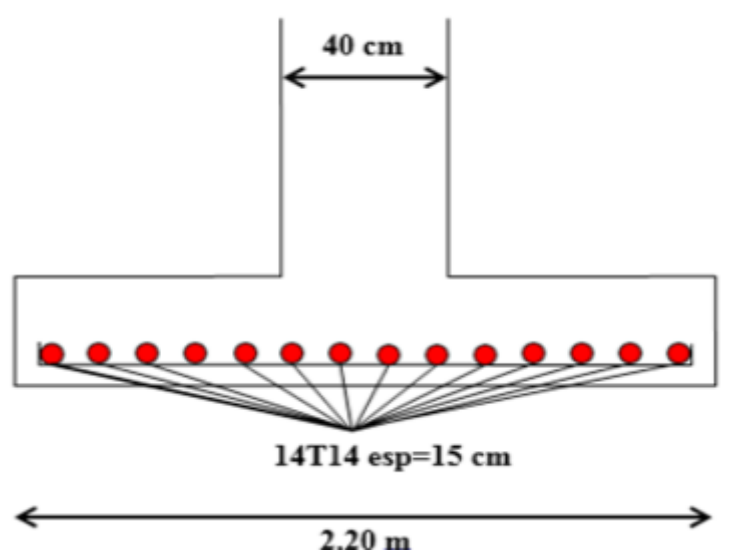


Figure IV.2 : Schéma de ferraillage semelles isoles

VI.5 Les semelles filantes (sous voile) :

La semelle infiniment rigide engendre une répartition linéaire des contraintes sur le sol. Les réactions du sol sont distribuées suivant une droite ou une surface plane telle que leurs centres de gravité coïncidente avec le point d'application de la résultante des charges agissantes sur la

semelle.

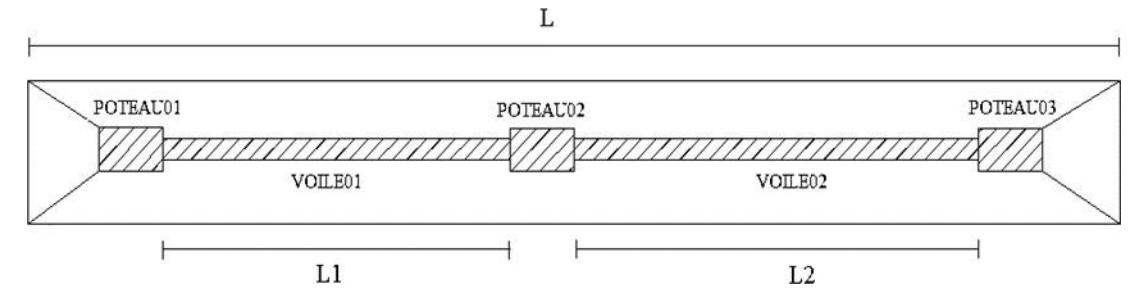


Figure IV.3: Vue en plan d'une semelle filante

a) Dimensionnement de la semelle filante

La surface nécessaire pour la semelle filante pour reprendre la totalité des efforts luirevenant est :

$$S_f = \frac{N}{\sigma sol} = \frac{351.86}{15} = 23.45 \text{ m}^2$$

La longueur totale de la semelle filante est donnée par :

$$L = L1 + L2 + 3 \times a + 2 \times d\text{\'e}bord$$

Nous avons prévu un débord de 0.5 m à partir du nu du poteau

$$L = 3.1 + 3.1 + 3 \times 0.4 + 2 \times 0.5 \Rightarrow L = 8.4 \text{ m}$$

La largeur de la semelle continue doit vérifier la condition suivante :B $\geq \frac{Sf}{L}$

Donc:
$$B \ge \frac{23.45}{8.4} = 2.79 \text{m} \Rightarrow \text{On prend} : B = 2 \text{m}$$

❖ Hauteur de la paillasse de la semelle filante h

La hauteur de la paillasse est donnée par la relation suivante

h = d + 0.05 avec;
$$d \ge \frac{B-b}{4}$$

d: hauteur utile (en m)

b: Cotés du poteau (en m)

$$h \ge \frac{B-b}{4} + 0.05 \,\mathrm{m} \implies h \ge 0.45 \,\mathrm{m}$$

Les résultats sont mentionnés dans le tableau suivant :

Tableau IV.4: Dimensions des semelles filantes

Semelle	N (KN)	L (m)	B (m)	h (m)
SF1	351.86	8.4	2	0.45
SF2	276.33	5.7	3	0.70

***** Vérification des semelles filantes

> Vérification au non poinçonnement

Sous l'action des forces localisées, il y a lieu de vérifier la résistance des semelles filantes aupoinçonnement par l'effort tranchant

Il faut vérifier que :

$$\tau = \frac{P}{2ht} \left[1 - \left(b + \frac{5ht}{3} / B \right) \right] \le \tau \lim$$

P: l'effort normal au niveau du poteau ou du voile le plus sollicite de chaque semelle.

 $\tau_{lim} = 0.045 f_{c28}/\gamma_b$: représente la valeur limite de la contrainte de cisaillement.

$$\tau_{lim} = 0.045 \times 25/1.5 = 0.75 MPa = 750 KN/m^2$$

Le tableau suivant résume les résultats pour l'ensemble des semelles filantes :

Tableau IV.5: Vérification des semelles filantes au poinçonnement

Semelle	P (KN)		h _{adoptée} (m)	τ (KN/m ²)	τ _{Min} (KN/m²)	Vérifiée
SF1	350.60	2.00	0.45	486.94	750	Oui
SF2	807.33	3.00	0.70	581.21	750	Oui

> Vérification des contraintes à ELS

$$\sigma_{\text{moy}} = \frac{3\sigma 1 + \sigma 2}{4} \le \overline{\sigma}$$

 σ_{moy} : contrainte moyenne du sol

 σ_{sol} : contrainte admissible du sol $\sigma_{sol} = 1.5$ bars = 15 t/m²

Les résultats sont mentionnés dans le tableau suivant :

Tableau IV.6: Vérification des semelles filantes à l'ELS

Semelle	N total (KN)	M total (KN.m)	e(m)	σ1	σ2	$\sigma_{ m moy}$	$\sigma_{ m sol}$	Vérifiée
SF1	351.86	1.01	0.002	88	87.4	87.8	150	oui
SF2	276.33	2.07	0.007	69	68.3	68.8	150	oui

> Vérification des contraintes à ELU

$$\sigma_{\text{moy}} = \frac{3\sigma 1 + \sigma 2}{4} \le 1.5 \sigma_{\text{sol}}$$

Les résultats sont mentionnés dans le tableau suivant :

Tableau IV.7: Vérification des semelles filantes à l'ELU

Semelle	N total	M total	E(m)	σ1	σ2	σ_{moy}	osol*1.5	Vérifiée
	(KN)	(KN.m)		(KN)	(KN)	(KN)	(KN)	
SF1	481.59	1.39	0.002	11.2	12.02	11.40	22.5	Oui
SF2	376.95	2.84	0.0075	9.6	9.2	9.5	22.5	oui

➤ Vérification des contraintes sous combinaisons accidentelles : G+Q±E

$$\sigma_{\text{moy}} = \frac{3\sigma 1 + \sigma 2}{4} \leq 2\sigma_{\text{sol}}$$

Les résultats sont mentionnés dans le tableau suivant :

Tableau VI.8 : Vérification des semelles filantes sous $G + Q \pm E$

Semelle	N _{total} (KN)	M _{total} (KN.m)	E(m)	σ ₁ (KN)	б2 (KN)	σ _{moy} (KN)	σ _{sol} *2 (KN)	Vérifiée
SF1	571.54	10.85	0.018	15.06	13.51	14.67	30	Oui
SF2	296.73	2.79	0.009	7.6	7.2	7.5	30	oui

VI.5.1 Ferraillage des semelles filantes

\triangleright Calcul de ferraillage : A_s

Le poids propre de la semelle :

$$P_p = 0.45x2 x8.4 x25 = 189KN$$

Donc:
$$N_{u.tot} = P_p + N_u = 481.59 + 189 = 670.59 \, KN$$

 A_s Parallèle a A (sens X) = A_s parallèle a B (sens Y) alors :

$$A_s = \frac{Nu.(A-h)}{8.\sigma s.d} = \frac{670590*(2000-450)}{8*348*400} = 933.38 \text{mm}^2 = 9.33 \text{cm}^2$$

$$A_{S.B} = A_{S.A} = 11.31cm^2$$
.

On adopte :10 HA12 $A_{s.ad} = 11.31cm^2$

Espacement : St=20cm

Schéma de ferraillage :

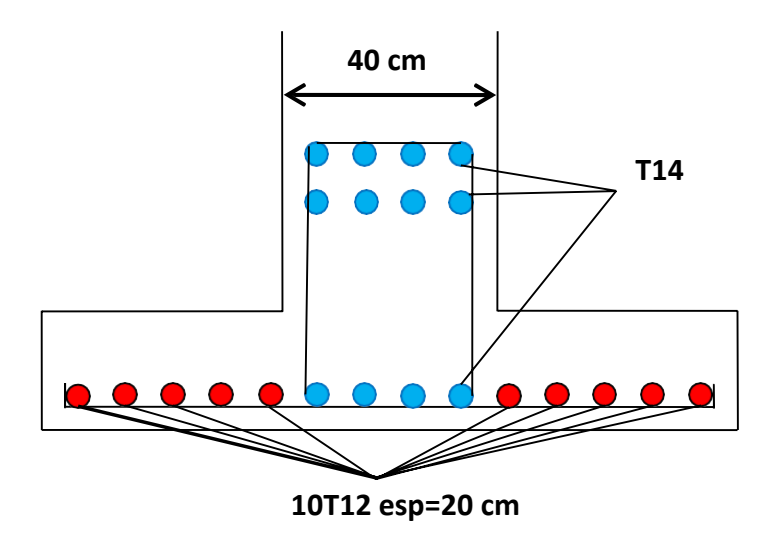


Figure IV.4 : Schéma de ferraillage semelles filante

Conclusion

Ce projet de fin d'étude, nous a été très bénéfique et enrichissant, il nous a permis de mettre en pratique toutes nos connaissances acquises durant notre cycle, d'approfondir nos connaissances en se basant sur les documents techniques et réglementaires, de mettre en application les méthodes de calcul récentes et de mettre en évidence les principes de base qui doivent être prises dans la conception des structures des bâtiments.

D'après l'étude effectuée dans le cadre de ce projet, il convient de souligner que pour une bonne conception parasismique, il est très important que l'ingénieur civil et l'architecte travaillent en étroite collaboration dès le début de projet afin de prendre en charge toutes les contraintes induites par la structure adoptée par rapport à l'architecture proposée et arriver à une sécurité maximale de l'ouvrage sans surcoût important.

Notons que l'utilisation de l'outil informatique pour l'analyse et le calcul des structures est très bénéfique en temps et en effort à condition de maitriser les notions de base des sciences de l'ingénierie, ainsi que le logiciel lui-même.

Enfin, l'objectif principal de la conception est de réduire le risque sismique à un niveau minimal et de faciliter l'exécution de l'ouvrage en adoptant une conception optimale qui satisfait les exigences architecturale et les exigences sécuritaires et d'économie.

Bibliographie:

1)-Règlements:

- ➤ Règles Parasismiques Algériennes RPA99/version2003.
- ➤ Règles de Conception et de Calcul des Structures en Béton Armé CBA 93.
- ➤ Règles de Calcul de Béton Armé Aux Etats Limites BAEL91.
- ➤ Charges permanentes et charges d'exploitation DTR BC -2.2.

2)- Livres:

- ➤ BAEL 91 modifié 99 (Jean- Pierre MOUGIN).
- Conception et calcul des structures de bâtiment (Tome 1, 2, 3, 4 HENRY. Thonier).
- Mémoires des années précédentes (génie civil).
- Résume BAEL 2015

3)- Cours:

- Cours béton ramé des années précédentes.
- Cours résistance des matériaux (RDM) des années précédentes.

4)- Logiciels:

- > ROBOT
- ➤ AUTO CAD 2016.
- ➤ WORD 2007/2019.
- Power point 2019.

Annexe 01

Tableau des Armatures (en Cm²)

Ó	5	6	8	10	12	14	16	20	25	32	40
1	0.20	0.28	0.50	0.79	1.13	1.54	2.01	3.14	4.91	8.04	12.57
2	0.39	0.57	1.01	1.57	2.26	3.08	4.02	6.28	9.82	16.08	25.13
3	0.59	0.85	1.51	2.36	3.39	4.62	6.03	9.42	14.73	24.13	37.70
4	0.79	1.13	2.01	3.14	4.52	6.16	8.04	12.57	19.64	32.17	50.27
5	0.98	1.41	2.51	3.93	5.65	7.70	10.05	15.71	24.54	40.21	62.83
6	1.18	1.70	3.92	4.71	6.79	9.24	12.06	18.85	29.45	48.25	75.40
7	1.37	1.98	3.52	5.50	7.92	10.78	14.07	21.99	34.36	56.30	87.96
8	1.57	2.26	4.02	6.28	9.05	12.32	16.08	25.13	39.27	64.34	100.53
9	1.77	2.54	4.52	7.07	10.18	13.85	18.10	28.27	44.18	72.38	113.10
10	1.96	2.83	5.03	7.85	11.31	15.39	20.11	31.42	49.09	80.09	125.66
11	2.16	3.11	5.53	8.64	12.44	16.93	22.12	34.56	54.00	88.47	138.23
12	2.36	3.39	6.03	9.42	13.57	18.47	24.13	37.70	58.91	96.51	150.80
13	2.55	3.68	6.53	10.21	14.70	20.01	26.14	40.84	63.81	104.55	163.36
14	2.75	3.96	7.04	11.00	15.83	21.55	28.15	43.98	68.72	112.59	175.93
15	2.95	4.24	7.54	11.78	16.96	23.09	30.16	47.12	73.63	120.64	188.50
16	3.14	4.52	8.64	12.57	18.10	24.63	32.17	50.27	78.54	128.68	201.06
17	3.34	4.81	8.55	13.35	19.23	26.17	34.18	53.41	83.45	136.72	213.63
18	3.53	5.09	9.05	14.14	20.36	27.71	36.19	56.55	88.36	144.76	226.20
19	3.73	5.37	9.55	14.92	21.49	29.25	38.20	59.69	93.27	152.81	238.76
20	3.93	5.65	10.05	15.71	22.62	30.79	40.21	62.83	98.17	160.85	251.33

Annexe 02

